





RECHERCHES

POUR SERVIR A L'HISTOIRE NATURELLE

DES MAMMIFÈRES

PARIS. — IMPRIMERIE DE E. MARTINET, RUE MIGNON, 2

RECHERCHES

POUR SERVIR A L'HISTOIRE NATURELLE

DES MAMMIFÈRES

COMPRENANT

DES CONSIDÉRATIONS SUR LA CLASSIFICATION DE CES ANIMAUX

PAR

M. H. MILNE EDWARDS

DES OBSERVATIONS SUR L'HIPPOPOTAME DE LIBERIA
ET DES ÉTUDES SUR LA FAUNE DE LA CHINE ET DU TIBET ORIENTAL

PAR

M. ALPHONSE MILNE EDWARDS

TOME SECOND — ATLAS

(105 PLANCHES)

PARIS

G. MASSON, ÉDITEUR

LIBRAIRE DE L'ACADÉMIE DE MÉDECINE

PLACE DE L'ÉCOLE-DE-MÉDECINE, 17

1868 à 1874

RECHERCHES

DE

DES MATHÉMATIQUES

PAR

M. J. L.

ET

DE

LISTE DES PLANCHES

1. Hippopotame de Liberia (*Chæropsis liberiensis*).
2. Squelette du même.
3. Tête osseuse du même.
4. Fig. 1. Coupe de la tête du même. — Fig. 2. Tête de l'*Hippopotamus amphibius*.
5. Moulages de l'intérieur de la boîte crânienne des mêmes espèces.
6. *Siphneus Armandi*.
7. *Siphneus Fontanieri*.
8. Têtes osseuses du *Siphneus Myospalax*, du *S. Fontanieri* et du *S. Armandi*.
9. Système dentaire des mêmes espèces.
- 9^a. Tête et autres parties osseuses du *Siphneus psilurus*.
- 9^b. Squelette du même.
- 9^c. Myologie du même.
- 9^d. Myologie du même.
- 9^e. Myologie et splachnologie du même.
10. *Dipus annulatus*.
- 10^a. Têtes osseuses et dents de *Dipus* et de *Gerbillus*.
11. Fig. 1 et 2. *Gerbillus unguatus*. — Fig. 3 et 4. *Gerbillus brevicaudatus*.
12. Fig. 1. *Cricetulus griseus*. — Fig. 2. *C. longicaudatus*. — Fig. 3. *C. obscurus*.
— Fig. 4. *Arvicola mandarinus*.
13. Têtes osseuses, dents, etc., des mêmes.
14. *Pteromys xanthipes*.
15. *Pteromys melanopterus*.
- 15^a. Têtes de *Pteromys*.
16. *Sciurus Davidianus*.
17. Fig. 1 à 3. *Spermophilus mongolicus*. — Fig. 4. *Scaptochirus moschatus*.
- 17^a. Fig. 1. Système dentaire du *Scaptochirus moschatus*. — Fig. 2. Id. du *Talpa longirostris*.

18. Têtes osseuses et dents : Fig. 1, du *Sciurus Pernyi*; — fig. 2, du *S. Davidianus*.
— Fig. 3. Tête et dents du *Spermophilus mongolicus*.
19. *Moschus moschiferus* du Tché-li.
20. *Moschus moschiferus* du Sé-tchouan.
21. *Cervus xanthopygus*.
22. *Cervus mandarinus*.
- 22^a. Le même, en pelage d'hiver.
23. *Antilope (Nemorhedus) caudata*.
- 23^a. Tête osseuse du même.
- 23^b. Fig. 1. Tête du même. — Fig. 2. Tête de l'*Antilope Gora*.
24. *Meles (Arctonyx) leucolæmus*.
25. *Meles leptorhynchus*.
26. Têtes osseuses des précédents.
27. Têtes osseuses des mêmes espèces.
28. Têtes osseuses des mêmes espèces.
29. *Felis Fontanieri*, jeune femelle.
30. *Felis Fontanieri*, mâle adulte.
31. Tête osseuse du même.
- 31^a. *Felis microtis*.
- 31^b. Têtes osseuses du *F. microtis* et du *F. chinensis*.
- 31^c. *Felis Manul*.
- 31^d. *Felis tristis*.
32. *Macacus tcheliensis*.
33. Tête osseuse du même.
34. *Macacus tibetanus*.
35. Tête osseuse du même.
36. *Rhinopithecus Roxellanae*.
37. Tête osseuse du même.
- 37^a. Fig. 1. *Rhinolophus larvatus*. — Fig. 2. *Vespertilio moupinensis*.
- 37^b. Fig. 1. *Murina aurata*. — Fig. 2. *M. leucogaster*.
- 37^c. Têtes osseuses et système dentaire des Chiroptères précédents.
38. Fig. 1. *Anourosorex squaripes*. — Fig. 2. *Tulpa longirostris*.
- 38^a. Fig. 1. Tête, dents et pattes de l'*Anourosorex*. — Fig. 2. Tête, dents et pattes du *Sorex quadraticauda*. — Tête, dents et pattes du *Sorex cylindricauda*.
- 38^b. Fig. 1. *Crocidura attenuata*. — Fig. 2. *Sorex quadraticauda*. — Fig. 3. *Sorex cylindricauda*. — Fig. 4. *Scaptonyx fuscicaudatus*.

39. *Nectogale elegans*.
- 39[^]. Fig. 1. Tête osseuse, dents et pattes du *Nectogale elegans*. — Fig. 2. Tête et dents du *Crocidura attenuata*.
40. Fig. 1. *Uropsilus soricipes*. — Fig. 2. *Mus Chevrieri*. — Fig. 3. *Mus Ouang-Thomæ*.
- 40[^]. Fig. 1. Tête osseuse, etc., de l'*Uropsilus soricipes*. — Fig. 2. Tête et autres parties du *Scaptonyx fusicaudatus*.
41. Fig. 1. *Mus humiliatus*. — Fig. 2. *M. Confucianus*.
42. Fig. 1. *Mus flavipectus*. — Fig. 2. *M. griseipectus*.
43. Fig. 1. *Mus pygmæus*. — Fig. 2. *M. plumbeus*.
44. *Arvicola melanogaster*.
45. *Pteromys alborufus*.
46. *Rhizomys vestitus*.
- 46[^]. Crâne de l'*Arvicola melanogaster*; — fig. 2, du *Rhizomys vestitus*.
47. *Arctomys robustus*.
48. *Lagomys tibetanus*.
49. Fig. 1. Tête osseuse et dents du *Lagomys tibetanus*. — Fig. 2. Tête osseuse et dents de l'*Arctomys robustus*.
50. *Ailuropus melanoleucus*.
51. Pieds du même.
52. Tête osseuse vue en dessus.
53. Tête osseuse vue en dessous.
54. Tête osseuse vue de profil.
55. Tête osseuse vue de face et par derrière.
56. Mâchoire inférieure.
57. *Felis scripto*.
58. Fig. 1. Tête osseuse du même. — Fig. 2. Tête de l'*Arctonyx* du Chen-si.
59. Fig. 1. *Putorius Davidianus*. — Fig. 2. *P. moupinensis*.
60. Fig. 1. Tête osseuse et dents du *Putorius sibiricus*; fig. 2, du *P. Davidianus*; — fig. 3, du *P. astutus*; — fig. 4, du *P. moupinensis*.
61. Fig. 1. *Putorius Fontanierii*. — Fig. 2. *P. astutus*.
62. *Arctonyx obscurus*.
63. *Cervulus lacrymans*.
64. Tête osseuse du même.
65. *Elaphodus cephalophus*.
66. Tête osseuse du même, vue en dessus.
67. La même, vue de profil.

- 68. *Ovis Nahoar*.
- 69. Tête osseuse.
- 70. *Antilope (Næmorhedus) grisea*.
- 71. Tête osseuse du même.
- 71 ^A. Tête osseuse.
- 72. *Antilope (Næmorhedus) Edwardsii*.
- 73. Tête osseuse du même.
- 74. *Budorcas taxicola* var. *tibetana*.
- 75. Tête osseuse du même, vue de profil.
- 76. Portion frontale du même.
- 77. Tête osseuse du même, vue en dessus.
- 78. Tête osseuse du même, vue en dessous.
- 79. Os des membres du même.
- 80. *Sus moupinensis*.
- 81. Tête osseuse du même.

PLANCHE 1.

Hippopotame de Liberia (*Chaeropsis Liberiensis*, Morton), individu mâle provenant
de la république de Liberia.

Réduit au sixième de la grandeur naturelle.





Hippopotamus amphibius

Pl. I. Fig. 1.

Haut peint

PLANCHE 2.

Squelette de l'**Hippopotame de Liberia** (*Chæropsis Liberiensis*), réduit au sixième de la grandeur naturelle.

Les cartilages costaux, le sternum et les dernières vertèbres caudales manquent.

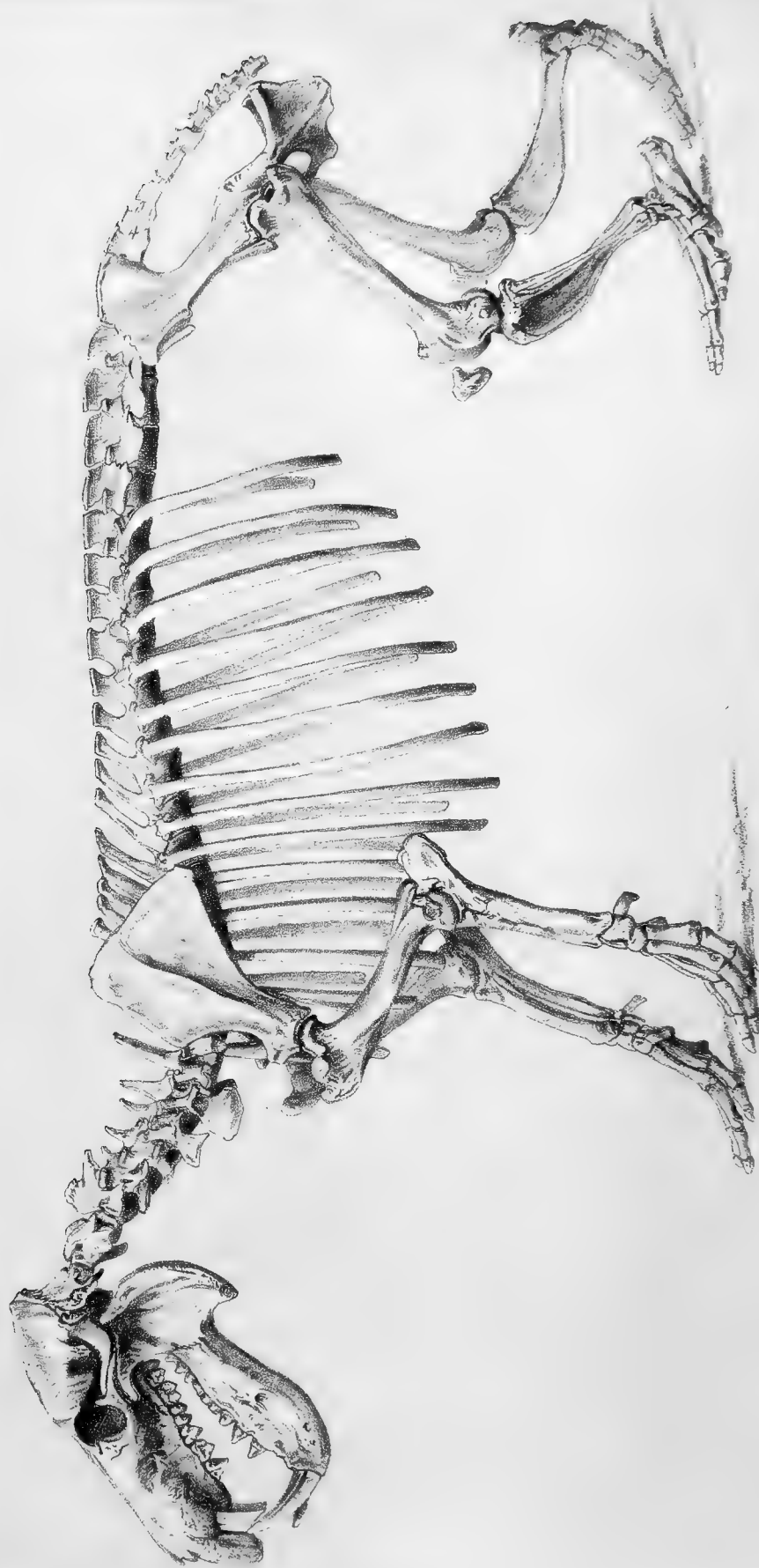




PLANCHE 3.

Tête osseuse de l'**Hippopotame de Liberia** (*Chæropsis Liberiensis*), vue en dessous,
pour montrer la série dentaire et les détails de la base du crâne.

La première prémolaire manque de chaque côté; mais sa place est indiquée par l'alvéole. Les incisives faisaient également défaut sur les crânes que possède le Muséum, et elles ont été représentées ici d'après les figures que M. Morton en a données.

Réduction aux deux tiers de la grandeur naturelle.



PLANCHE 4.

FIG. 1. — Coupe longitudinale de la tête du *Chæropsis Liberiensis*, montrant les sinus frontaux, les dimensions relatives de la boîte crânienne et des fosses nasales, etc. La partie basilaire de l'occipital est légèrement endommagée. (Cette figure est réduite à la moitié de la grandeur naturelle.)

FIG. 2. — Coupe longitudinale de la tête de l'**Hippopotamus amphibius**, réduite au quart de la grandeur naturelle.

1.



2.

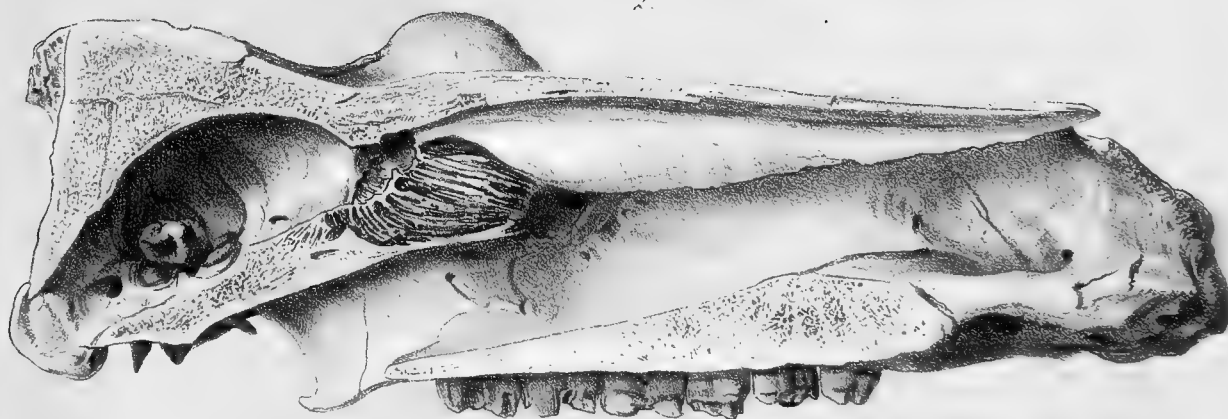


PLANCHE 5.

FIG. 1. — Moulage intérieur de la boîte crânienne de l'**Hippopotame de Liberia** (*Chæropsis liberiensis*, Morton), vu de côté et réduit aux deux tiers de la grandeur naturelle. La portion postérieure représentant le cervelet manque en partie.

FIG. 2. — Le même, vu en dessus.

FIG. 3. — Le même, vu par sa face inférieure.

FIG. 4. — Moulage intérieur de la boîte crânienne de l'**Hippopotame ordinaire** (*Hippopotamus amphibius*), vu de côté et réduit au tiers de la grandeur naturelle.

FIG. 5. — Le même, vu par sa face supérieure.

FIG. 6. — Le même, vu par sa face inférieure.

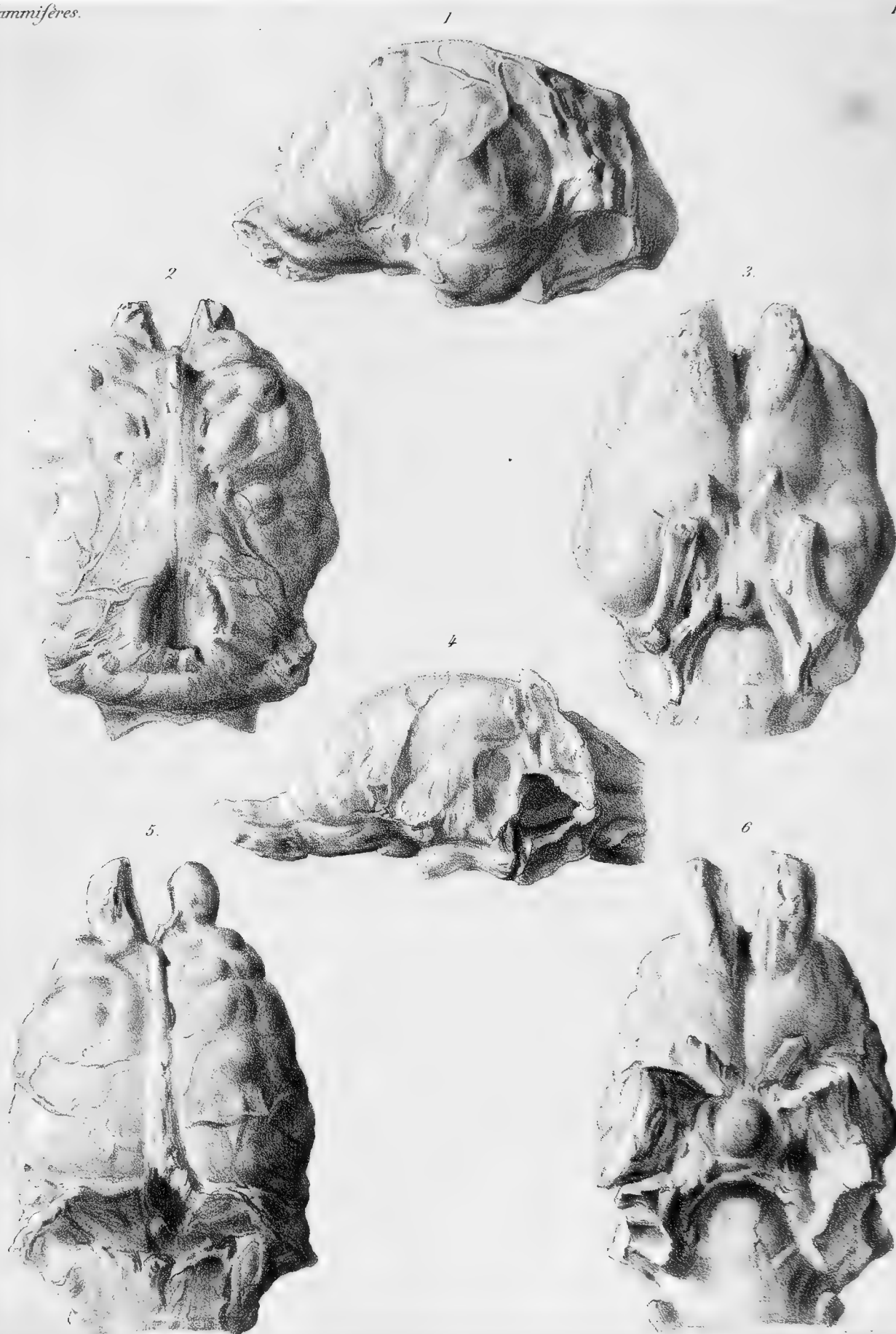


PLANCHE 6.

FIG. 1. — **Siphneus Armandii** (A. Milne Edwards), individu mâle découvert par l'abbé Armand David, sur les hauts plateaux de la Mongolie. Réduction de un quart de la grandeur naturelle.

Sur cette planche, les pattes antérieures ou fouisseuses ont été figurées d'après un animal empaillé, et elles sont, par erreur, tournées en dehors, tandis qu'au contraire leur face externe devrait reposer sur le sol et la pointe des ongles regarder en dedans.

FIG. 2. — Tête vue de face, de grandeur naturelle.

FIG. 3. — Patte de devant, vue de face et montrant les longueurs relatives des différents doigts, de grandeur naturelle.

FIG. 4. — Patte postérieure vue en dessus, de grandeur naturelle.



1.

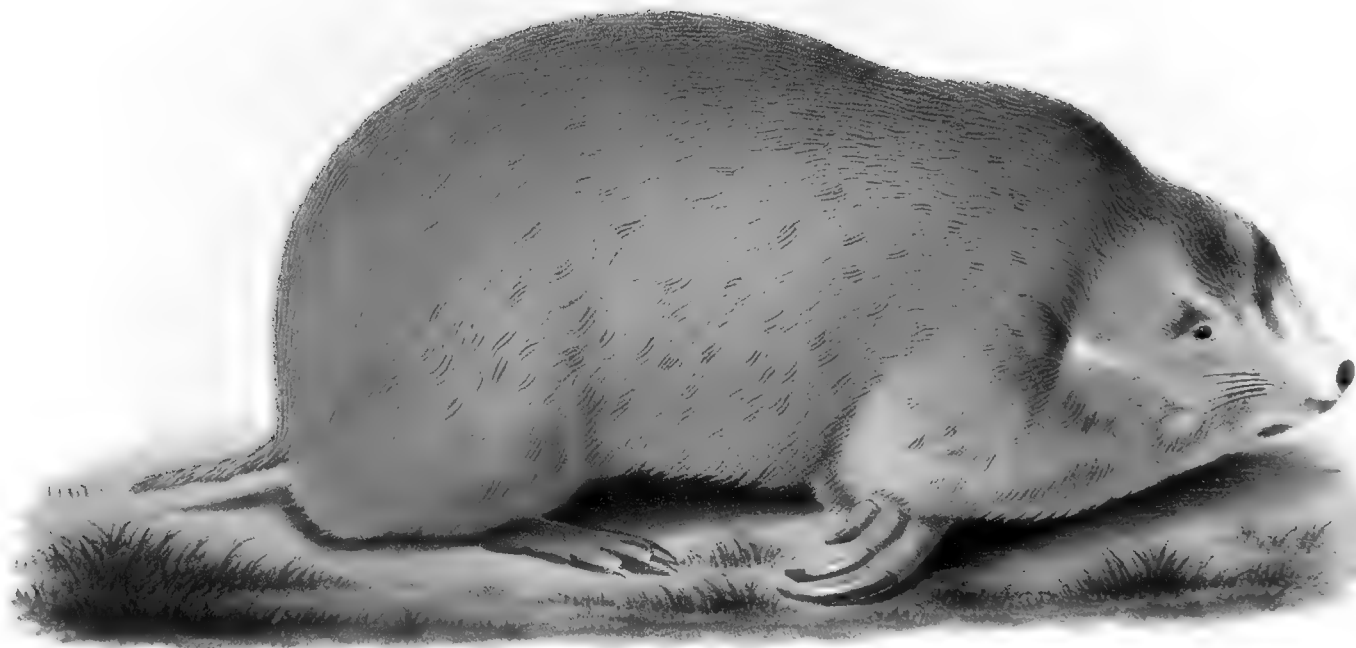


PLANCHE 7.

FIG. 1. — **Siphneus Fontanierii** (A. Milne Edwards), découvert aux environs de Pékin par M. Fontanier. Réduction de un quart de la grandeur naturelle.

Les taches blanches qui se remarquent sur le museau et sur le front n'existent pas constamment et dépendent d'une variété individuelle.

FIG. 2. — Tête vue de face, de grandeur naturelle.

FIG. 3. — Patte de devant, vue de face et montrant les longueurs relatives des différents doigts, de grandeur naturelle.

FIG. 4. — Patte postérieure vue en dessus, de grandeur naturelle.

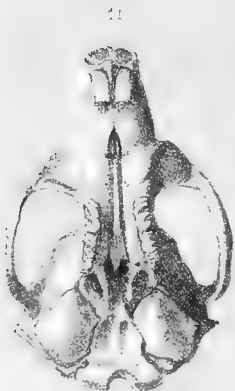
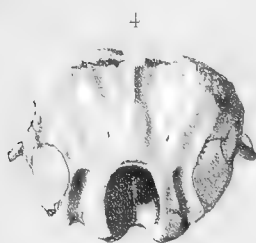
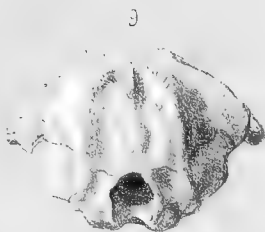
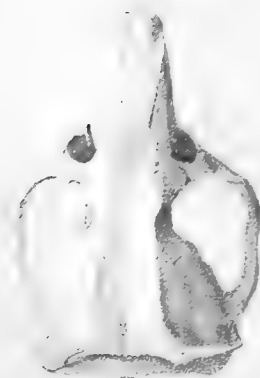
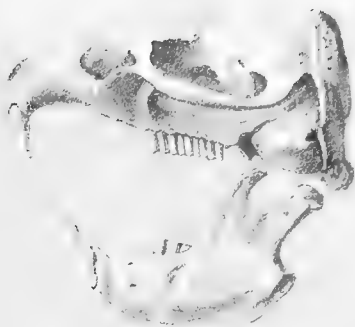


L.



PLANCHE 8.

- FIG. 1. — Tête osseuse d'un **Siphneus myospalax** (Laxm.) de Sibérie, mâle, très-adulte, vue par sa face supérieure, de grandeur naturelle, ainsi que les figures suivantes.
- FIG. 2. — Face inférieure de la tête.
- FIG. 3. — Tête et mâchoire inférieure vues de côté.
- FIG. 4. — Face postérieure du crâne.
- FIG. 5. — Face supérieure d'une tête fossile du **Siphneus myospalax**, trouvée par MM. Meynier et L. d'Eichthal, en Sibérie, dans les cavernes à ossements de l'Inia. Cette tête provient d'un individu plus jeune que le précédent.
- FIG. 6. — Face supérieure de la tête osseuse d'un **Siphneus Fontanierii** (A. Milne Edwards), mâle, provenant de Si-wan.
- FIG. 7. — Face inférieure de la tête.
- FIG. 8. — Tête et mâchoire inférieure vues de côté.
- FIG. 9. — Face postérieure du crâne.
- FIG. 10. — Face supérieure de la tête osseuse d'un **Siphneus Armandii** (A. Milne Edwards), mâle, provenant des hauts plateaux de Mongolie, et parfaitement adulte.
- FIG. 11. — La même, vue en dessous.
- FIG. 12. — Tête et mâchoire inférieure vues de côté.
- FIG. 13. — Tête fossile de **Siphneus Fontanierii**, découverte par M. l'abbé A. David dans les alluvions quaternaires de Mongolie.



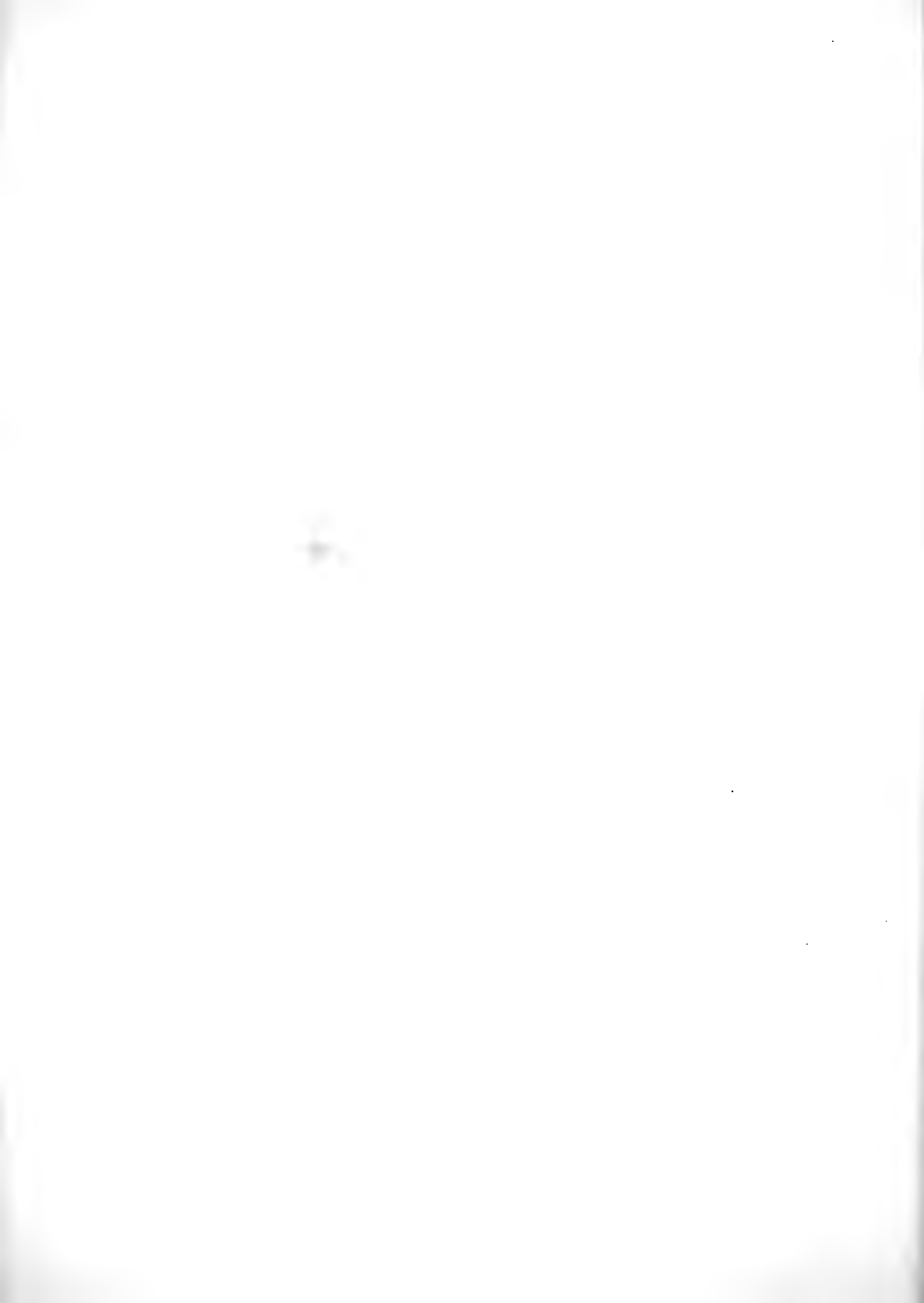


PLANCHE 9.

- FIG. 1. — Série des molaires supérieures, grossies, du **Siphneus Armandii** (A. Milne Edwards) des hauts plateaux de Mongolie.
- FIG. 2. — Face interne des molaires du côté gauche.
- FIG. 3. — Face externe des mêmes.
- FIG. 4. — Série des molaires inférieures gauches de la même espèce.
- FIG. 5. — Série des molaires supérieures du côté gauche du **Siphneus Fontanierii** (A. Milne Edwards) des environs de Pékin.
- FIG. 6. — Face interne des mêmes.
- FIG. 7. — Face externe des mêmes.
- FIG. 8. — Série des molaires inférieures du côté gauche, de la même espèce.
- FIG. 9. — Série des molaires supérieures, grossies, du **Siphneus myospalax** (Laxmann) de Sibérie.
- FIG. 10. — Face interne des molaires du côté gauche.
- FIG. 11. — Face externe des mêmes.
- FIG. 12. — Série des molaires du côté gauche, de la même espèce.
- FIG. 13. — Tête fossile du **Siphneus Armandii**, trouvée par M. l'abbé Armand David, dans les terrains quaternaires de Mongolie.
- FIG. 14. — Humérus de la même espèce provenant du même gisement, ainsi que les pièces suivantes (de grandeur naturelle).
- FIG. 15. — Cubitus vu par sa face interne.
- FIG. 16. — Fémur provenant d'un jeune individu et vu par sa face postérieure.
- FIG. 17. — Tibia et péroné vus par leur face antérieure.
- FIG. 18. — Les six premières vertèbres cervicales vues de côté. Les deuxième, troisième, quatrième et cinquième sont ankylosées.
- FIG. 19. — Les mêmes, vues par leur face supérieure.
- FIG. 20. — Humérus du **Siphneus myospalax**, provenant des cavernes à ossements des bords de la Tscharych (Sibérie).
- FIG. 21. — Cubitus vu par sa face interne et provenant du même gisement.

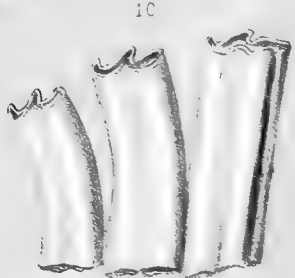
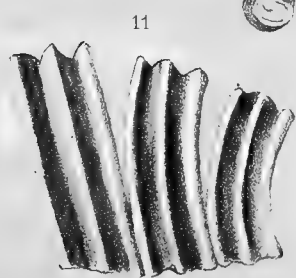
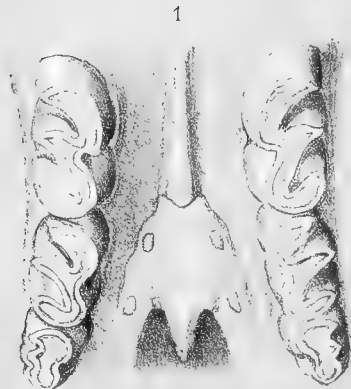
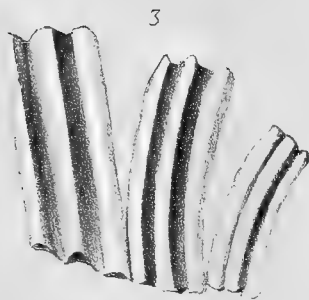
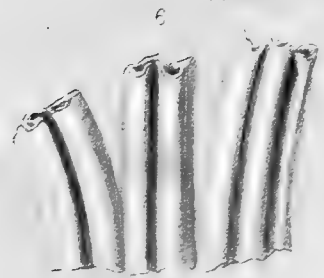
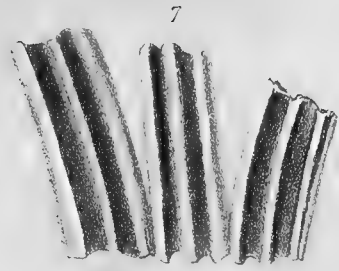




PLANCHE 9 A

- FIG. 1. — Tête osseuse du **Siphneus psilurus** (A. Milne Edwards), très-adulte, vue de côté, de grandeur naturelle.
- FIG. 2. — Face supérieure de la tête.
- FIG. 3. — Face inférieure de la tête.
- FIG. 4. — Face postérieure du crâne.
- FIG. 5. — Tête osseuse vue de face, pour montrer la forme des trous sous-orbitaires.
- FIG. 6. — Molaires supérieures grossies, et montrant leur couronne.
- FIG. 7. — Ces mêmes dents isolées et vues par leur face externe.
- FIG. 8. — Les mêmes, vues par leur face interne.
- FIG. 9. — Molaires inférieures montrant leur couronne.
- FIG. 10. — Sternum grossi.
- FIG. 11. — Patte antérieure, vue en avant et grossie.
- FIG. 12. — Doigt médian de la patte antérieure, vu de côté et grossi.

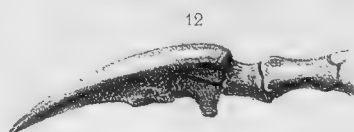
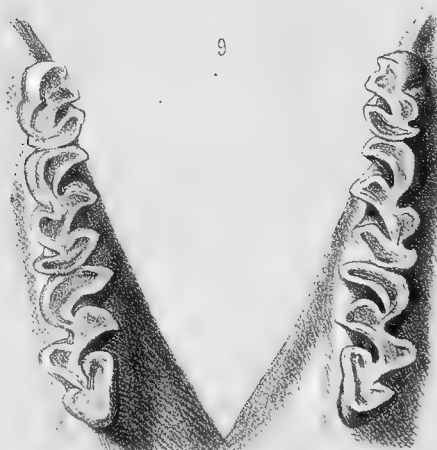
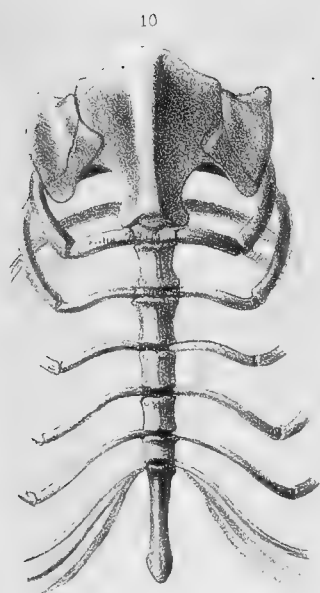
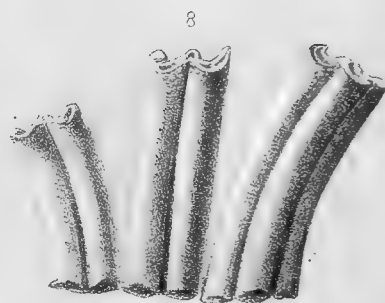
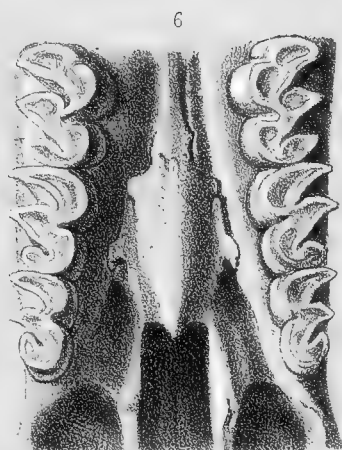
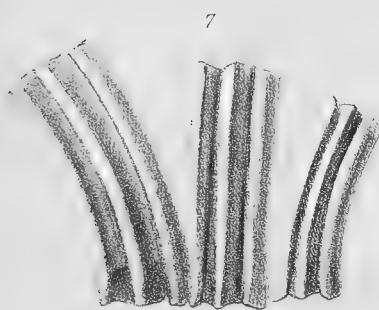
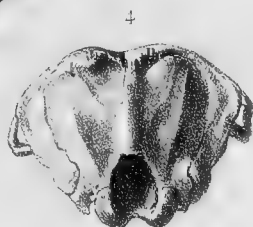
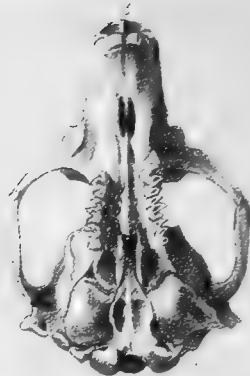


PLANCHE 9 B.

Squelette du Siphné du Petchely (*Siphneus Psilurus*, A. Milne Edwards), individu mâle provenant des collections envoyées au Muséum par M. l'abbé David.

Ce squelette est représenté de grandeur naturelle.

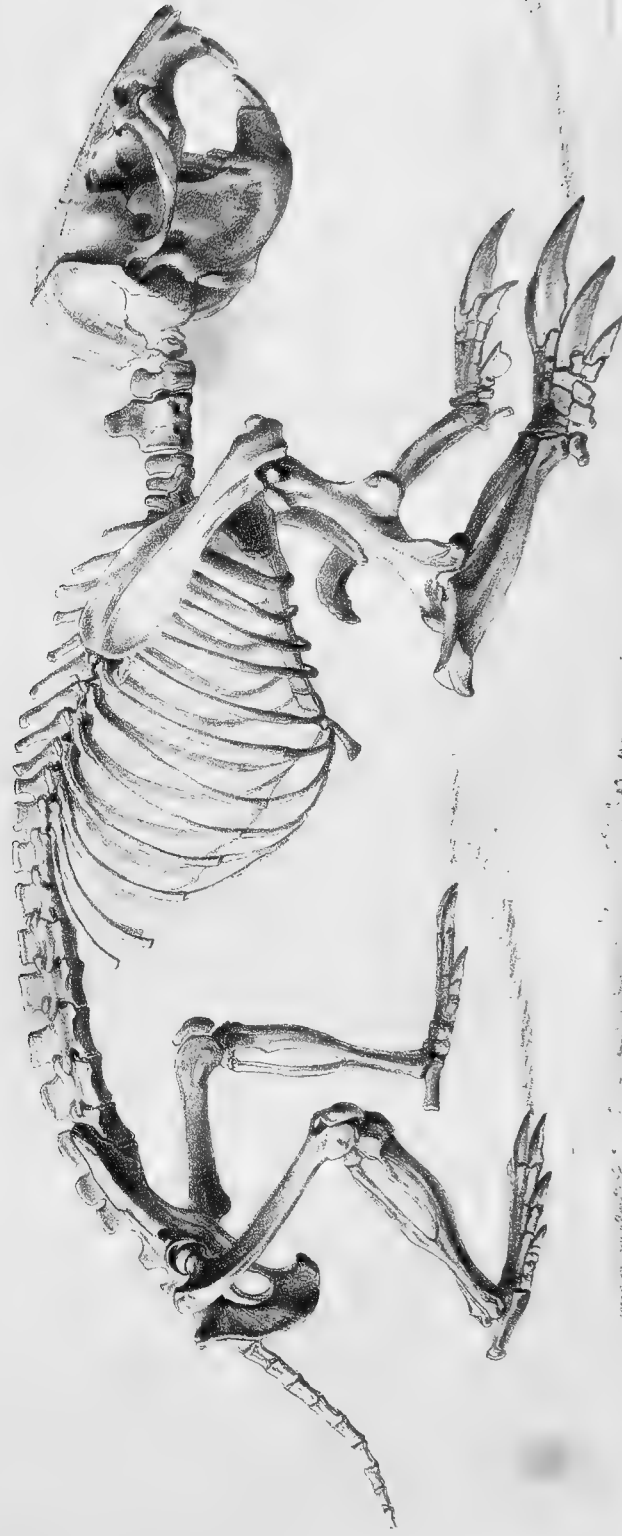




PLANCHE 9^c.

ANATOMIE DU SIPHNÉ.

- FIG. 1. — Système musculaire de la tête, de l'épaule et de la patte antérieure, vu de profil; couche superficielle.
 FIG. 2. — Muscles de la couche profonde.
 FIG. 3. — Tête vue de profil et montrant la disposition des glandes parotides.
 FIG. 4. — Tête et cou vus en dessous pour montrer les muscles de cette région, la portion inférieure des glandes parotides et les glandes sous-maxillaires.
 FIG. 5. — Seconde couche musculaire de la région dorso-scapulaire.
 FIG. 6. — Muscles profonds de la même région.
 FIG. 7. — Muscles masticateurs profonds.

EXPLICATION GÉNÉRALE DES NUMÉROS DE RENVOI.

- | | |
|--|--|
| 1. Muscle trapèze : — 1 ^a , portion antérieure ou muscle clavo-cuculaire ; — 1 ^b , portion médiane ou muscle acromio-cuculaire ; — 1 ^c , portion dorsale ou muscle dorso-cuculaire. | 20. Muscle court fléchisseur de l'avant-bras ou brachial antérieur. |
| 2. Muscle rhomboïde antérieur ou occipito-scapulaire ; — 2 ^b , muscle rhomboïde principal ; — 2 ^c , muscle rhomboïde accessoire. | 21 ^a . Portion scapulaire du muscle triceps ou extenseur de l'avant-bras. |
| 3. Portion antérieure du muscle grand-dentelé ou releveur de l'omoplate ; — 3 ^b , portion moyenne du muscle grand dentelé ; — 3 ^c , portion postérieure du muscle grand dentelé. | 21 ^b . Portion humérale externe du muscle triceps. |
| 4. Muscle sous-clavier ; — 4 ^a , faisceau interne du triceps brachial. | 21 ^c . Portion humérale interne du muscle triceps. |
| 5. Muscle transverso-scapulaire ou angulaire. | 21 ^d . Faisceau accessoire du triceps. |
| 6. Muscle petit pectoral. | 22. Muscle olécrânien ou anconé. |
| 7. Muscle grand pectoral. | 23. Muscle rond pronateur. |
| 8. Muscle deltoïde. | 24. Muscle court supinateur. |
| 9. Muscle sus-épineux. | 25. Muscle premier radial externe. |
| 10. Muscle sous-épineux. | 26. Muscle deuxième radial externe. |
| 11. Muscle petit rond. | 27. Muscle cubital externe. |
| 12. Muscle grand rond. | 29. Muscle abducteur du doigt médius. |
| 13. Muscle grand dorsal. | 30. Muscle extenseur commun des doigts. |
| 14. Muscle sous-scapulaire. | 31. Muscle abducteur du pouce. |
| 15. Muscle coraco-brachial. | 32. Muscle cubital antérieur. |
| 16. Muscle splénius. | 33. Muscle radial interne. |
| 17. Muscle grand complexus. | 34. Muscle grand palmaire. |
| 18. Cléido-mastôidien. | 35. Muscle fléchisseur superficiel des doigts. |
| 19. Muscle long fléchisseur de l'avant-bras ou biceps. | 36. Muscle fléchisseur propre du second doigt. |
| | 37. Muscle fléchisseur profond. |
| | 38. Muscle extenseur propre de l'index. |
| | 39. Muscle masséter : — 39 ^a , portion antérieure ; — 39 ^b , portion moyenne ; — 39 ^c , portion profonde. |
| | 40. Muscle temporal. |
| | 41. Muscle génio-hyoïden. |
| | 42. Glandes parotides. |
| | 42 ^a . Canal de Sténon. |
| | 43. Glandes sous maxillaires. |
| | 43 ^a . Canal excréteur de ces glandes. |

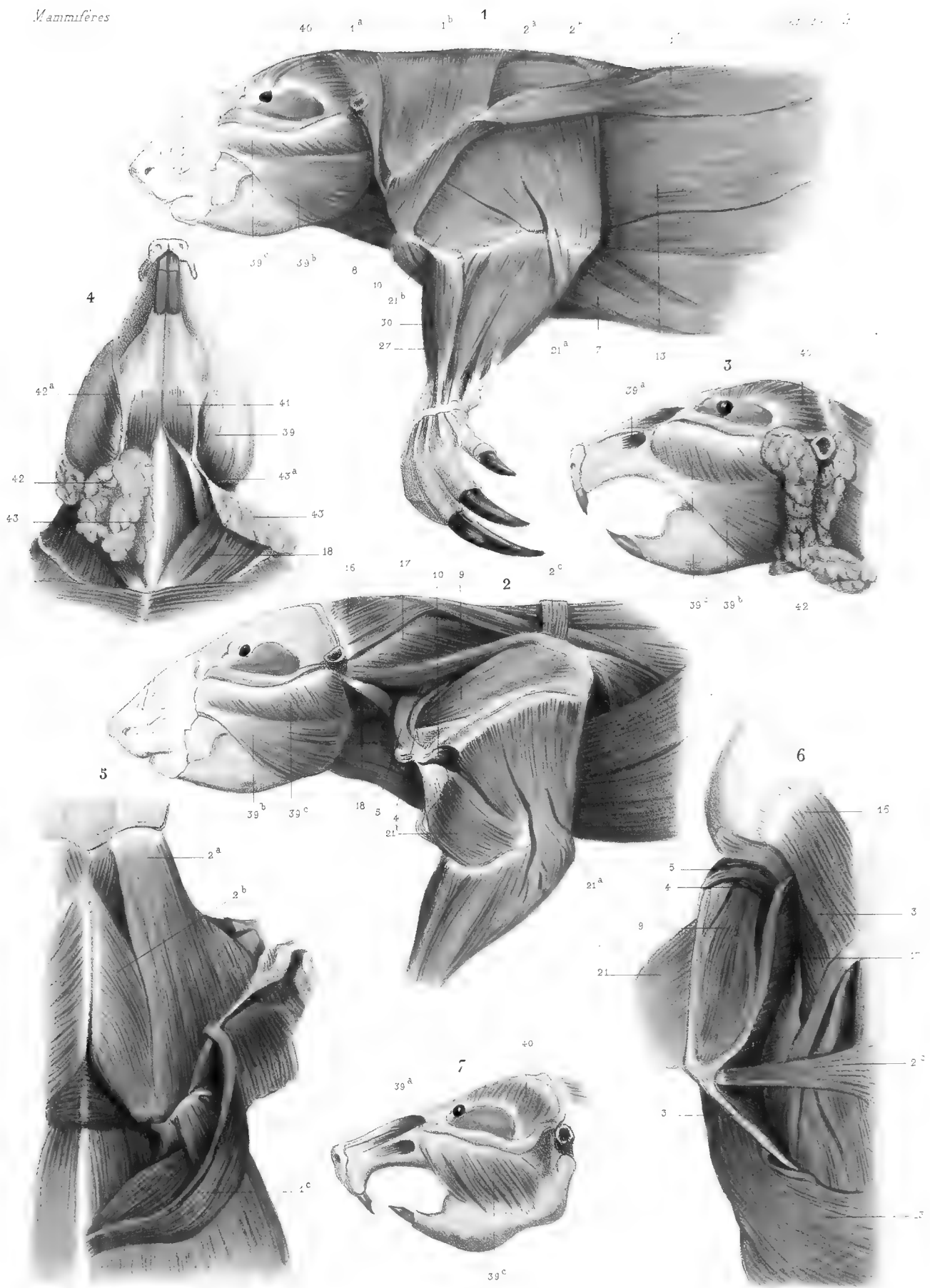


PLANCHE 9^o.

ANATOMIE DU SIPHNÉ.

Fig. 1. — Muscles de l'épaule et de la patte antérieure vus en dessous, le grand pectoral ayant été divisé transversalement et le scapulum rejeté en dehors.

Fig. 2. — Muscle grand dorsal

Fig. 3. — Muscles du membre antérieur vus en dessous.

Fig. 4. — Muscles de l'avant-bras et de la main vus en dessous ; deuxième couche.

Fig. 5. — Muscles profonds de la même région.

Fig. 6. — Muscles profonds de l'avant-bras.

Tous ces muscles portent les mêmes numéros que dans la planche précédente.

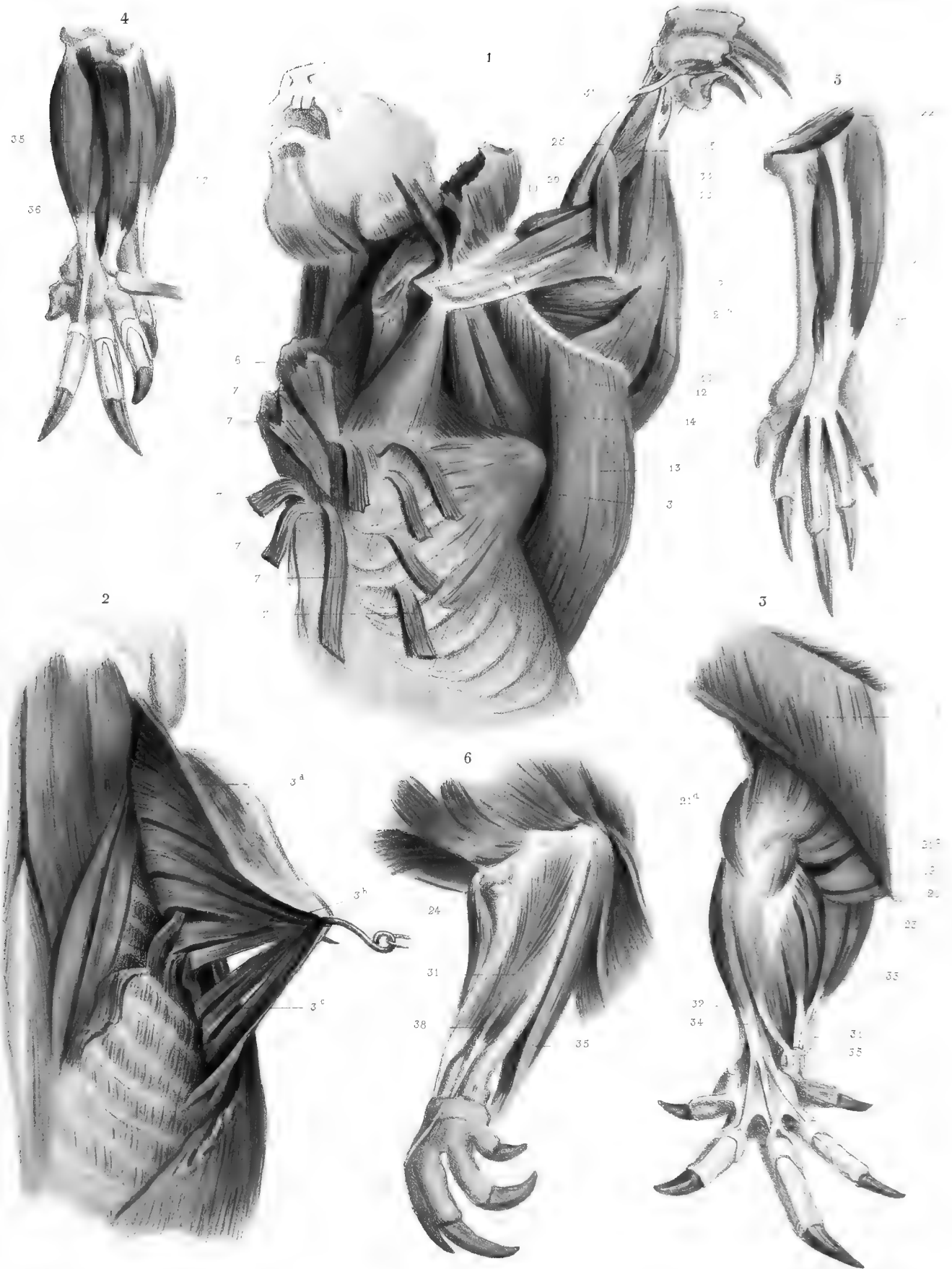




PLANCHE 9^E.

ANATOMIE DU SIPHNÉ.

FIG. 1. — Muscles de la face supérieure du membre antérieur.

FIG. 2. — Muscles profonds de l'épaule. Tous ces muscles portent les mêmes numéros que dans la planche 9^e.

FIG. 3. — Le foie, vu en dessous.

FIG. 4. — Estomac.

FIG. 5. — Section verticale de l'estomac, montrant la disposition de la tunique muqueuse qui tapisse l'intérieur de cet organe.

FIG. 6. — Cecum et portions adjacentes de l'intestin grêle et du gros intestin.

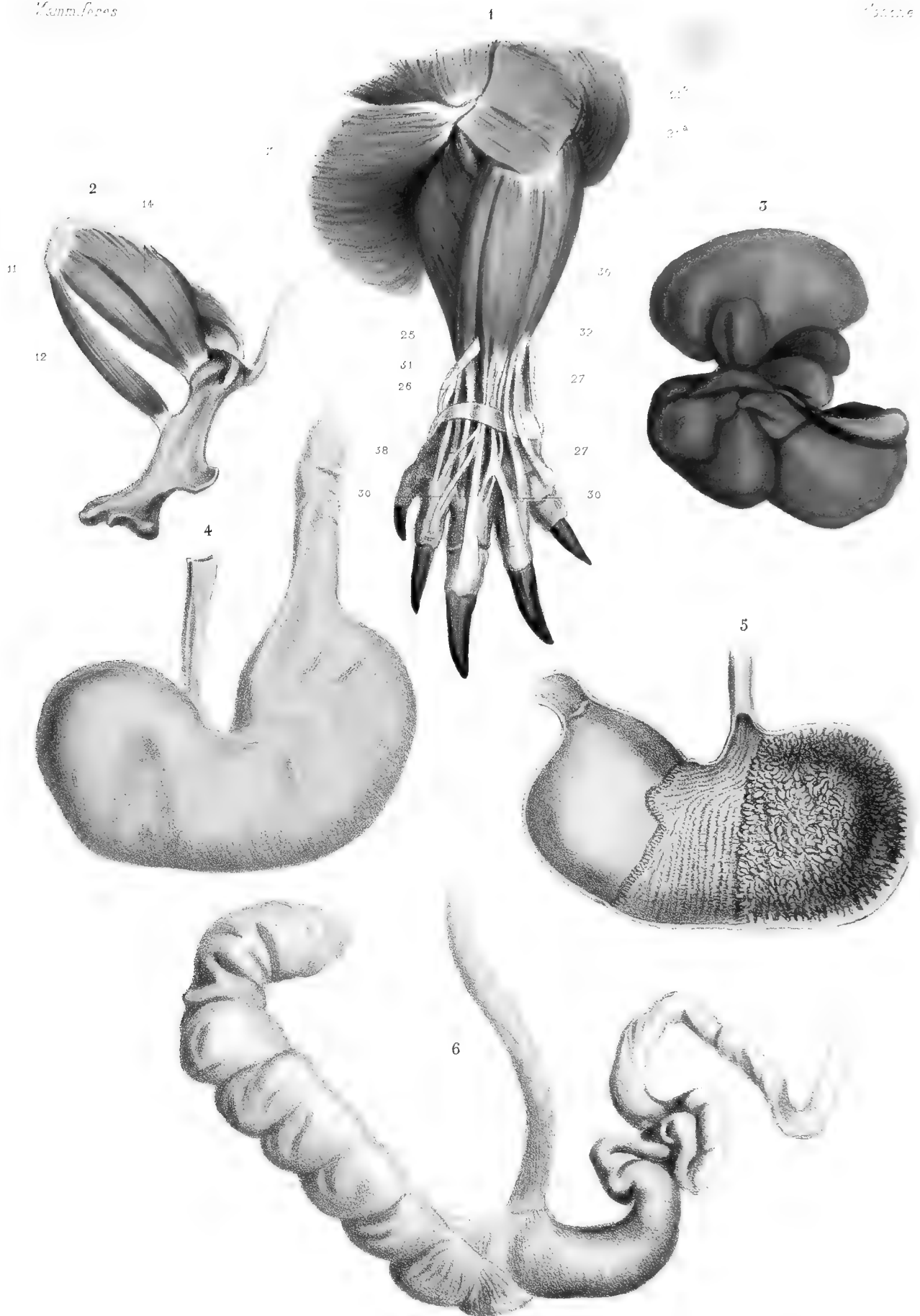
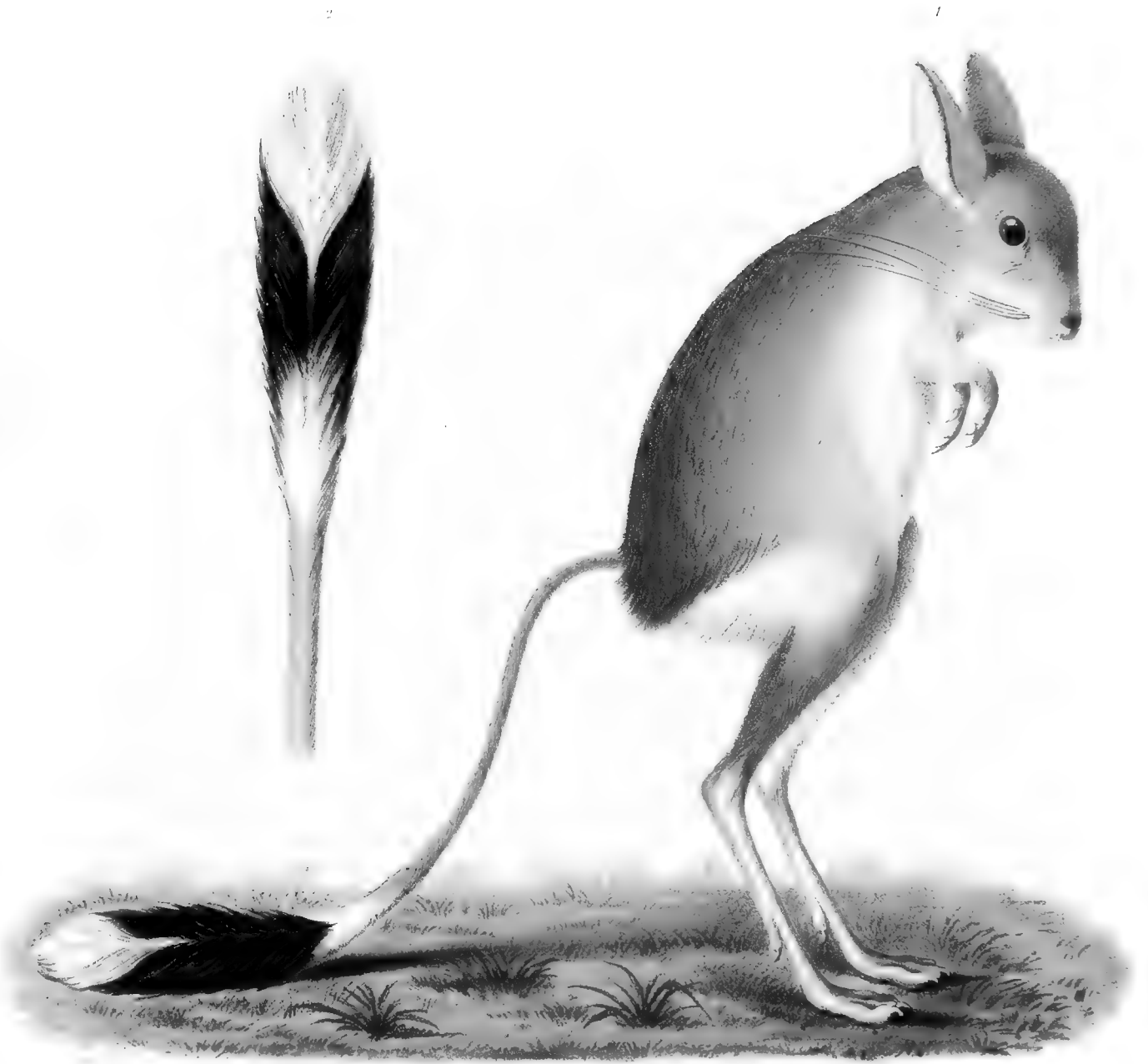


PLANCHE 10.

- FIG. 1. — **Gerboise à queue annelée** (*Dipus annulatus*, A. Milne Edwards), individu mâle découvert par l'abbé Armand David dans les plaines sablonueuses de la Mongolie. Réduit de un tiers de la grandeur naturelle.
- FIG. 2. — Extrémité de la queue, vue en dessous et montrant la disposition annulaire des parties blanches et noires, de grandeur naturelle.



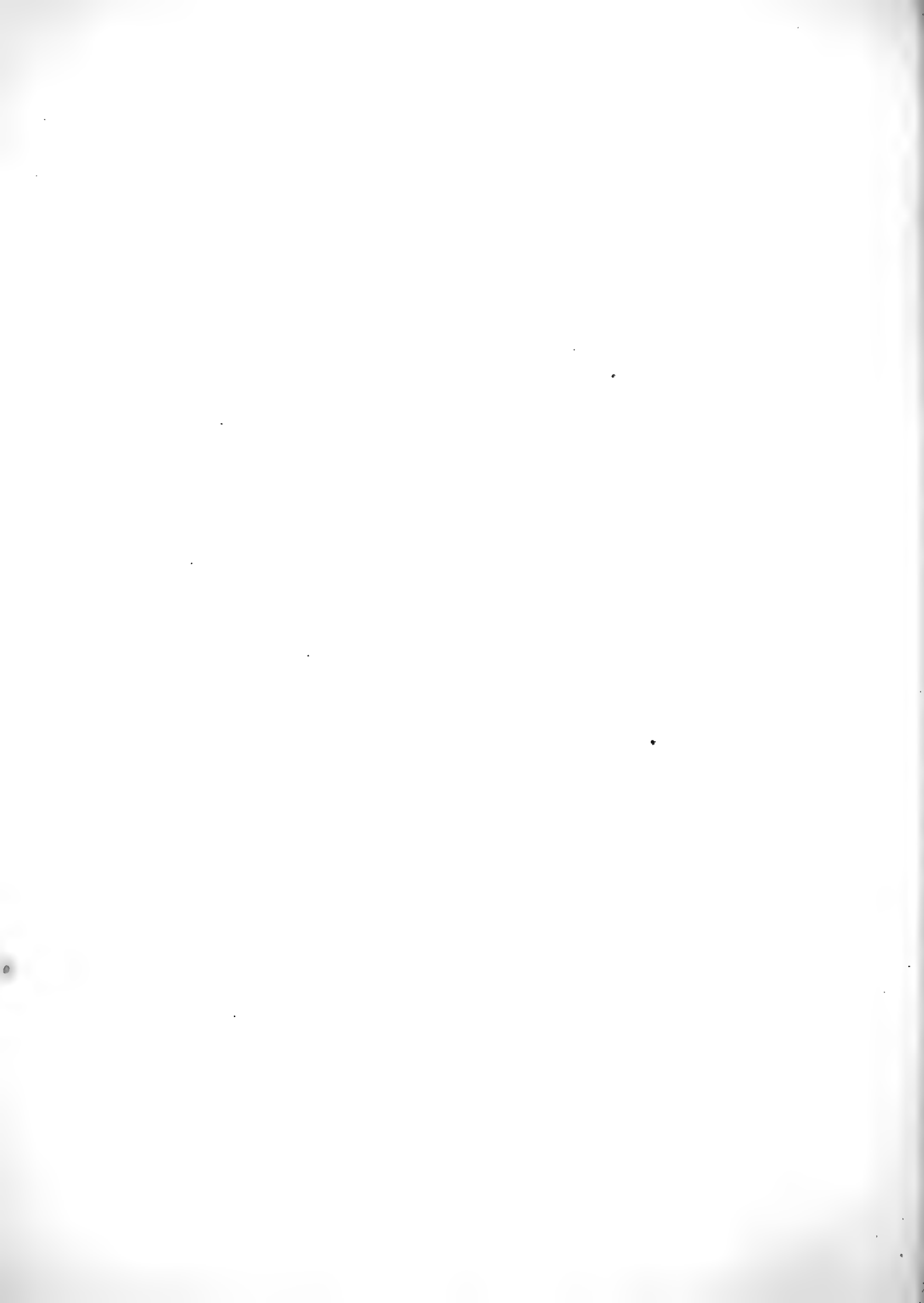


PLANCHE 10^A.

- FIG. 1. — Tête osseuse de **Gerbillus psammophilus** (A. Milne Edwards) vue en dessus, de grandeur naturelle.
- FIG. 1^a. — Face inférieure de la même.
- FIG. 1^b. — La même, vue de côté.
- FIG. 1^c. — Molaires supérieures grossies et vues en dessous.
- FIG. 1^d. — Molaires inférieures grossies et vues en dessus.
- FIG. 1^e. — Incisives supérieures grossies et vues en avant.
- FIG. 2. — Tête osseuse de **Gerbillus unguiculatus** (A. Milne Edwards) vue en dessus, de grandeur naturelle.
- FIG. 2^a. — Face inférieure de la même.
- FIG. 2^b. — La même, vue de côté.
- FIG. 2^c. — Molaires supérieures grossies et vues en dessous.
- FIG. 2^d. — Molaires inférieures grossies et vues en dessus.
- FIG. 2^e. — Incisives supérieures grossies et vues en avant.
- FIG. 3. — Tête osseuse de **Dipus annulatus** (A. Milne Edwards) vue en dessus, de grandeur naturelle.
- FIG. 3^a. — Face inférieure de la même.
- FIG. 3^b. — La même, vue de côté.
- FIG. 3^c. — Série des molaires supérieures grossies et vues en dessous.
- FIG. 3^d. — Série des molaires inférieures grossies et vues en dessus.
- FIG. 3^e. — Incisives supérieures grossies et vues en avant.
- FIG. 3^f. — Région occipitale vue en arrière, de grandeur naturelle.

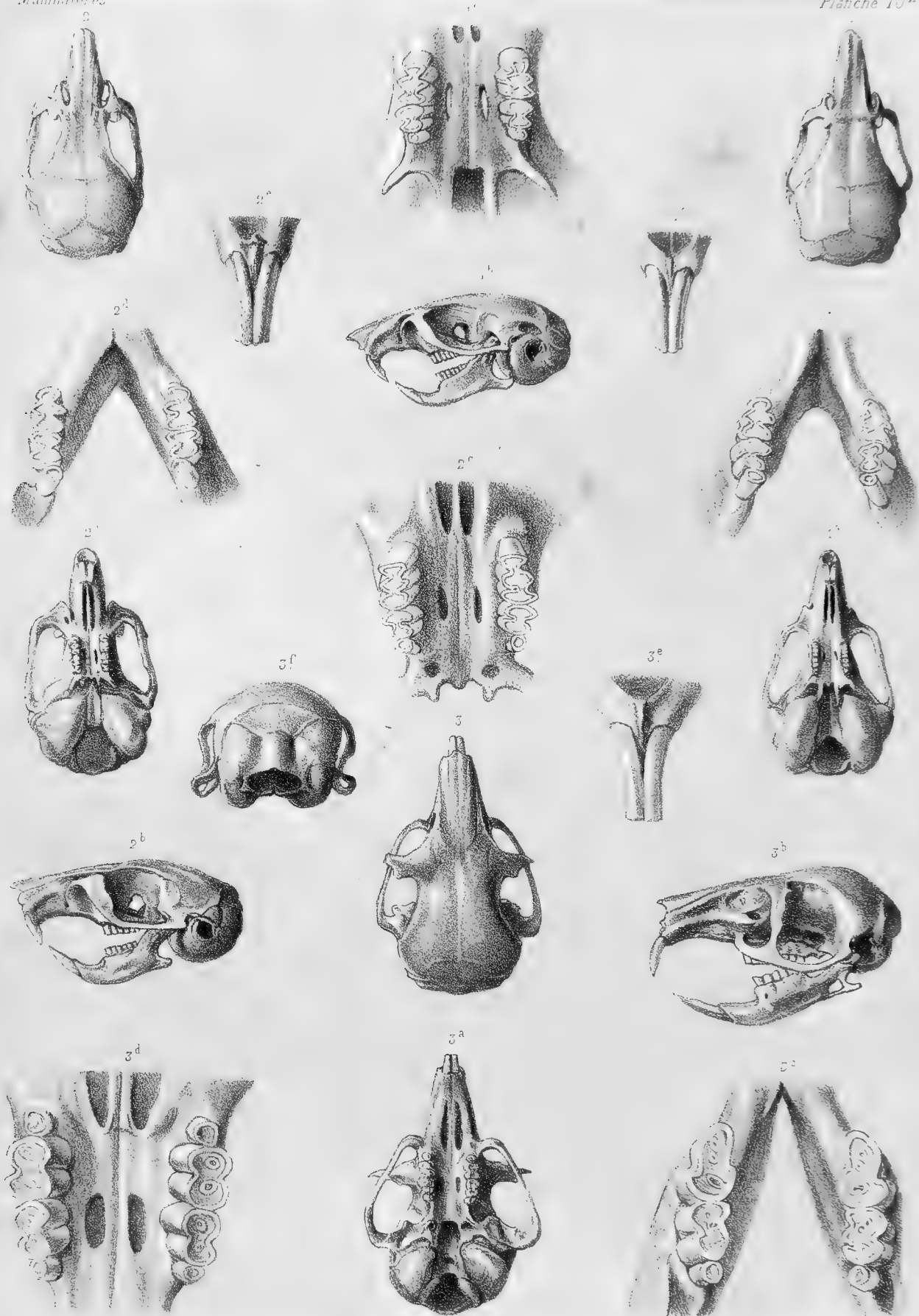




PLANCHE 11.

- FIG. 1. — **Gerbillus unguiculatus** (A. Milne Edwards), mâle, découvert par M. l'abbé A. David, dans les plaines de Mongolie (de grandeur naturelle).
- FIG. 2. — Patte postérieure de la même espèce, vue en dessus.
- FIG. 3. — **Gerbillus brevicaudatus** (A. Milne Edwards), mâle, découvert par M. A. David, dans les plaines de Mongolie (de grandeur naturelle).
- FIG. 4. — Patte postérieure de la même espèce, vue en dessus.

1



4

2

3



Hesperomys

Mamel chromo-lith.



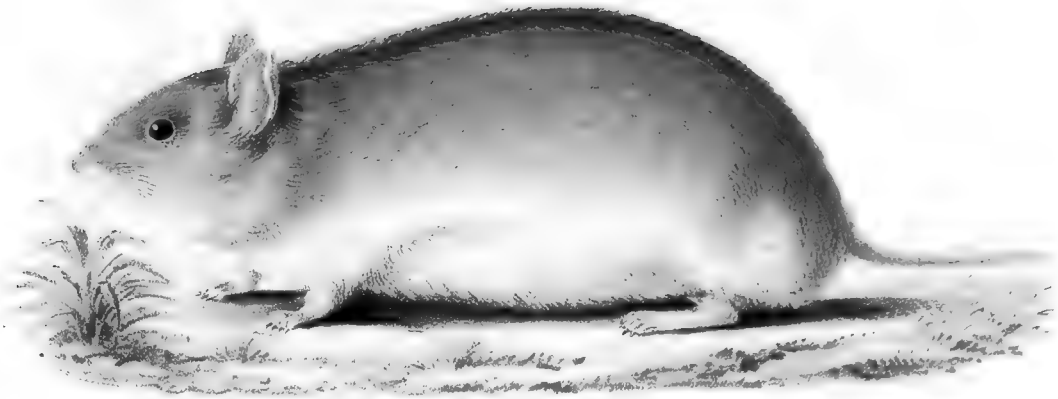
PLANCHE 12.

FIG. 1. — **Cricetus** (**Cricetulus**) **griseus** (A. Milne Edwards) des environs de Pékin, individu mâle; de grandeur naturelle, ainsi que les figures suivantes.

FIG. 2. — **Cricetus** (**Cricetulus**) **longicaudatus** (A. Milne Edwards), individu mâle provenant de la Mongolie chinoise.

FIG. 3. — **Cricetus** (**Cricetulus**) **obscurus** (A. Milne Edwards), provenant de Sartchy dans la Mongolie chinoise.

FIG. 4. — **Arvicola** **Mandarinus** (A. Milne Edwards). Ce Campagnol a été trouvé par M. l'abbé David, avec les espèces précédentes, dans la Mongolie chinoise.



1



2



3

4

PLANCHE 13.

FIG. 1. — Tête osseuse du **Cricetulus griseus**, A. Milne Edwards, vue en dessus et grossie. Une ligne placée à gauche de cette figure en indique la grandeur naturelle.

FIG. 1^a. — La même, vue de côté.

FIG. 1^b. — Face inférieure de la même.

FIG. 1^c. — Série des molaires supérieures d'un individu mâle.

FIG. 1^d. — Série des molaires inférieures du même individu.

FIG. 1^e. — Série des molaires supérieures d'une femelle.

FIG. 1^f. — Série des molaires inférieures de la même.

FIG. 1^g. — Face palmaire de la main.

FIG. 1^h. — Face plantaire du pied.

FIG. 2. — Tête osseuse du **Cricetulus obscurus**, A. Milne Edwards, vue en dessus et grossie.

FIG. 2^a. — La même, vue de côté.

FIG. 2^b. — Série des molaires supérieures.

FIG. 2^c. — Série des molaires inférieures.

FIG. 3. — Tête osseuse du **Cricetulus longicaudatus**, A. Milne Edwards, vue en dessus et grossie.

FIG. 3^a. — La même, vue de côté.

FIG. 3^b. — Série des molaires supérieures d'un vieil individu.

FIG. 3^c. — Série des molaires inférieures du même.

FIG. 4. — Tête osseuse de l'**Arvicola mandarinus**, A. Milne Edwards, vue en dessus et grossie.

FIG. 4^a. — La même, vue de côté.

FIG. 4^b. — Face inférieure de la même.

FIG. 4^c. — Série des molaires supérieures.

FIG. 4^d. — Série des molaires inférieures.

(Toutes ces figures sont grossies.)

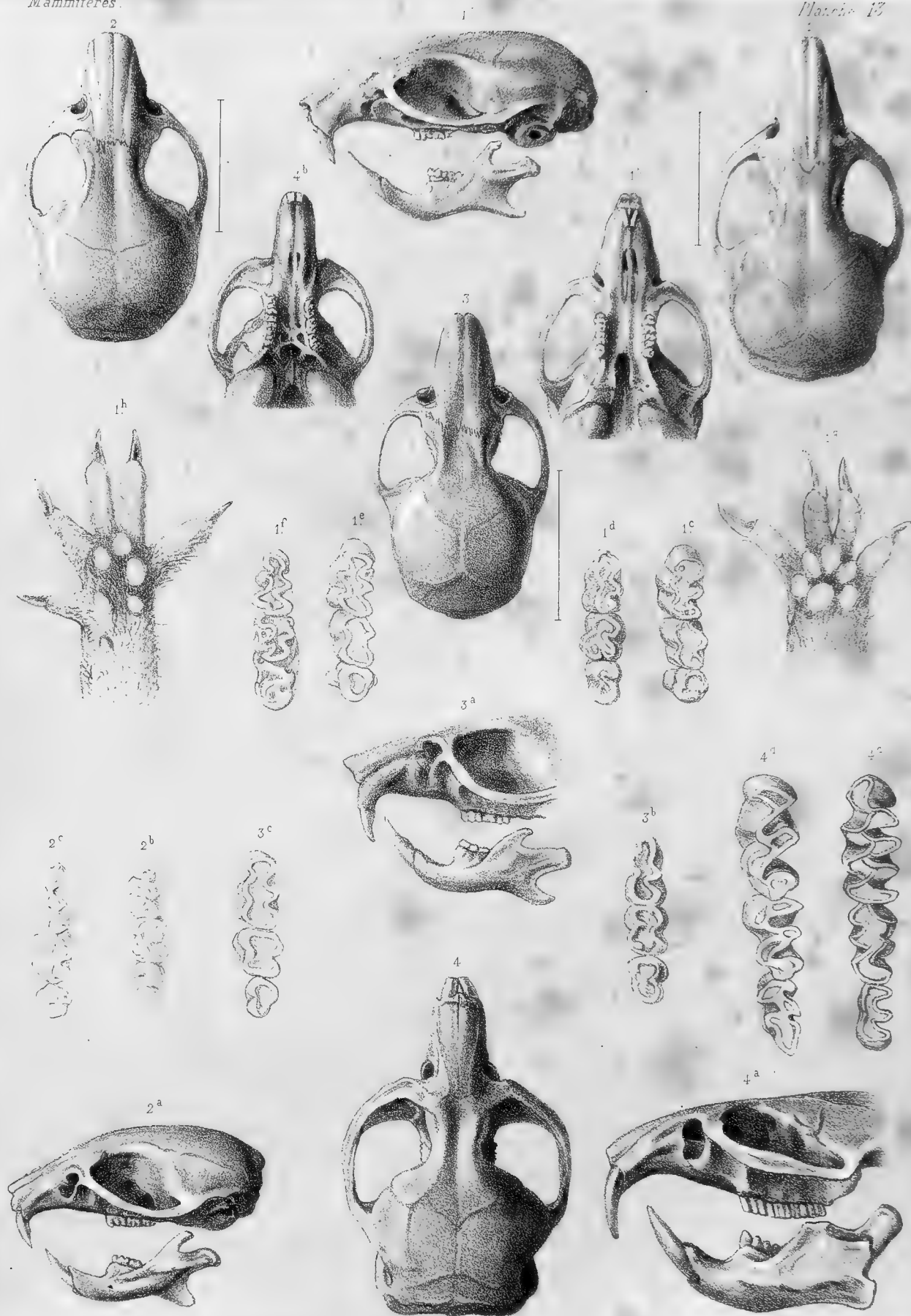


PLANCHE 14.

Pteromys xanthipes (A. Milne Edwards), individu mâle, très-adulte, provenant
des forêts qui couvrent, au nord-est, la chaîne du Tché-ly.

Cet exemplaire fait partie des collections rapportées de Chine par M. Fontanier.

Réduction de $\frac{1}{3}$.)





PLANCHE 15.

Pteromys melanopterus (A. Milne Edwards), mâle et très-adulte, provenant
des forêts du nord-est du Tché-ly.

Cet exemplaire fait partie des collections rapportées de Chine par M. Fontanier.

(Réduction de $\frac{1}{2}$.)



PLANCHE 15^A.

FIG. 1. — Tête osseuse, de grandeur naturelle, du **Pteromys albornus** (A. Milne Edwards), espèce provenant du Tibet oriental et envoyée au Muséum par M. l'abbé A. David.

FIG. 1^a. — La même, vue en dessus.

FIG. 1^b. — Face inférieure de la même.

FIG. 2. — Tête osseuse, de grandeur naturelle, du **Pteromys melanopterus** (A. Milne Edwards), espèce provenant du Tché-li et du Sé-tchouan et faisant partie des collections réunies par M. Fontanier et par M. l'abbé David.

FIG. 2^a. — Tête osseuse vue en dessous.

FIG. 2^b. — Face supérieure de la même.

FIG. 3. — Tête osseuse, de grandeur naturelle, du **Pteromys xanthipes** (A. Milne Edwards), espèce habitant les montagnes du Tché-li et rapportée par M. Fontanier.

FIG. 3^a. — La même, vue en dessus.

FIG. 3^b. — Face inférieure de la même.

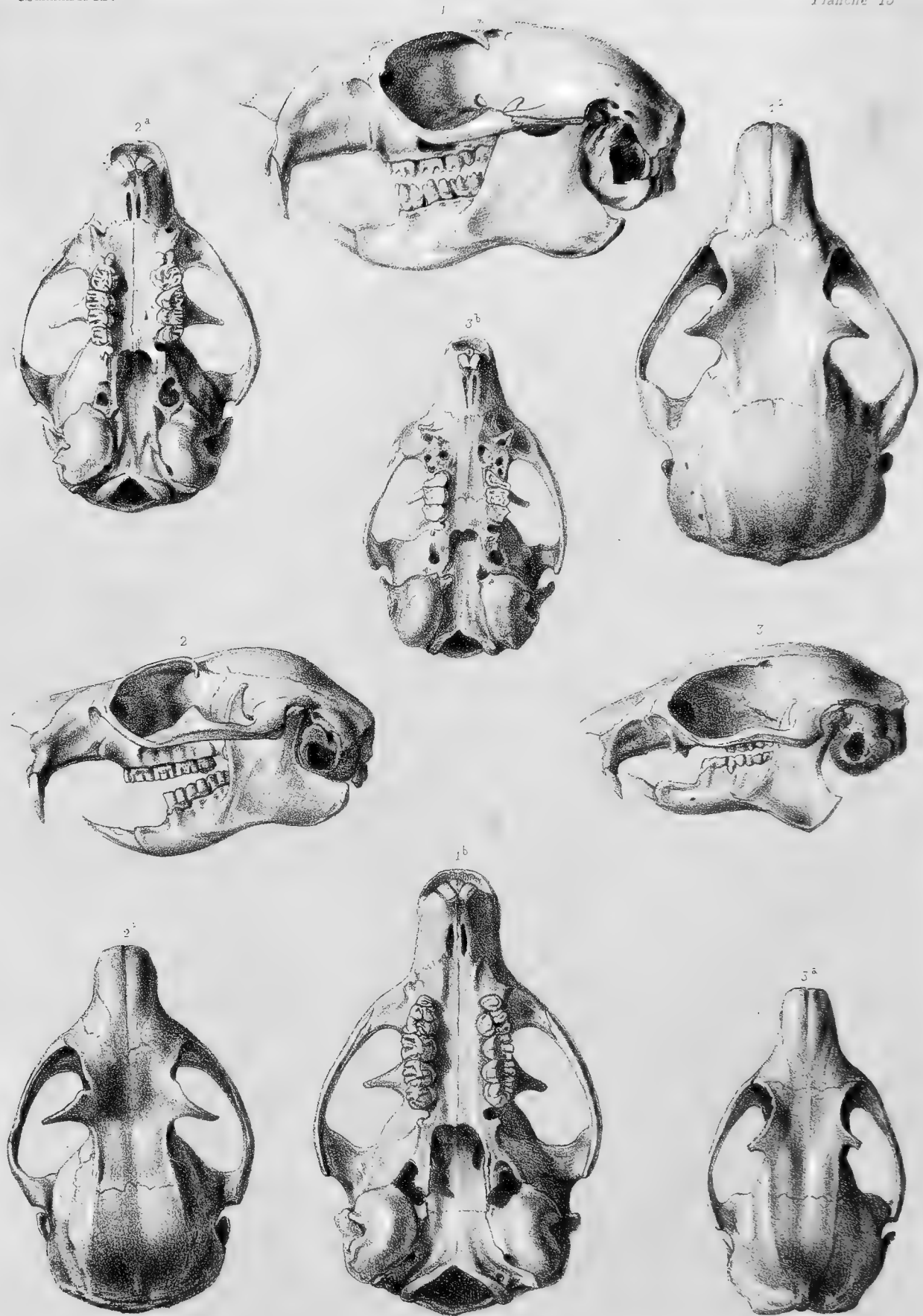




PLANCHE 16.

Sciurus Davidianus (A. Milne Edwards), mâle, découvert dans la région montagneuse
située au nord-ouest de Pékin, par M. l'abbé Armand David.

(Réduit de $\frac{1}{4}$.)





PLANCHE 17.

FIG. 1. — **Spermophilus mongolicus** (A. Milne Edwards), mâle, découvert par M. l'abbé Armand David dans les plaines sablonneuses de Mongolie. (Réduction de $\frac{1}{3}$.)

FIG. 2. Tête vue en dessus, de grandeur naturelle.

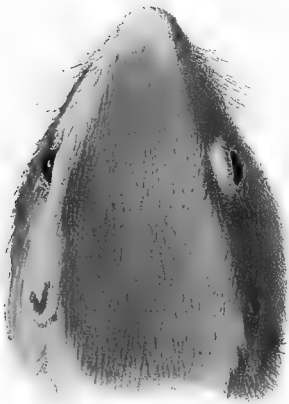
FIG. 3. — Face inférieure de la queue, de grandeur naturelle.

FIG. 4. — **Scaptochirus moschatus** (A. Milne Edwards), insectivore voisin des Taupes, découvert par l'abbé A. David en Mongolie, où cette espèce paraît très-rare (de grandeur naturelle).

4



2



3



1



Hud. pinx.

Mesnel chromo-lith.



PLANCHE 17^A.

- FIG. 1. — Portion antérieure de la tête osseuse du **Scaptochirus moschatus** (A. Milne Edwards) vue de côté et très-grossie.
- FIG. 1^a. — Mâchoire supérieure vue en dessous.
- FIG. 1^b. — Mâchoire inférieure vue en dessus.
- FIG. 1^c. — Mâchoire supérieure vue en avant, pour montrer la disposition des incisives et des canines.
- FIG. 2. — Tête osseuse du **Talpa longirostris** (A. Milne Edwards). Taupe provenant du Tibet oriental, représentée de grandeur naturelle.
- FIG. 2^a. — La même, vue en dessus et grossie.
- FIG. 2^b. — Face inférieure de la même.
- FIG. 2^c. — Mâchoires vues de côté et très-grossies.
- FIG. 2^d. — Mâchoire supérieure vue en dessous.
- FIG. 2^e. — Mâchoire inférieure vue en dessus.

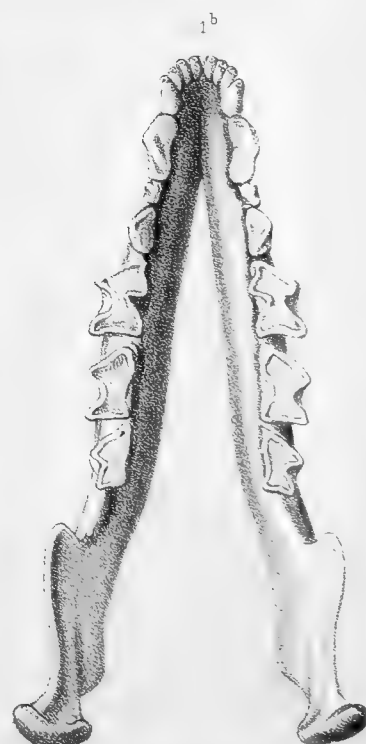
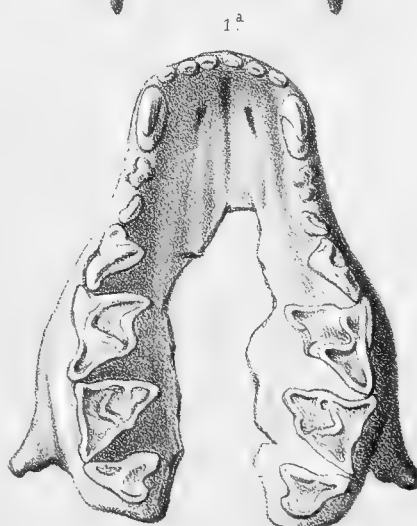
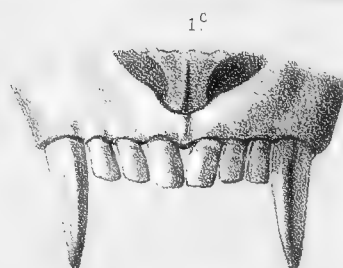
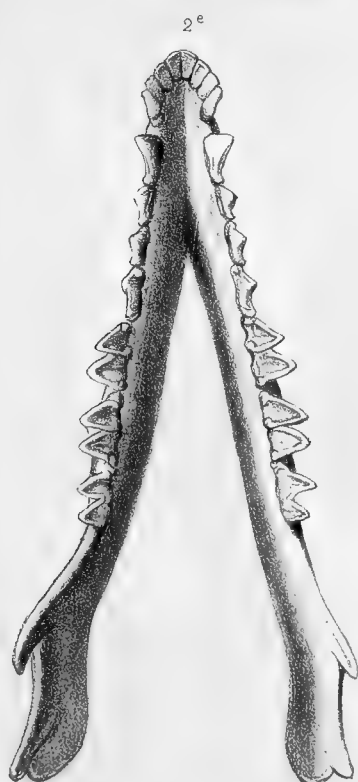
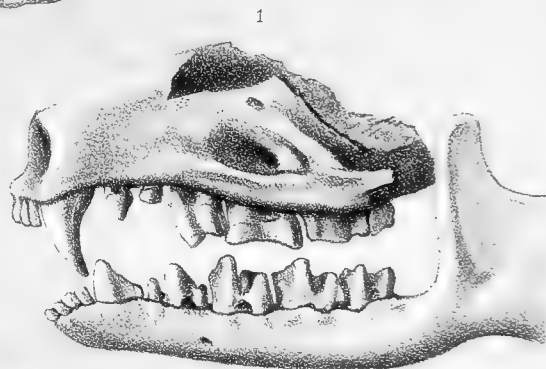
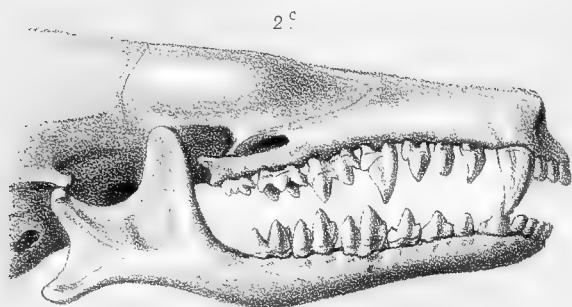
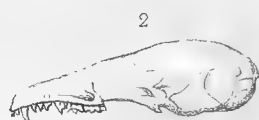
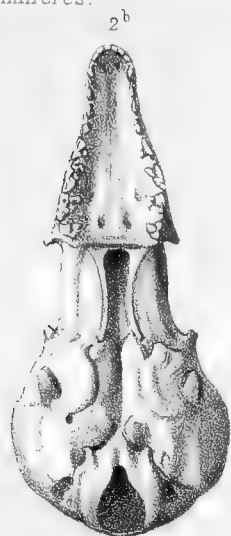


PLANCHE 18.

FIG. 1. — Tête osseuse de l'Écureuil de Perny (**Sciurus Pernyi**, A. Milne Edwards), espèce rapportée du Tibet oriental par M. l'abbé David.

FIG. 1^a. — La même, vue en dessus.

FIG. 1^b. — Molaires supérieures grossies.

FIG. 1^c. — Molaires inférieures grossies.

FIG. 1^d. — Portion articulaire de la mâchoire inférieure.

FIG. 2. — Tête osseuse de l'Écureuil de David [**Sciurus (Tamias) Davidianus**, A. Milne Edwards], espèce provenant des environs de Pékin et envoyée au Muséum par M. l'abbé A. David.

FIG. 2^a. — La même, vue en dessus.

FIG. 2^b. — Molaires supérieures grossies.

FIG. 2^c. — Molaires inférieures grossies.

FIG. 2^d. — Portion articulaire de la mâchoire inférieure.

FIG. 3. — Tête osseuse du Spermophile de Mongolie (**Spermophilus mongolicus**, A. Milne Edwards), espèce trouvée par le même voyageur aux environs de Pékin et dans la Mongolie chinoise.

FIG. 3^a. — La même vue en dessus.

FIG. 3^b. — Molaires supérieures grossies.

FIG. 3^c. — Molaires inférieures du côté droit, grossies.

FIG. 3^d. — Série des molaires supérieures et inférieures vues de profil et grossies.

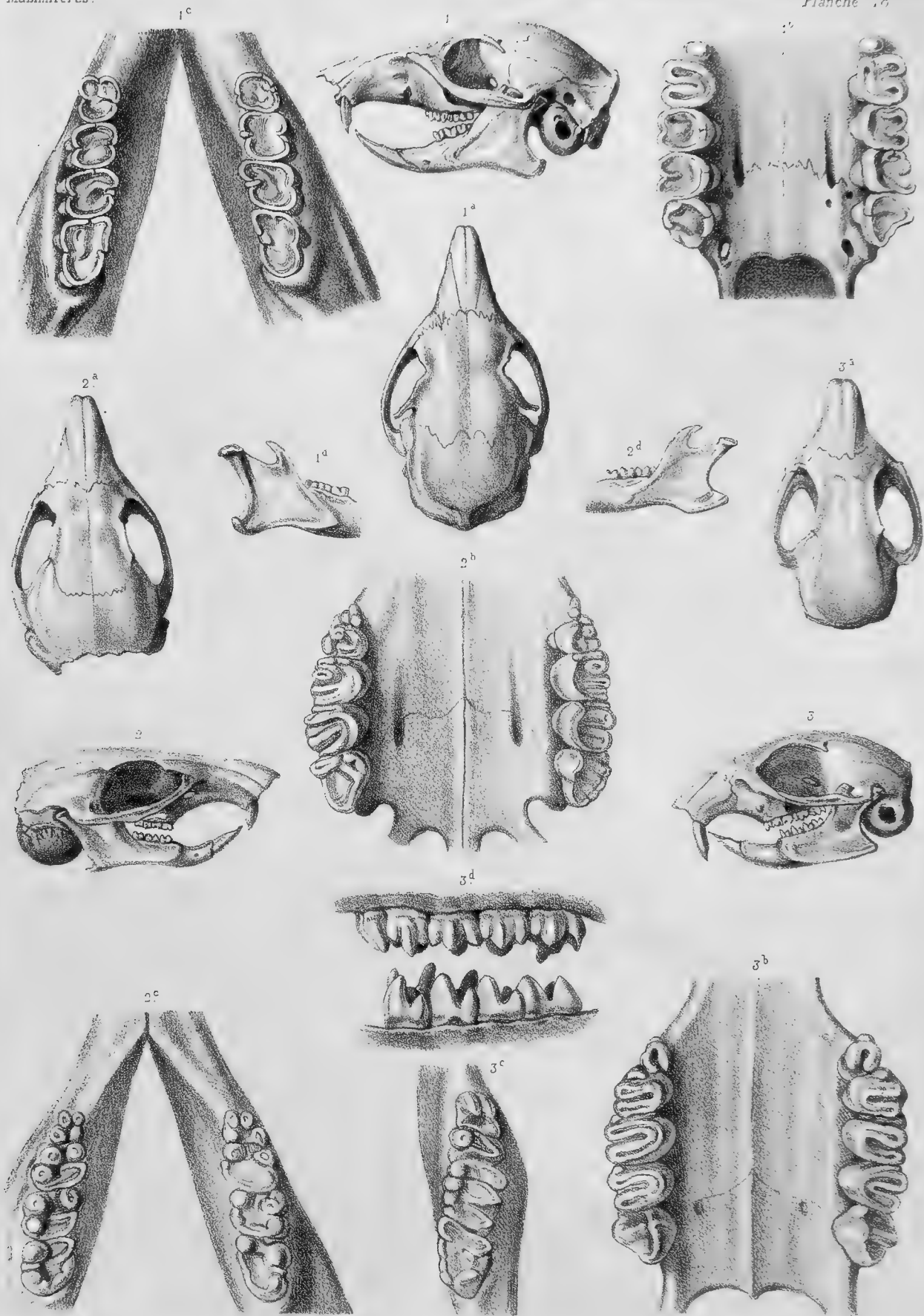




PLANCHE 19.

Moschus moschiferus (Linné), mâle, provenant du Tchély et rapporté
par M. Fontanier.

Ce Porte-Musc appartient à la variété *maculée* décrite par Pallas, comme une espèce
distincte, sous le nom de *Moschus Sibiricus*.



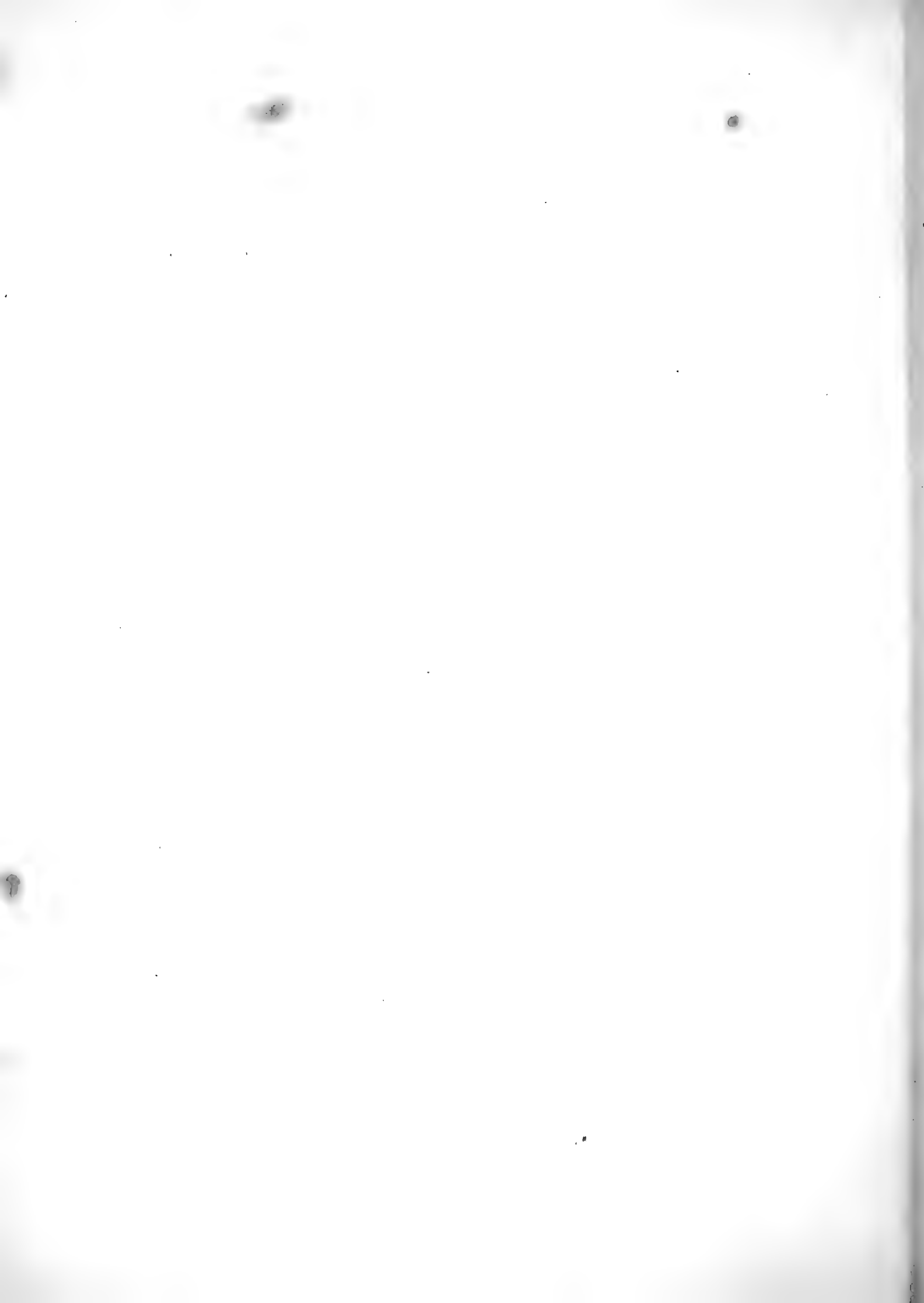


PLANCHE 20.

Moschus moschiferus (Linné), mâle provenant du Sei-Tcheuen et donné au musée
par M. Drouin de Lhuys.

Ce Porte-musc appartient à la variété à ventre jaune décrite par Hodgson comme
une espèce distincte sous le nom de *Moschus Chrysogaster*.



PLANCHE 21.

Cervus Xanthopygus (A. Milne Edwards), provenant de la Mantchourie et faisant partie des collections rapportées de Chine par M. Fontanier.





PLANCHE 22.

Cervus Mandarinus (A. Milne Edwards) dans son pelage d'été, d'après un individu mâle venant de la Chine et vivant actuellement dans la ménagerie du Muséum d'histoire naturelle.

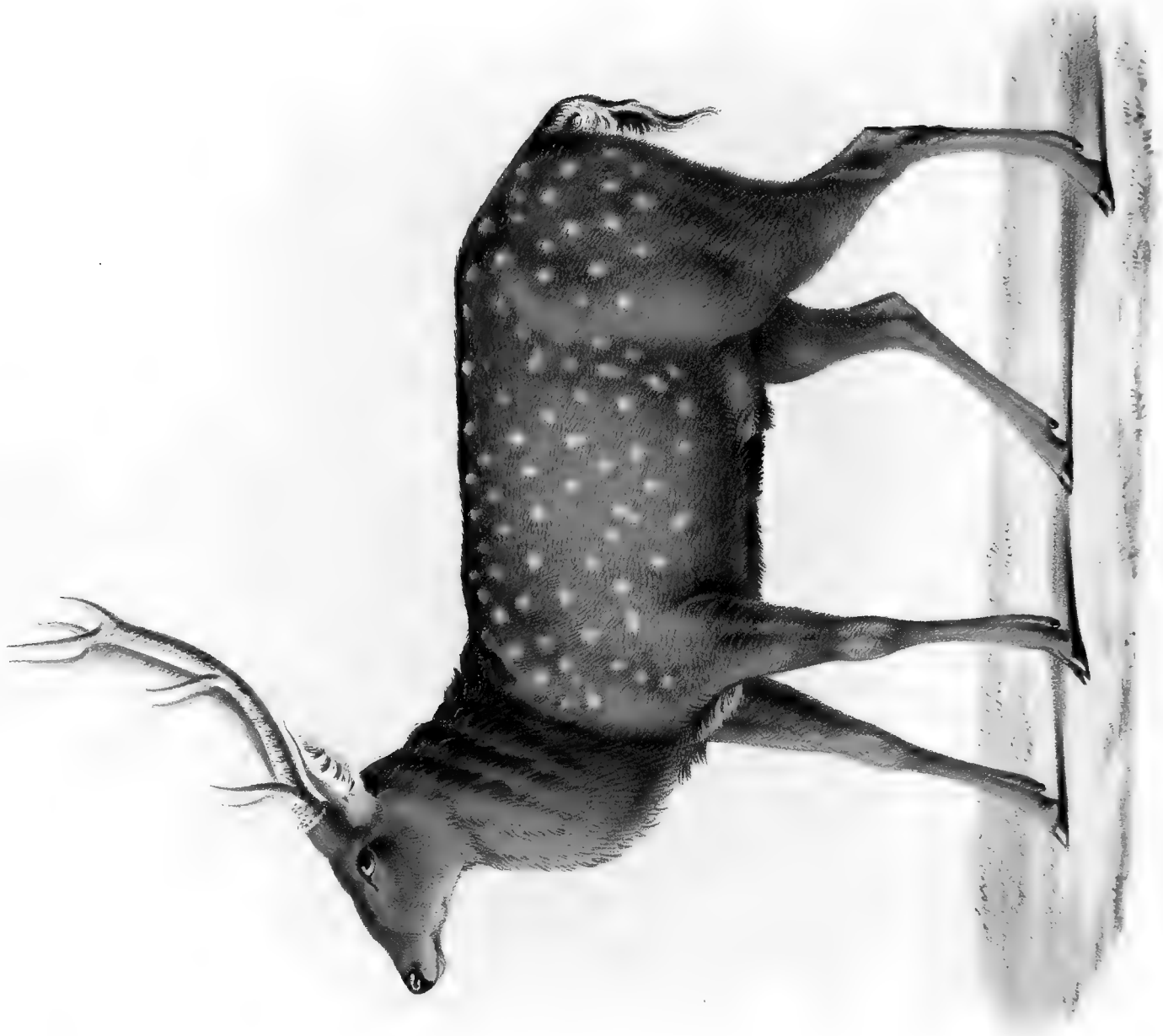




PLANCHE 22.

Cervus Mandarinus (A. Milne Edwards) dans son pelage d'hiver, d'après le même individu que celui représenté dans la planche précédente.



PLANCHE 23.

Antilope caudata (A. Milne Edwards), mâle, adulte, provenant des régions montagneuses des environs de Pékin.

Les Chinois désignent cet Antilope sous le nom de *Chan-iang* ou Chèvre des montagnes. Plusieurs exemplaires de cette espèce ont été envoyés au Muséum, d'abord par M. l'abbé A. David, puis par M. Fontanier.



Red Deer



PLANCHE 23^A.

FIG. 1. — Tête osseuse du Chan-iang, ou **Antilope Caudata** (A. Milne Edwards), individu encore jeune provenant des régions montagneuses des environs de Pékin.

FIG. 2. — Portion antérieure de la tête osseuse d'un individu adulte montrant la disposition des molaires supérieures.

FIG. 3. — Mâchoire inférieure du même individu, vue en dessus.

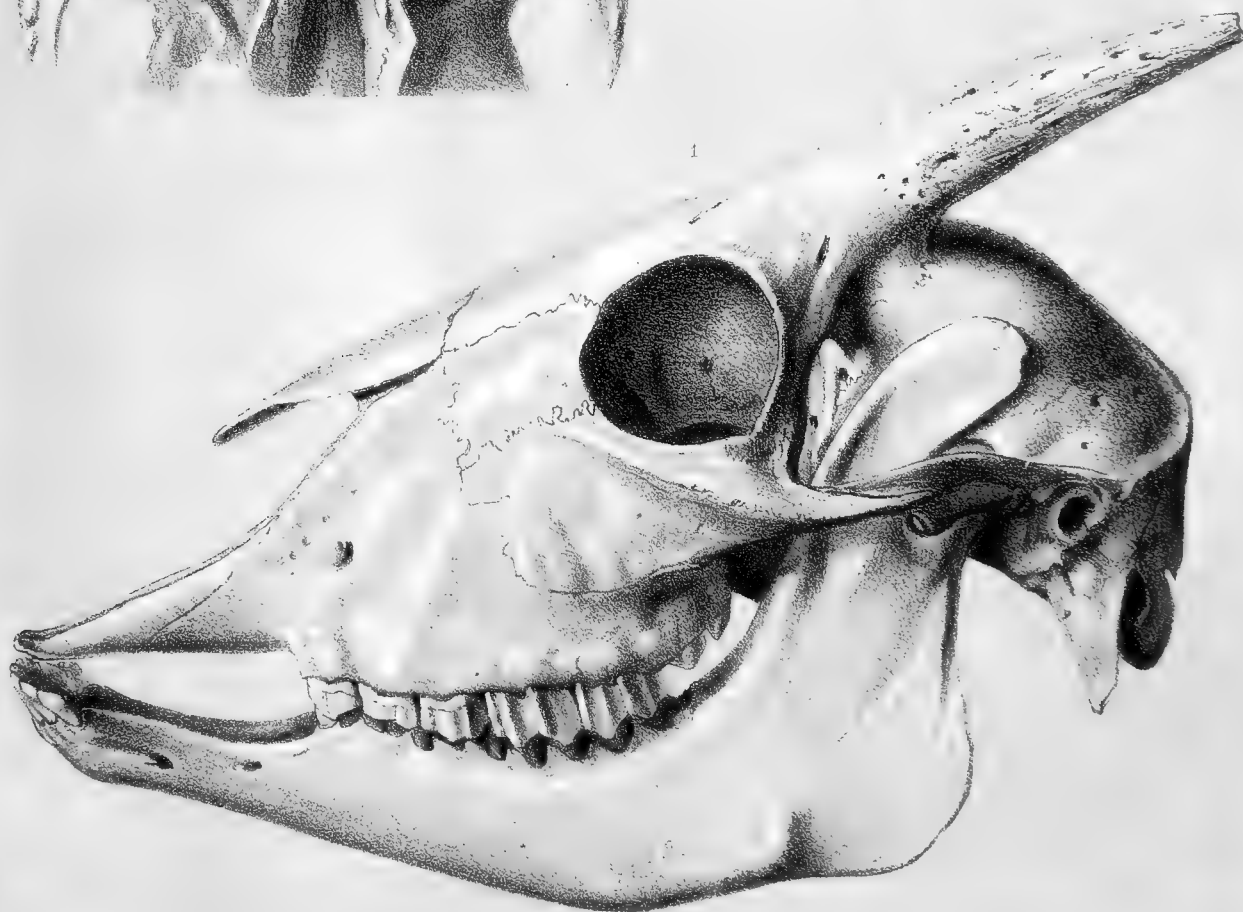
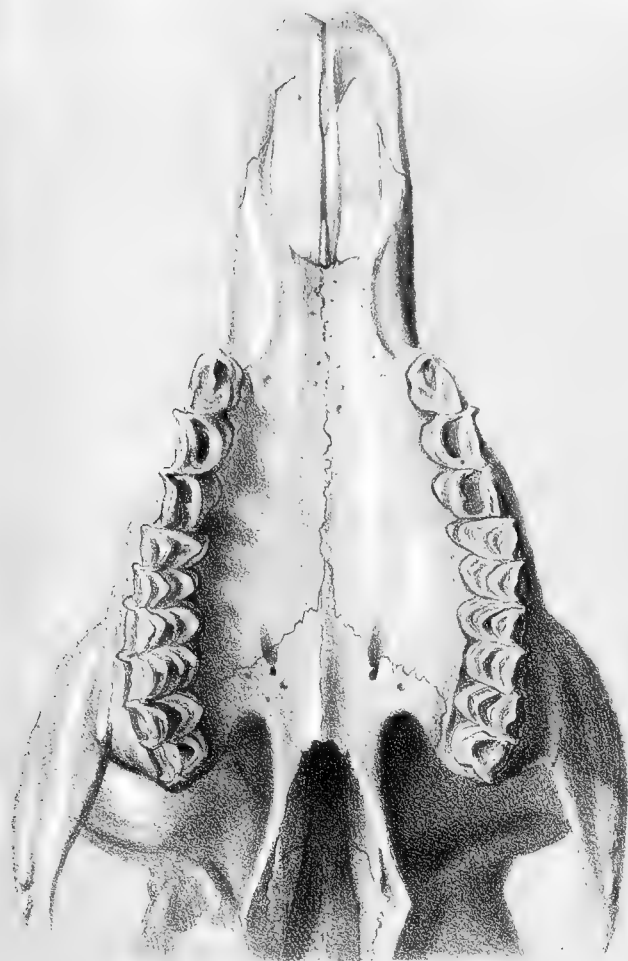




PLANCHE 23^B.

FIG. 1. — Tête osseuse d'un Chan-iang (**Antilope caudata**, A. Milne Edwards), individu presque adulte provenant des environs de Pékin. L'un des axes frontaux a été scié pour montrer la disposition des sinus.

FIG. 1^a. — Face postérieure de la tête.

FIG. 2. — Tête osseuse d'un Goral (**Antilope Goral**, F. Cuvier), individu adulte provenant du Népal. L'un des axes frontaux a été scié.

FIG. 2^a. — Portion antérieure de la face vue en dessous et montrant la disposition des os intermaxillaires.

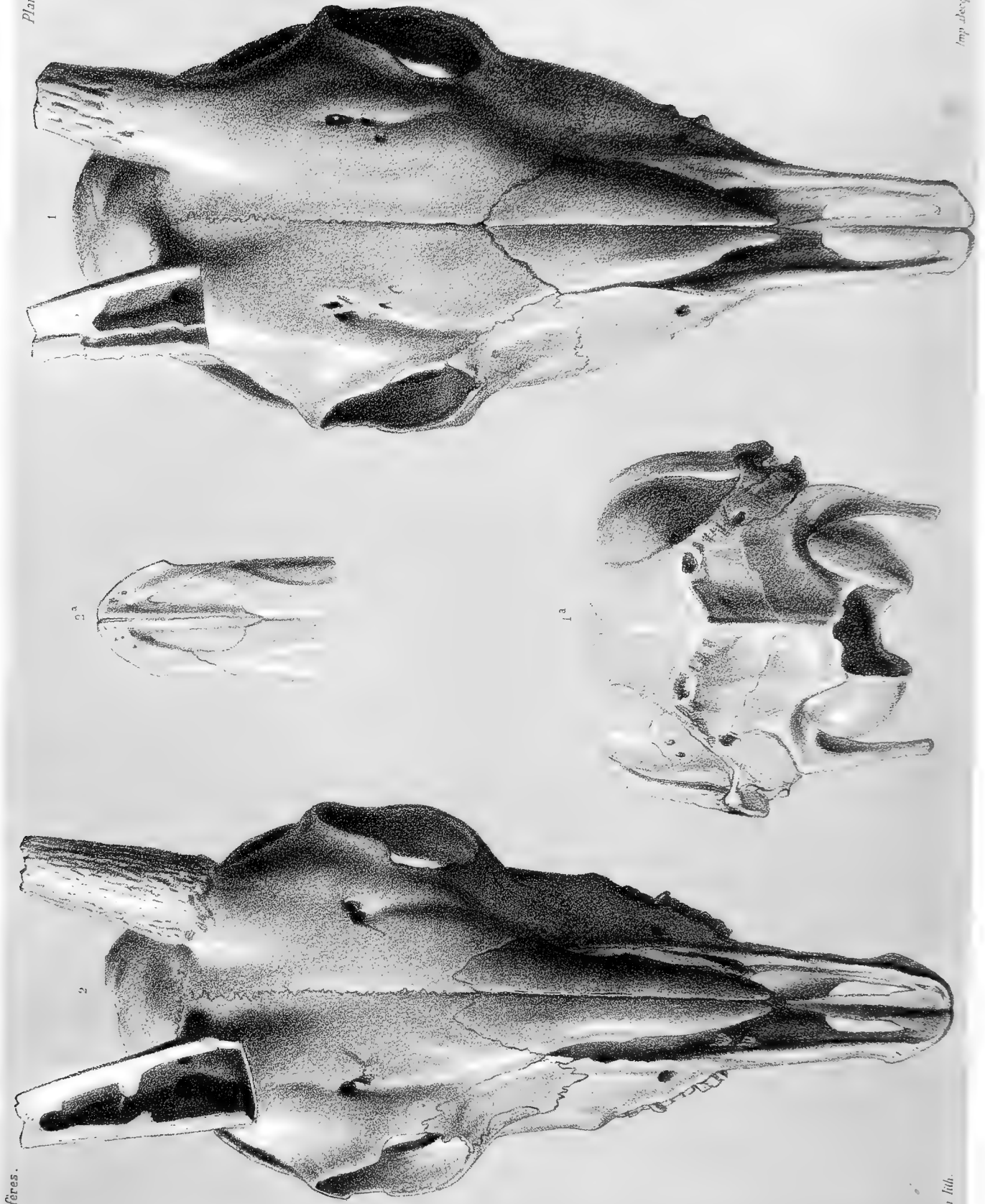




PLANCHE 24.

Meles leucolæmus (A. Milne Edwards), femelle, très-adulte, provenant des régions montagneuses des environs de Pékin, et faisant partie des collections envoyées de Chine par M. l'abbé Armand David.





PLANCHE 25.

Meles leptorynchus (A. Milne Edwards), mâle, très-adulte, provenant des environs de Pékin, et faisant partie des collections rapportées de Chine par M. Fontanier.

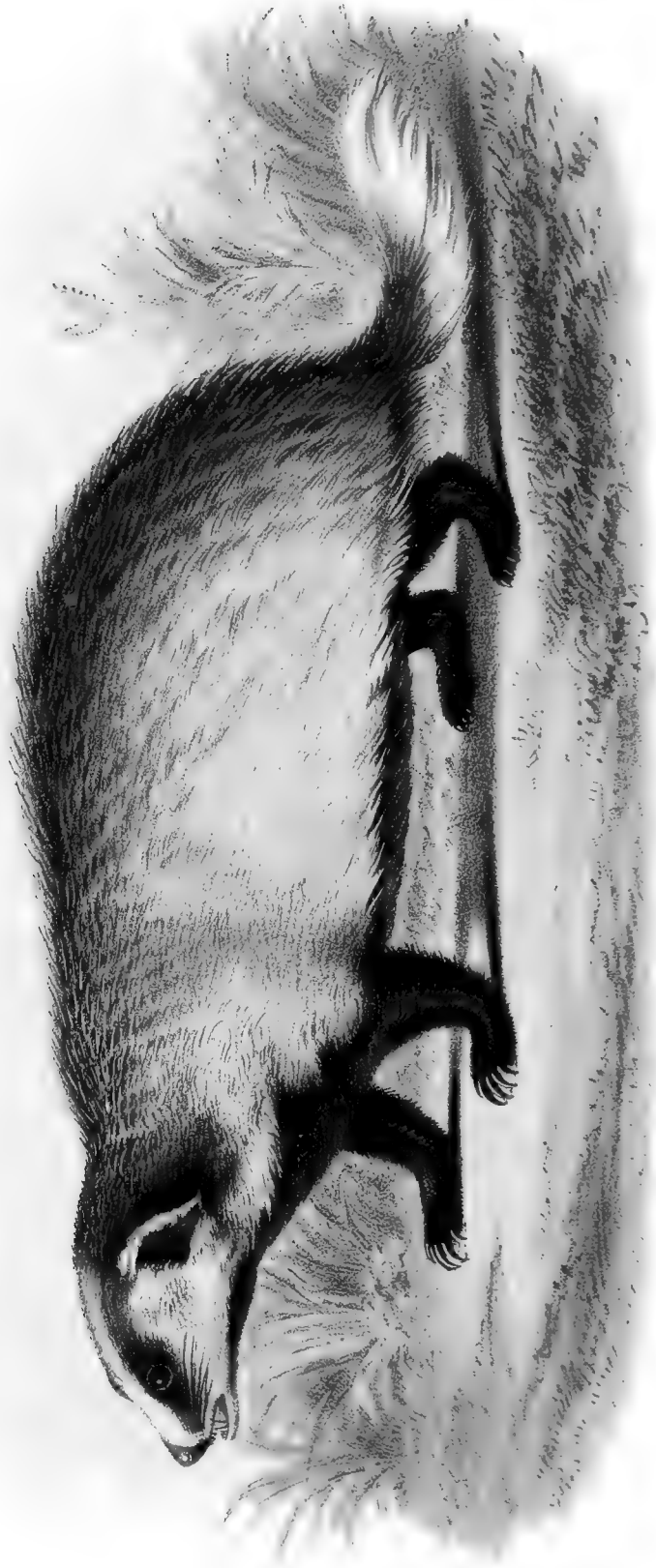


PLANCHE 26.

- FIG. 1. — Tête osseuse du **Meles leucolæmus** (A. Milne Edwards), vue de côté et de grandeur naturelle.
- FIG. 2. — Portion antérieure de la mâchoire inférieure de la même espèce, montrant la surface triturante de la série des dents, à l'exception de la dernière molaire qui manque.
- FIG. 3. — Tête osseuse du **Meles leptorynchus** (A. Milne Edwards), vue de côté et de grandeur naturelle.
- FIG. 4. — Portion antérieure de la mâchoire inférieure de la même espèce, montrant la surface triturante de la série des dents.

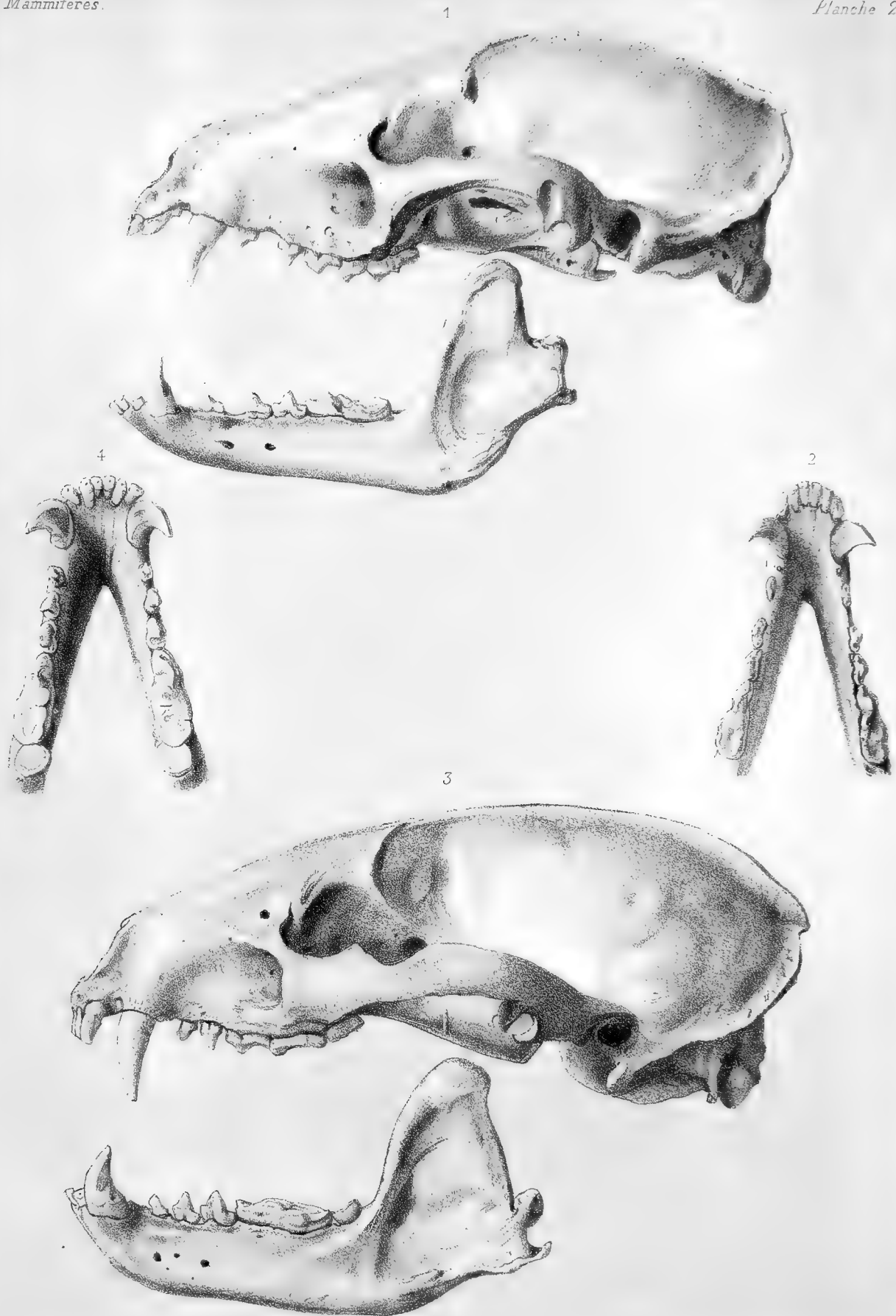


PLANCHE 27.

- FIG. 1. — Tête osseuse du **Meles leucolæmus**, vue par sa face inférieure et de grandeur naturelle. La portion antérieure du basilaire et postérieure du sphénoïde sont brisées.
- FIG. 2. — Museau vu en avant, pour montrer la position relative des canines et des incisives.
- FIG. 3. — Tête osseuse du **Meles leptorhynchus**, vue par sa face antérieure (de grandeur naturelle).
- FIG. 4. — Museau vu en avant, pour montrer la position relative des canines et des incisives.
- FIG. 5. — Tête osseuse du **Meles taxus** de France, femelle et adulte, vue par sa face inférieure et de grandeur naturelle.

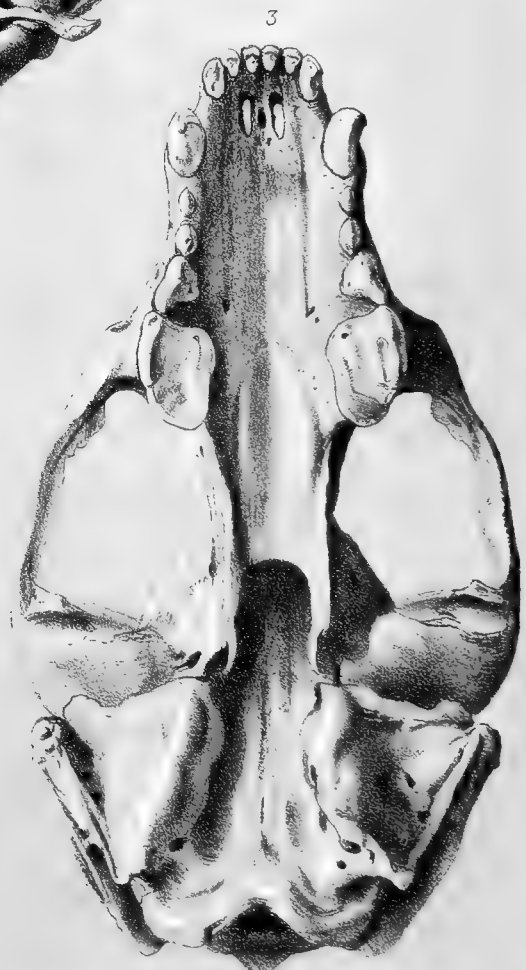
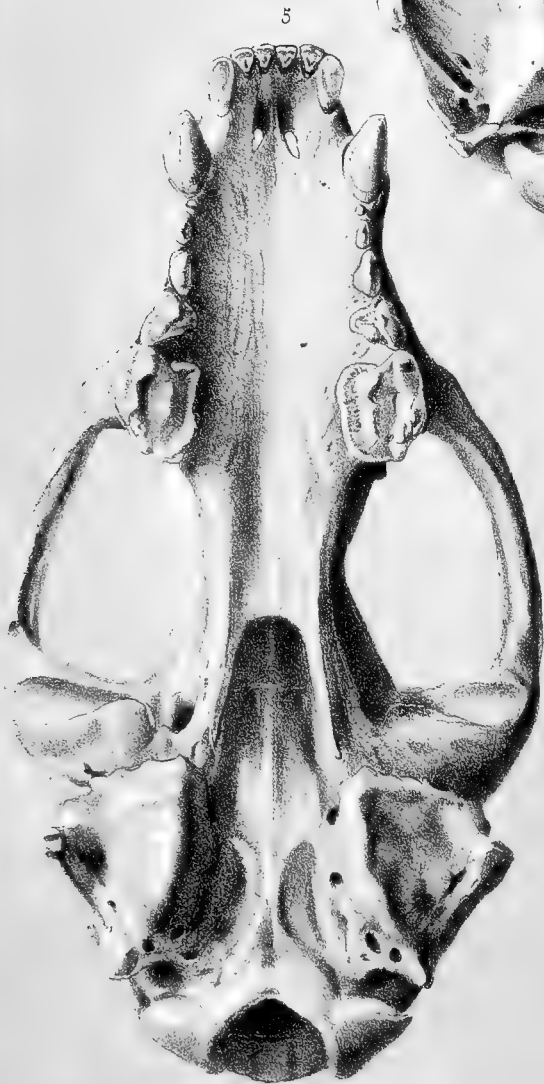


PLANCHE 28.

- FIG. 1. — Tête osseuse du **Meles leucolœmus**, vue par sa face supérieure (de grandeur naturelle).
- FIG. 2. — Crâne vu par sa face postérieure. Le bord antérieur du trou occipital est brisé.
- FIG. 3. — Tête osseuse du **Meles leptorynchus**, vue par sa face supérieure (de grandeur naturelle).
- FIG. 4. — Crâne vu par sa face postérieure.
- FIG. 5. — Tête osseuse du **Meles taxus** d'Europe, femelle et adulte, vue par sa face supérieure.



PLANCHE 29.

Felis Fontanierii (A. Milne Edwards). Panthère femelle pas encore tout à fait adulte, provenant des environs de Pékin et rapportée par M. Fontanier.





PLANCHE 30.

Felis Fontanierii (A. Milne Edwards), Panthère mâle, adulte, provenant des environs de Pékin, et rapportée par M. Fontanier.

Le Muséum a récemment reçu de M. l'abbé Armand David la peau d'un autre individu de la même espèce.

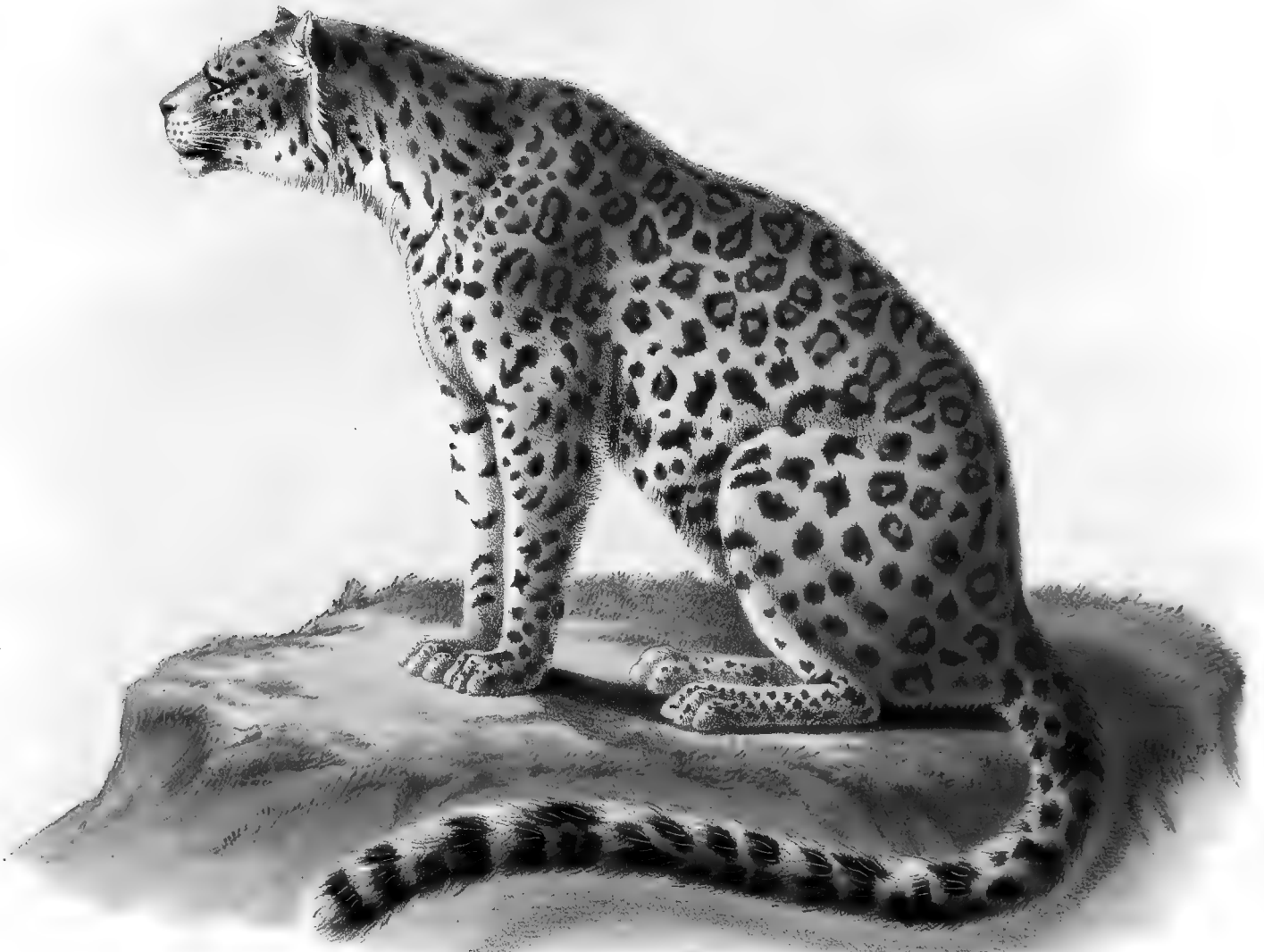


PLANCHE 31.

Tête osseuse du **Felis Fontanierii** (A. Milne Edwards) provenant de l'individu mâle adulte représenté sur la planche 30, et rapporté des environs de Pékin par M. Fontanier.

Cette figure est de grandeur naturelle.

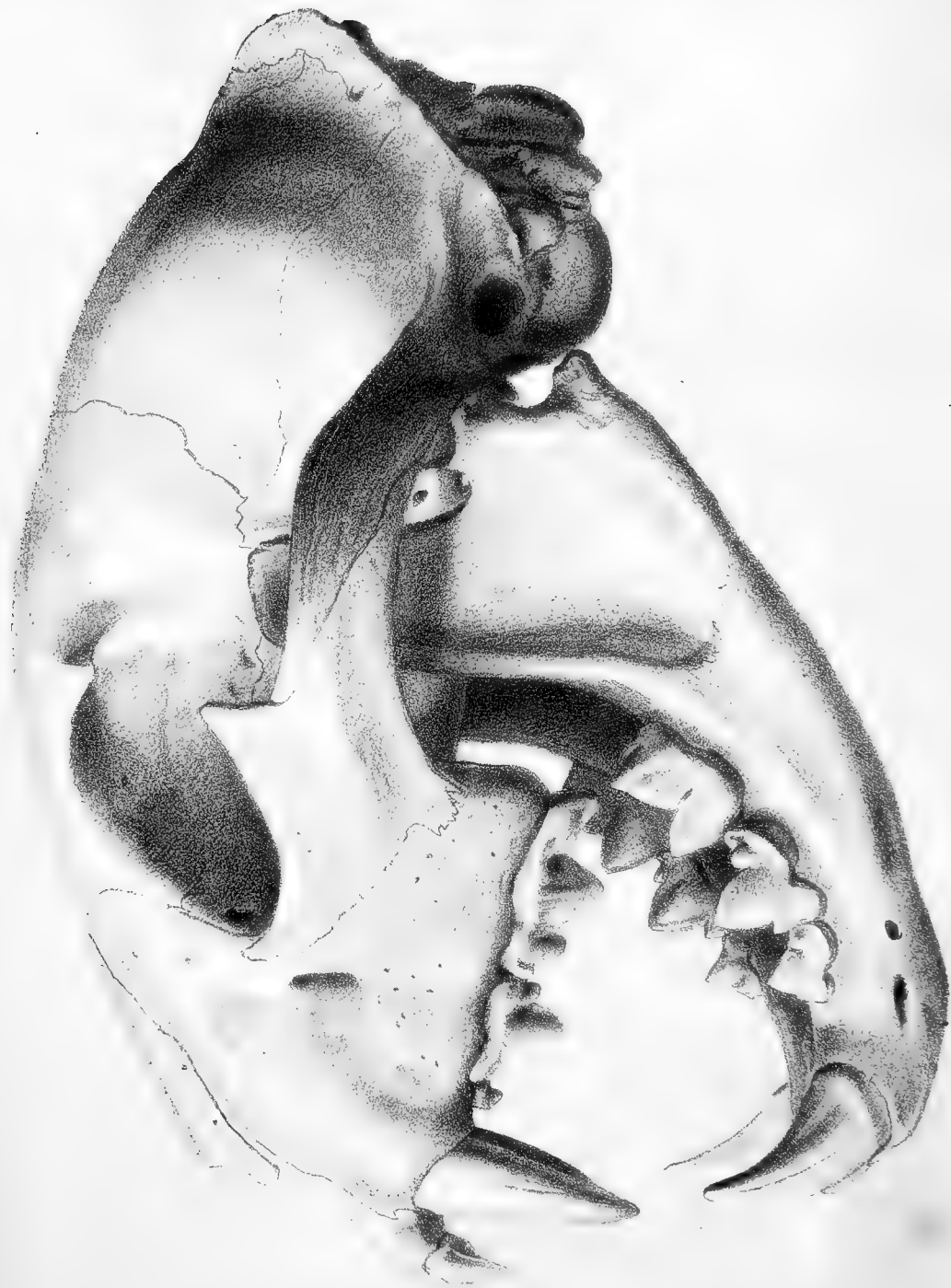


PLANCHE 31A.

Chat à petites oreilles (**Felis microtis**, A. Milne Edwards), espèce provenant des environs de Pékin et de la Mongolie chinoise, et faisant partie des collections envoyées au Muséum par M. Fontanier.

(Cette figure est réduite de trois cinquièmes.)



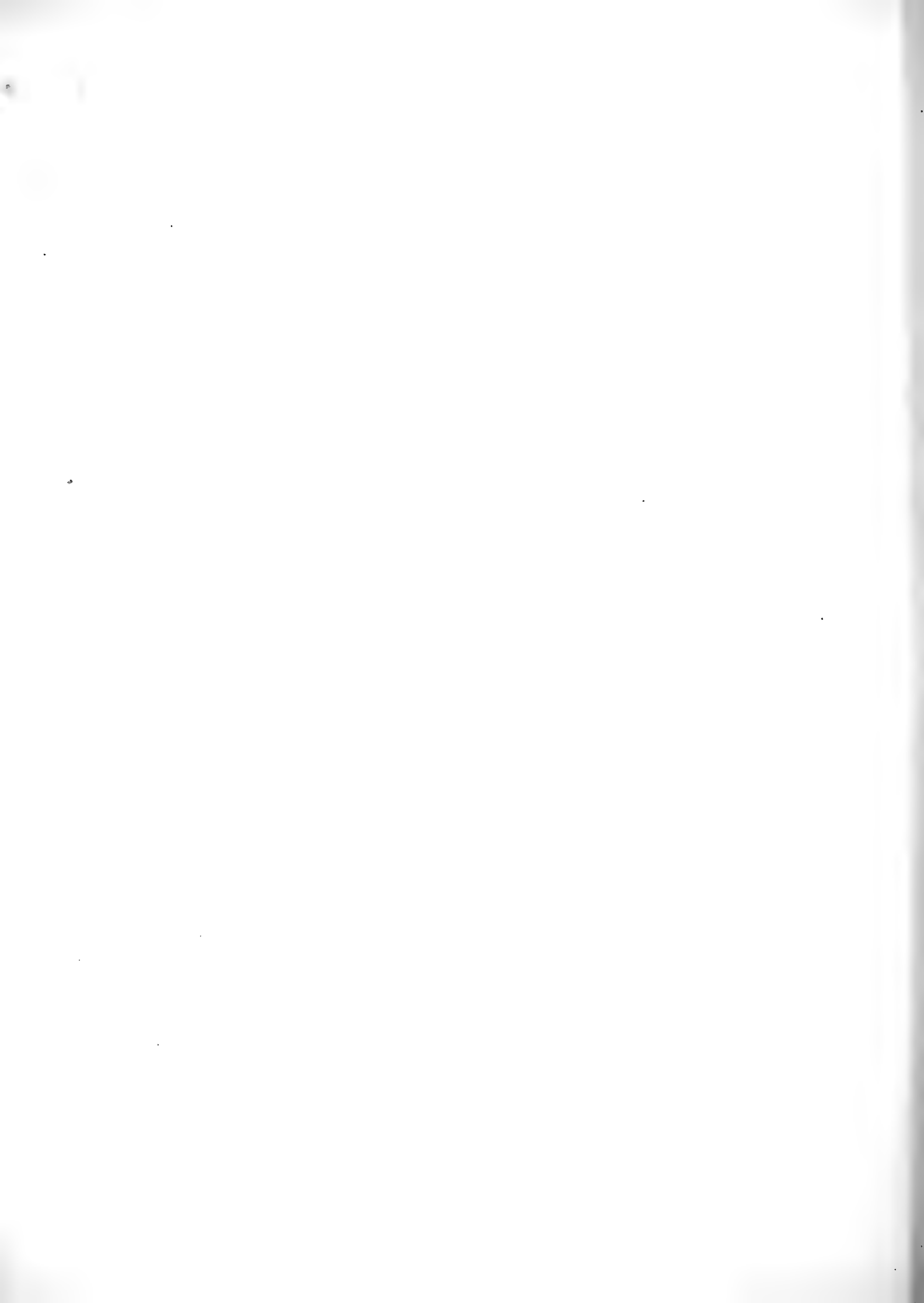


PLANCHE 31^r.

FIG. 1. — Tête osseuse du Chat à petites oreilles (**Felis microtis**, A. Milne Edwards), vue en dessus, de grandeur naturelle.

FIG. 1'. — La même, vue en dessous.

FIG. 1''. — Face postérieure du crâne.

FIG. 2. — Tête osseuse du Chat de Chine (**Felis chinensis**, Gray), vue en dessus, de grandeur naturelle.

FIG. 2'. — La même, vue en dessous.

FIG. 2''. — Face postérieure du crâne.

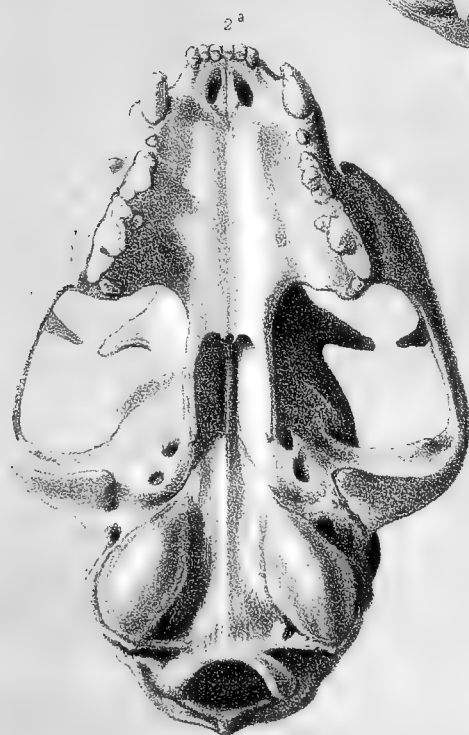
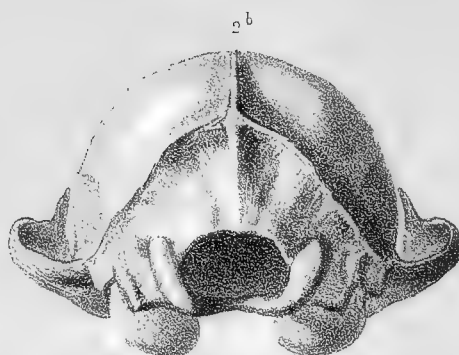
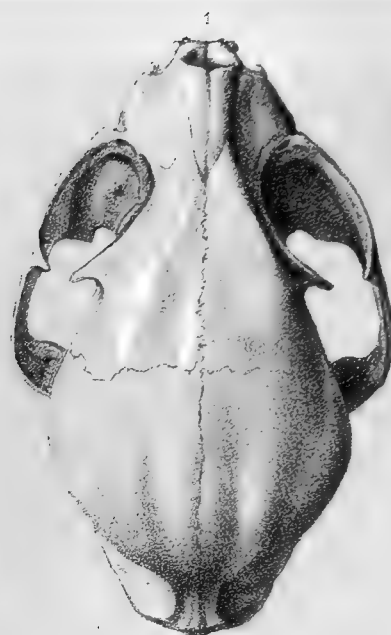




PLANCHE 31^c

Felis Manul (Pallas), individu mâle adulte tué dans la Mongolie chinoise et faisant partie des collections envoyées au Muséum par M. Fontanier.



PLANCHE 31^b.

Felis tristis (A. Milne Edwards). Individu mâle adulte, provenant de Chine
et faisant partie des collections envoyées au Muséum par M. Fontanier.



PLANCHE 32.

Macacus Teheliensis (A. Milne Edwards), femelle presque adulte, provenant de la cordillère de l'est de la province du Tché-ly, et faisant partie des collections rapportées au Muséum par M. Fontanier.

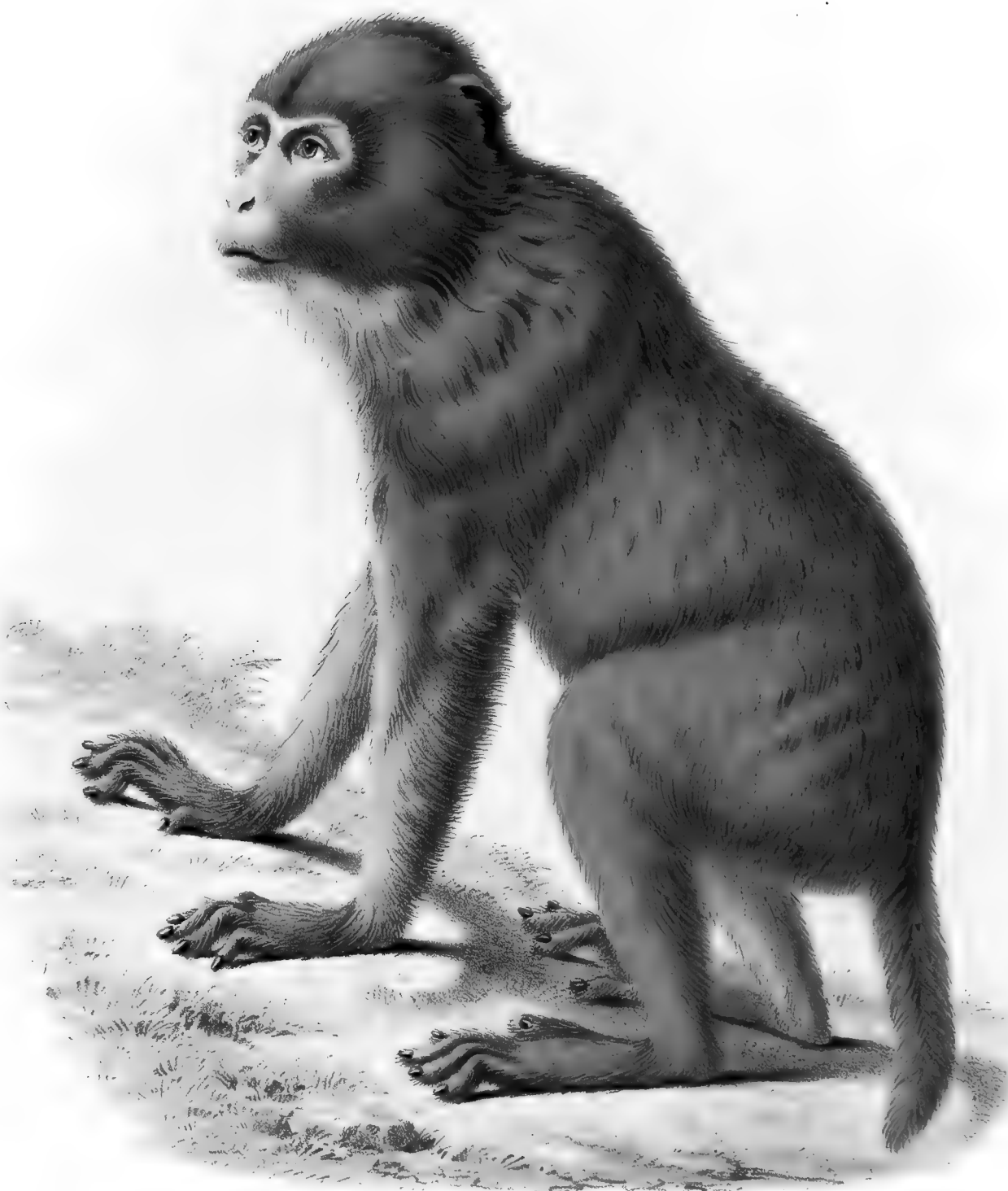


PLANCHE 33.

FIG. 1. — Tête osseuse du **Macacus Tcheliensis** (A. Milne Edwards). femelle, presque adulte, provenant de la cordillère de l'est de la province du Tché-ly (de grandeur naturelle).

FIG. 2. — La même, vue en dessus.

FIG. 3. — La même, vue en dessous. On peut voir sur cette figure que la dernière vraie molaire ne s'est pas encore montrée au dehors.

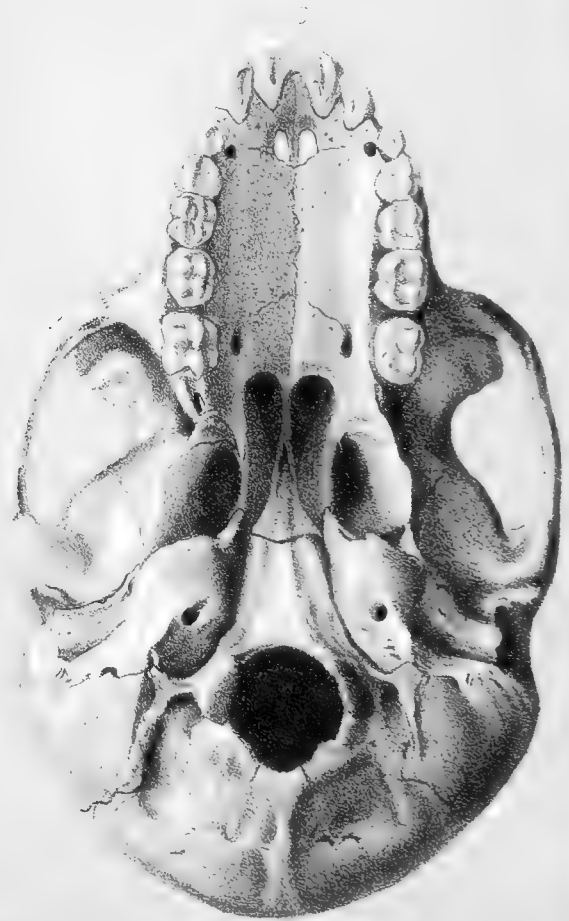


PLANCHE 34.

Macaque du Tibet (**Macacus Tibetanus**, A. Milne Edwards), individu mâle très-adulte,
provenant des montagnes neigeuses de la principauté de Moupin.

(Cette figure est réduite des $\frac{3}{4}$ de la grandeur naturelle.)



PLANCHE 35.

Tête osseuse d'un mâle très-adulte du **Macacus tibetanus** (A. Milne Edwards),
espèce découverte par M. l'abbé David dans les montagnes de la principauté
de Moupin.

Le crâne est vu de côté et représenté de grandeur naturelle.

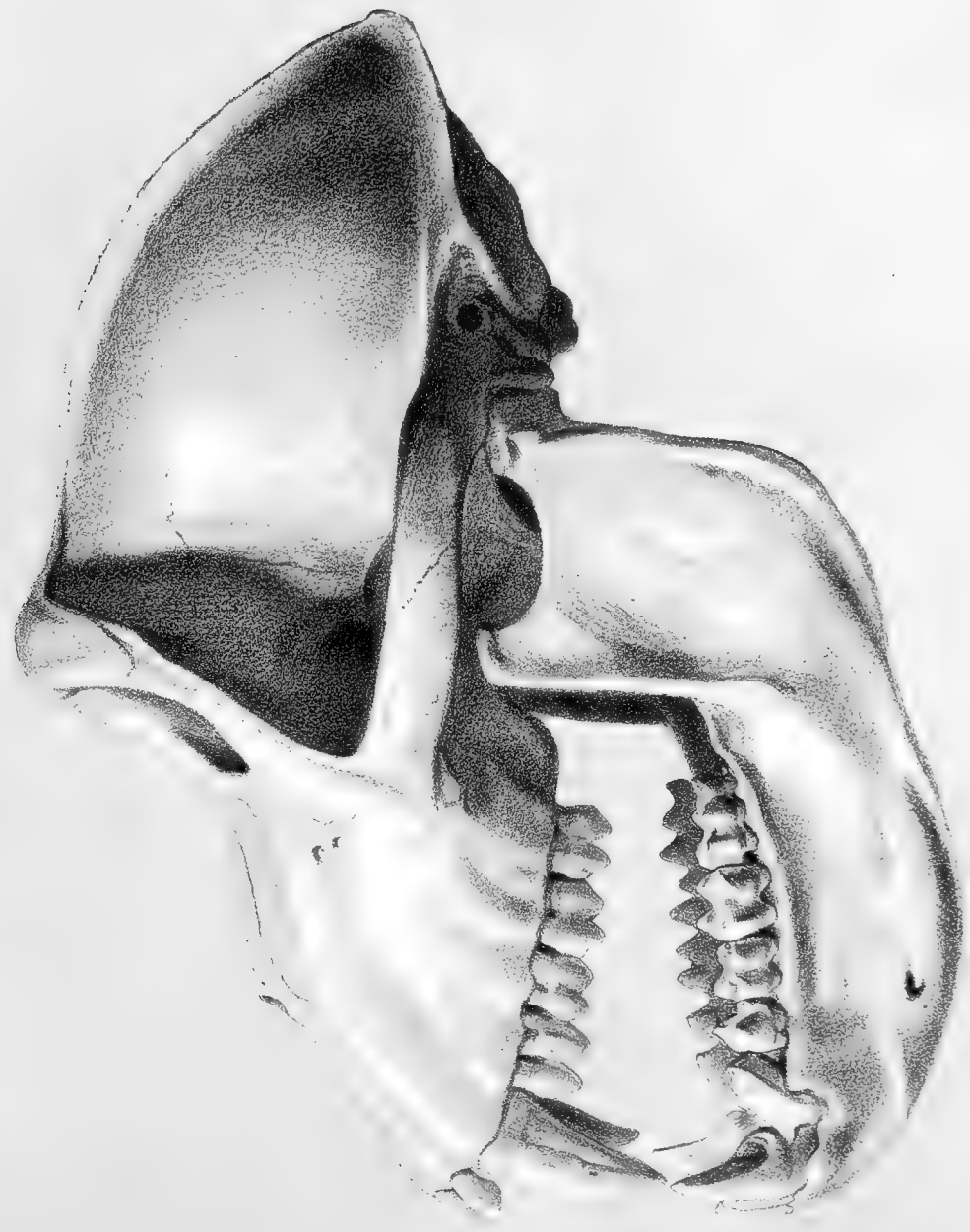


PLANCHE 36.

Rhinopithecus Roxellanae (A. Milne Edwards), femelle très-adulte provenant des montagnes de la principauté de Moupin (Thibet oriental) et faisant partie des collections formées par M. l'abbé A. David (1/4 de grandeur naturelle).

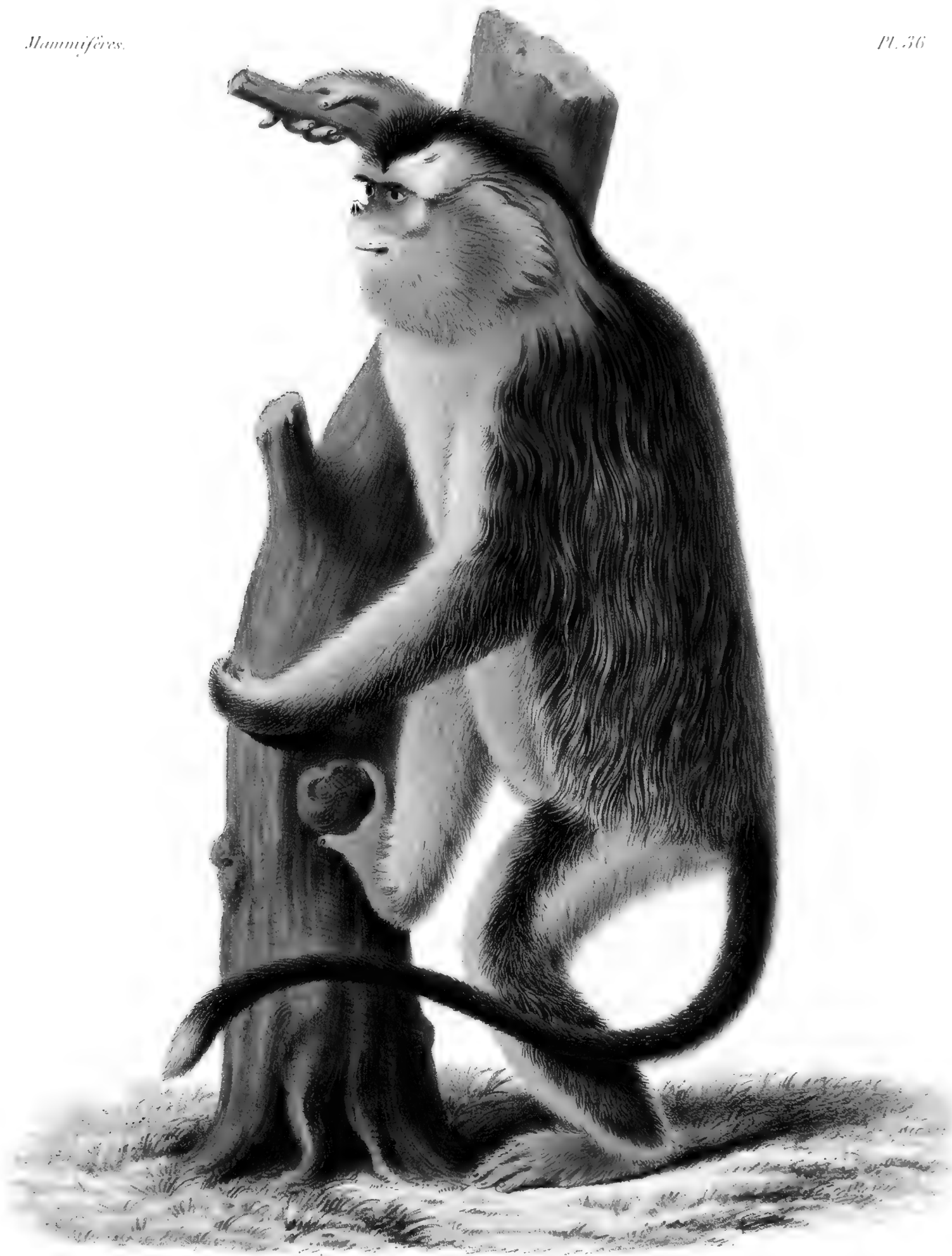


PLANCHE 37.

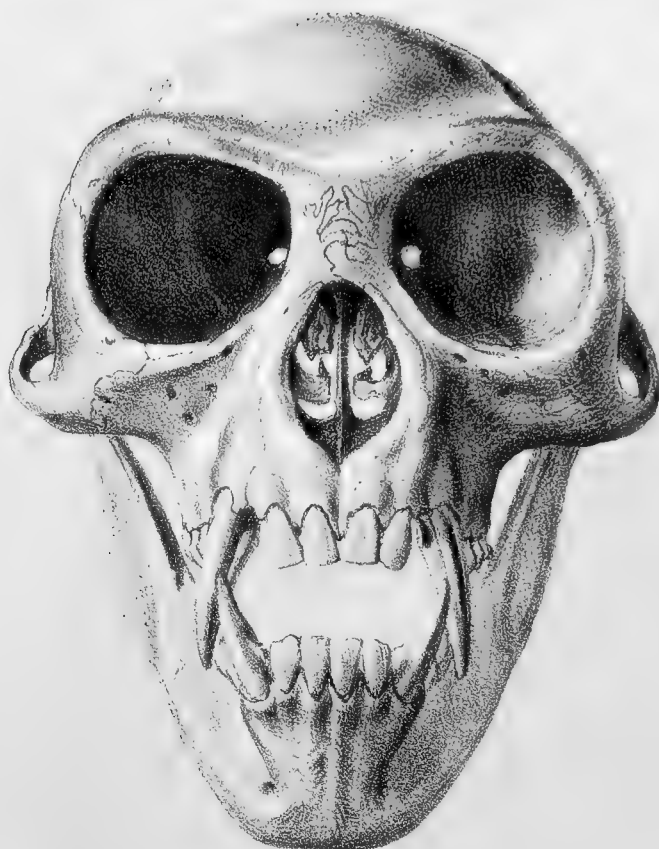
FIG. 1. — Tête osseuse d'un **Rhinopithecus Roxellanae** (A. Milne Edwards), mâle adulte, vue par sa face antérieure.

FIG. 2. — Tête osseuse d'une femelle adulte, vue en dessus.

FIG. 3. — Face inférieure de la même.

(Ces figures sont représentées de grandeur naturelle.)

1



2



3

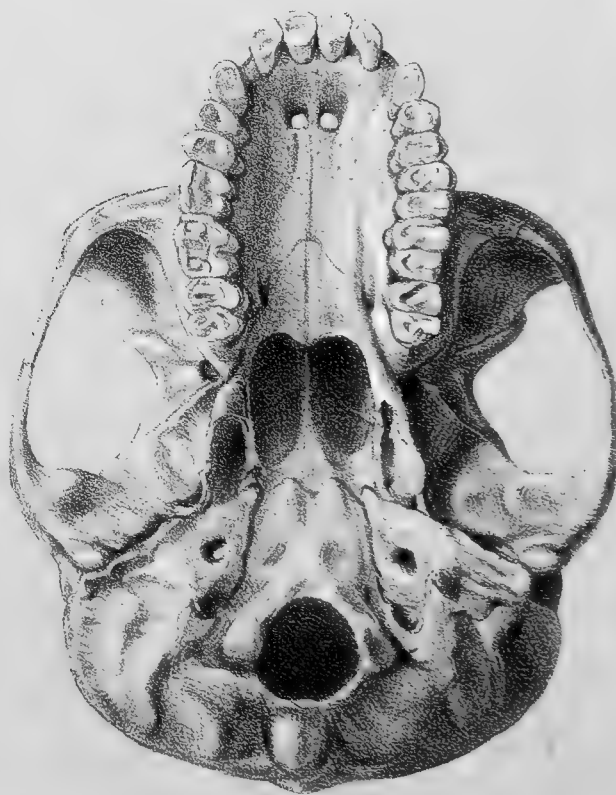


PLANCHE 37^A.

FIG. 1. — **Rhinolophus larvatus** (A. Milne Edwards), femelle adulte découverte dans la principauté de Moupin, par M. l'abbé A. David.

FIG. 1^a. — Tête de la même espèce vue de profil.

FIG. 2. — **Vespertilio moupinensis** (A. Edwards). Chauve-souris provenant de la même localité et faisant partie des collections rapportées par M. l'abbé A. David.

FIG. 2^a. — Tête de la même espèce vue de profil.



PLANCHE 37^B.

FIG. 1. — **Murina aurata** (A. Milne Edwards), mâle adulte provenant du Tibet oriental et rapporté par M. l'abbé A. David.

FIG. 1^a. — Tête de la même espèce vue de profil.

FIG. 1^b. — Museau vu en avant, un peu grossi et montrant les narines tubulaires.

FIG. 2. — **Murina leucogaster** (A. Edwards), mâle adulte provenant du Tibet oriental et rapporté par M. l'abbé A. David.

FIG. 2^a. — Tête vue de profil.

FIG. 2^b. — Museau vu en dessous, un peu grossi et montrant les narines tubulaires.

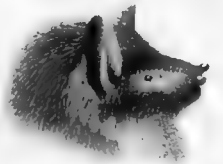
FIG. 2^c. — Museau vu en dessus.



1^a



1^b



2^a



2^b



2^c



1



PLANCHE 37^c.

- FIG. 1. — Tête osseuse, grossie, du **Rhinolophus larvatus** (A. Milne Edwards).
FIG. 1^a. — Face supérieure de la tête.
FIG. 1^b. — Face inférieure de la tête.
FIG. 1^c. — Mâchoire inférieure.
FIG. 1^d. — Incisives et canines de la mâchoire supérieure.
FIG. 1^e. — Incisives et canines de la mâchoire inférieure.
FIG. 1^f. — Tête osseuse de grandeur naturelle.
FIG. 2. — Tête osseuse de grandeur naturelle de la **Murina aurata** (A. Milne Edwards).
FIG. 2^a. — Partie antérieure de la tête grossie et vue de profil, pour montrer la série des dents.
FIG. 2^b. — Mâchoire supérieure.
FIG. 2^c. — Incisives de la mâchoire supérieure.
FIG. 3. — Tête osseuse, de grandeur naturelle, de la **Murina leucogaster** (A. Milne Edwards).
FIG. 3^a. — Partie antérieure de la tête grossie et vue de profil, pour montrer la série des dents.
FIG. 3^b. — Série des dents de la mâchoire supérieure.
FIG. 3^c. — Série des dents de la mâchoire inférieure.
FIG. 3^d. — Incisives et canines vues par leur face antérieure.
FIG. 4. — Tête osseuse de grandeur naturelle du **Vespertilio moupinensis** (A. Milne Edwards).
FIG. 4^a. — Partie antérieure de la tête grossie et vue de profil, pour montrer la série des dents.
FIG. 4^b. — Dents de la mâchoire supérieure.
FIG. 4^c. — Incisives et canines de la mâchoire supérieure.

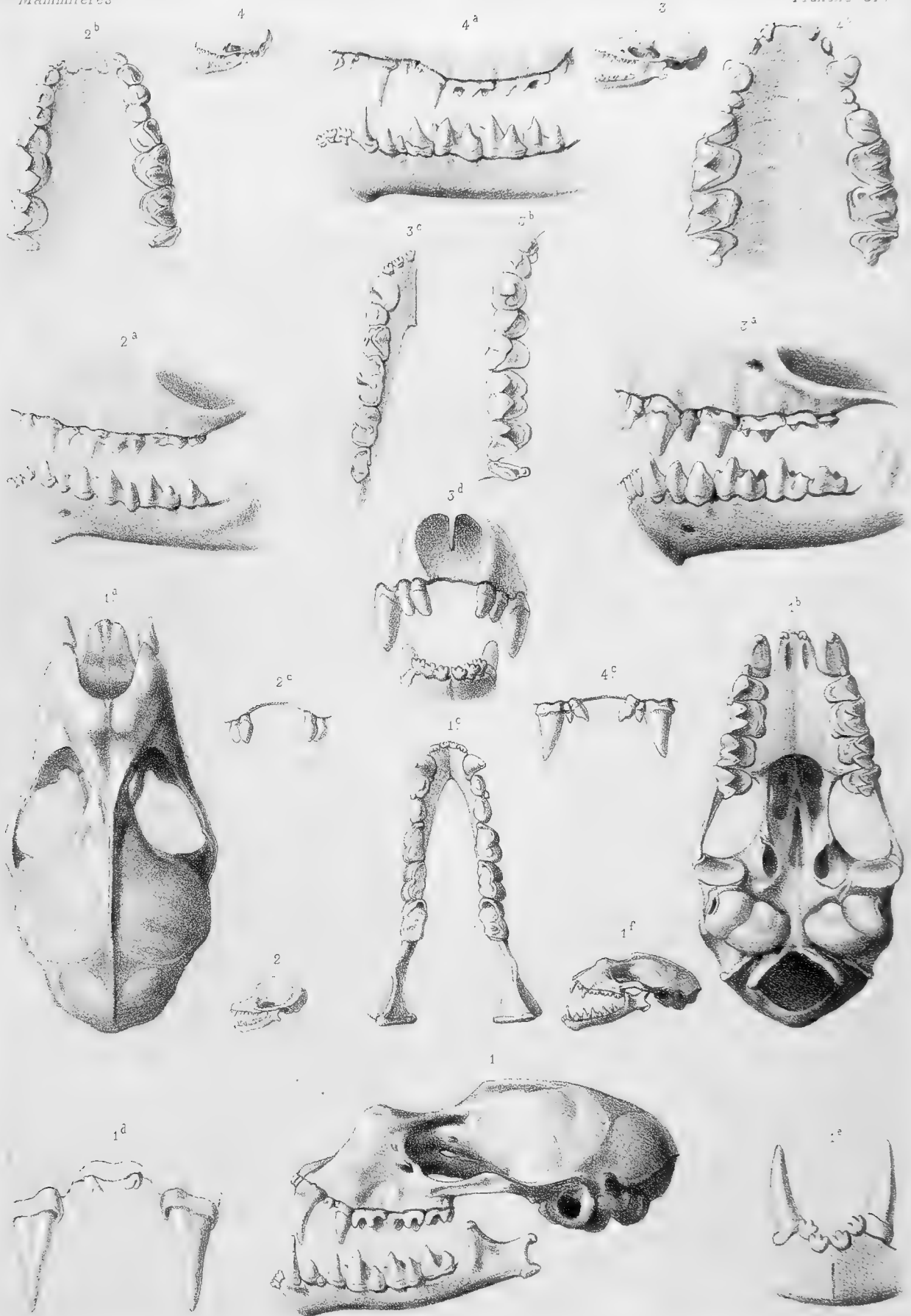




PLANCHE 38.

- FIG. 1. — **Anourosorex squamipes** (A. Milne Edwards), de grandeur naturelle.
Animal habitant le Tibet oriental et faisant partie des collections
envoyées au Muséum d'histoire naturelle par M. l'abbé A. David.
- FIG. 2. — **Talpa longirostris** (A. Milne Edwards), de grandeur naturelle. Même
provenance.



1.



2.

PLANCHE 38^A.

- FIG. 1. — Tête osseuse, grossie, de l'**Anourosorex squamipes** (A. Milne Edwards).
FIG. 1^a. — Face supérieure de la même.
FIG. 1^b. — La même de grandeur naturelle.
FIG. 1^c. — Dents de la mâchoire supérieure.
FIG. 1^d. — Mâchoire inférieure.
FIG. 1^e. — Incisives supérieures vues en avant.
FIG. 1^f. — Museau vu en dessous et montrant la position des narines.
FIG. 1^g. — Queue vue en dessous et grossie.
FIG. 1^h. — Face supérieure de la même.
FIG. 1ⁱ. — Patte antérieure vue en dessus.
FIG. 1^j. — Patte postérieure vue en dessus.
FIG. 2. — Tête osseuse de grandeur naturelle du **Sorex Quadraticauda**.
FIG. 2^a. — Partie antérieure de la tête grossie et montrant la série dentaire.
FIG. 2^b. — Mâchoire supérieure.
FIG. 2^c. — Patte antérieure vue en dessus.
FIG. 2^d. — Patte postérieure grossie.
FIG. 3. — Tête osseuse de grandeur naturelle du **Sorex cylindricauda**.
FIG. 3^a. — Partie antérieure de la tête grossie et montrant la série des dents.
FIG. 3^b. — Mâchoire supérieure.
FIG. 3^c. — Patte antérieure vue en dessus.
FIG. 3^d. — Patte postérieure vue en dessus.

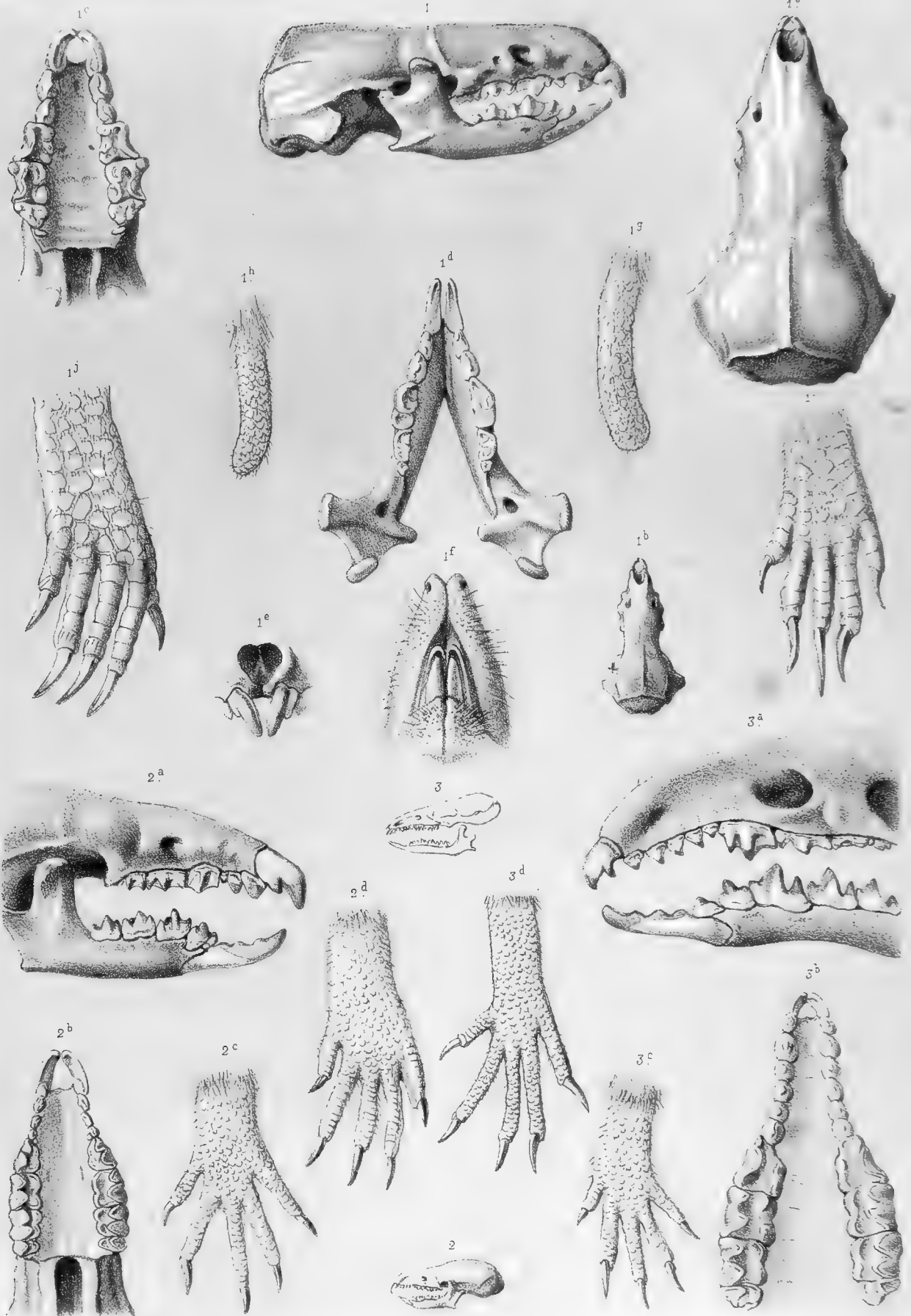


PLANCHE 38^b.

FIG. 1. — **Crocidura attenuata** (A. Milne Edwards). Musaraigne de la principauté de Moupin, représentée de grandeur naturelle, ainsi que les espèces suivantes.

FIG. 2. — **Sorex quadraticauda** (A. Milne Edwards). Musaraigne provenant du Moupin.

FIG. 3. — **Sorex cylindricauda** (A. Milne Edwards). Musaraigne provenant du Moupin.

FIG. 4. — **Scaptonyx fuscicaudatus** (A. Milne Edwards), provenant de la frontière du Khokhonor et du Sé-tchouan.

(Tous ces Insectivores font partie des collections rapportées par M. l'abbé A. David.)

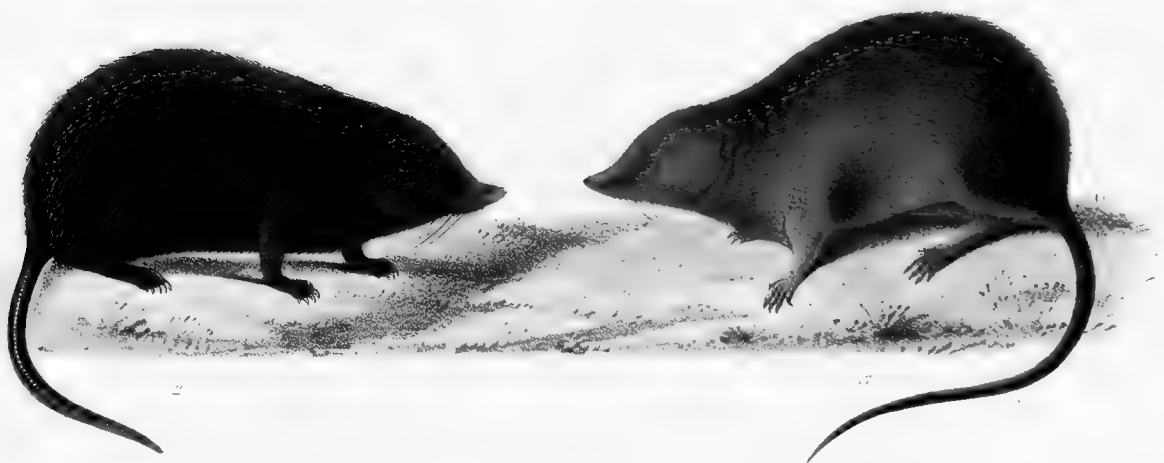




PLANCHE 39.

Nectogale elegans (A. Milne Edwards), espèce trouvée par M. l'abbé David sur les rives des torrents de la principauté de Moupin.

Ces insectivores sont représentés de grandeur naturelle ; l'un d'eux, à moitié plongé dans l'eau, montre les reflets chatoyants que prennent les poils les plus longs lorsqu'ils sont mouillés.



PLANCHE 39^A.

- FIG. 1. — Tête osseuse du **Nectogale elegans** (A. Milne Edwards) de grandeur naturelle et vue de profil.
- FIG. 1^a. — Partie antérieure de la tête grossie et montrant la série des dents.
- FIG. 1^b. — L'une des branches de la mâchoire vue en dedans.
- FIG. 1^c. — Mâchoire supérieure.
- FIG. 1^d. — Mâchoire inférieure grossie.
- FIG. 1^e. — Incisives supérieures vues en avant.
- FIG. 1^f. — Tête osseuse vue en dessus et de grandeur naturelle.
- FIG. 1^g. — Patte postérieure grossie.
- FIG. 1^h. — Face plantaire de la même.
- FIG. 1ⁱ. — Patte antérieure grossie.
- FIG. 1^j. — Face palmaire de la même.
- FIG. 1^k. — Queue de grandeur naturelle et représentée en dessous, pour montrer la disposition des bordures de poils.
- FIG. 1^l. — Poils de la bordure des pattes, grossis.
- FIG. 2. — Tête osseuse de la **Croeldura attenuata** (A. Milne Edwards) vue en dessus et de grandeur naturelle.
- FIG. 2^a. — Partie antérieure de la tête grossie et montrant la série des dents.
- FIG. 2^b. — Série des dents de la mâchoire supérieure.
- FIG. 2^c. — Série des dents de la mâchoire inférieure.

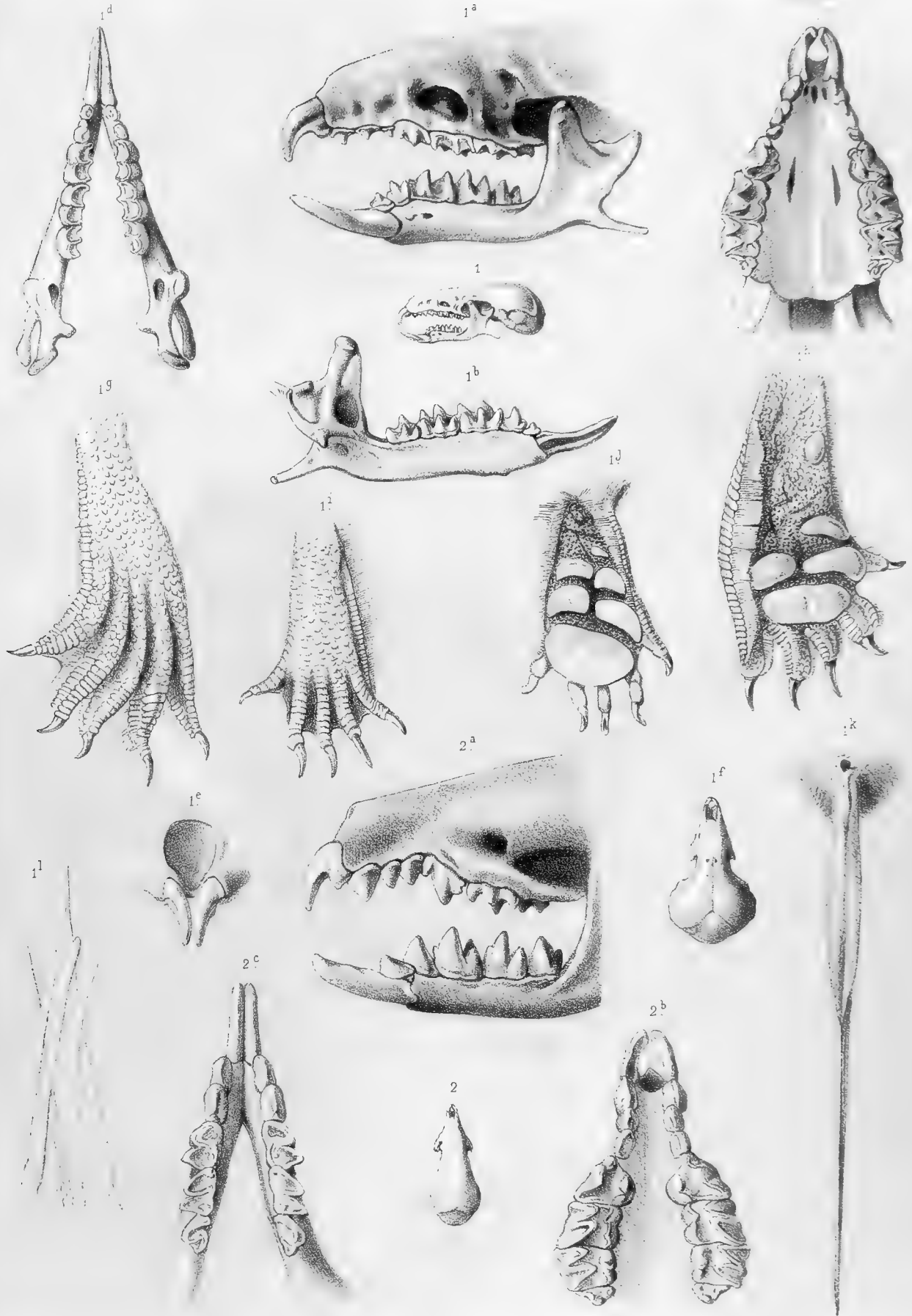




PLANCHE 40.

- FIG. 1. — **Uropsilus soricipes** (A. Milne Edwards), rapporté de la principauté de Moupin par M. l'abbé A. David et représenté de grandeur naturelle.
- FIG. 2. — **Mus Chevrieri** (A. Milne Edwards), provenant de la même localité que l'espèce précédente et représenté de grandeur naturelle.
- FIG. 3. — **Mus Ouang-Thomæ** (A. Milne Edwards), provenant du Kiang-si et rapporté par M. l'abbé A. David. (Représenté de grandeur naturelle.)



PLANCHE 40^A.

FIG. 1. — Tête osseuse d'un **Uropsilus soricipes** (A. Milne Edwards), très-adulte, vue de côté et considérablement grossie.

FIG. 1^a. — Face inférieure de la tête.

FIG. 1^b. — Face supérieure de la tête.

FIG. 1^c. — Mâchoires vues en avant et montrant la disposition des incisives.

FIG. 1^d. — Oreille de la même espèce.

FIG. 1^e. — Face supérieure du museau, s'avancant en forme de trompe.

FIG. 1^f. — Face inférieure du museau.

FIG. 1^g. — Patte antérieure vue en dessus.

FIG. 1^h. — Face palmaire de la même.

FIG. 1ⁱ. — Patte postérieure vue en dessus.

FIG. 1^j. — Face plantaire de la même.

FIG. 2. — Mâchoires du **Scaptonyx fuscicauda** (A. Milne Edwards) vues de côté et considérablement grossies.

FIG. 2^a. — Mâchoire supérieure vue en dessous.

FIG. 2^b. — Mâchoire inférieure vue en dessus.

FIG. 2^c. — Humérus vu par sa face antérieure.

FIG. 2^d. — Face postérieure du même os.

FIG. 2^e. — Sternum et clavicule de la même espèce.

Toutes ces figures sont considérablement grossies.

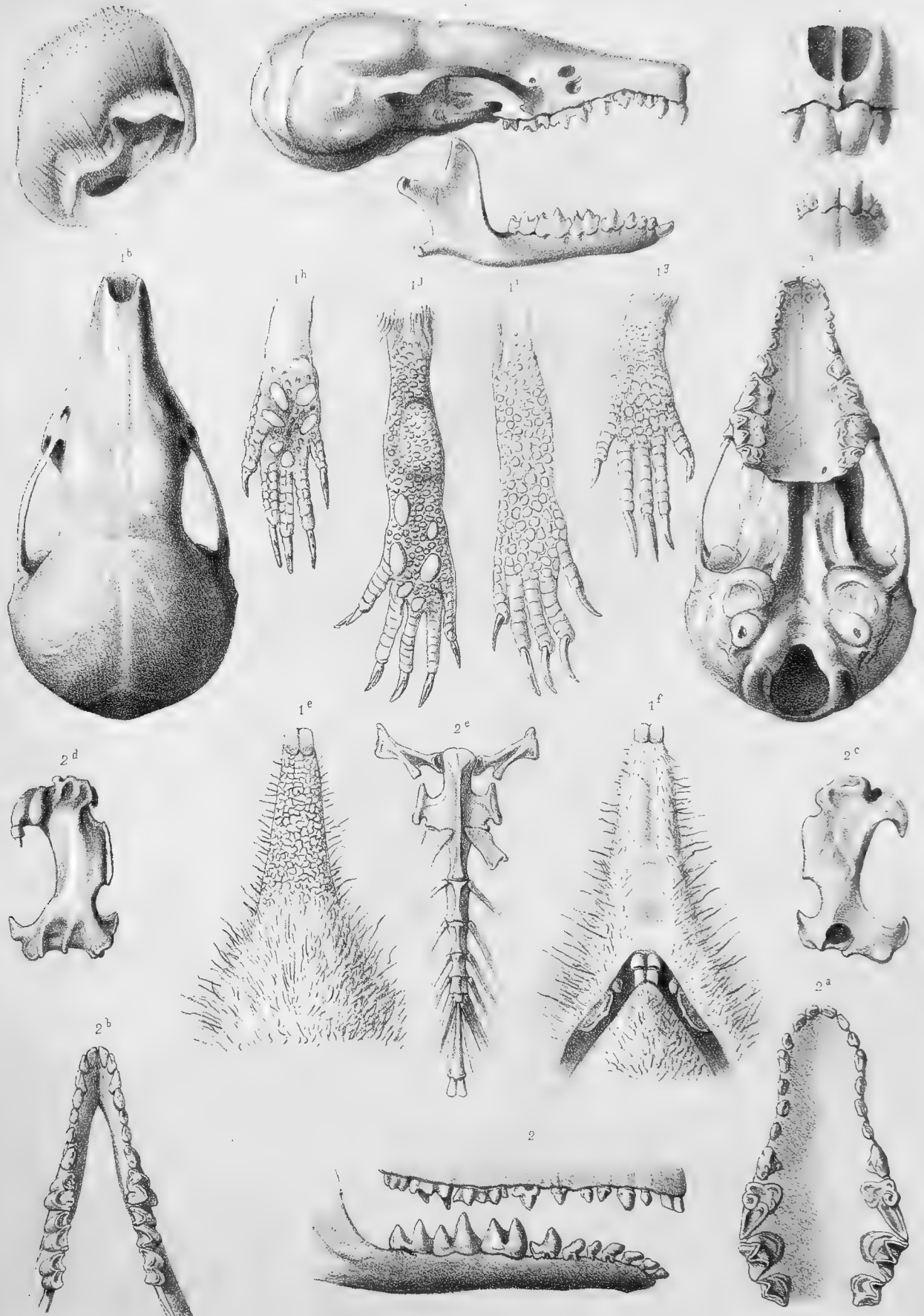


PLANCHE 41.

FIG. 1. — **Mus humiliatus** (A. Milne Edwards). Rat provenant de Pékin et de la Mongolie chinoise, où il a été trouvé par M. l'abbé A. David.

(Cette figure est réduite d'un sixième.)

FIG. 2. — **Mus Confucianus** (A. Milne Edwards). Rat à ventre blanc, provenant de la principauté de Moupin, et faisant partie des collections de M. l'abbé A. David.

(Cette figure est réduite d'un cinquième.)



2



1



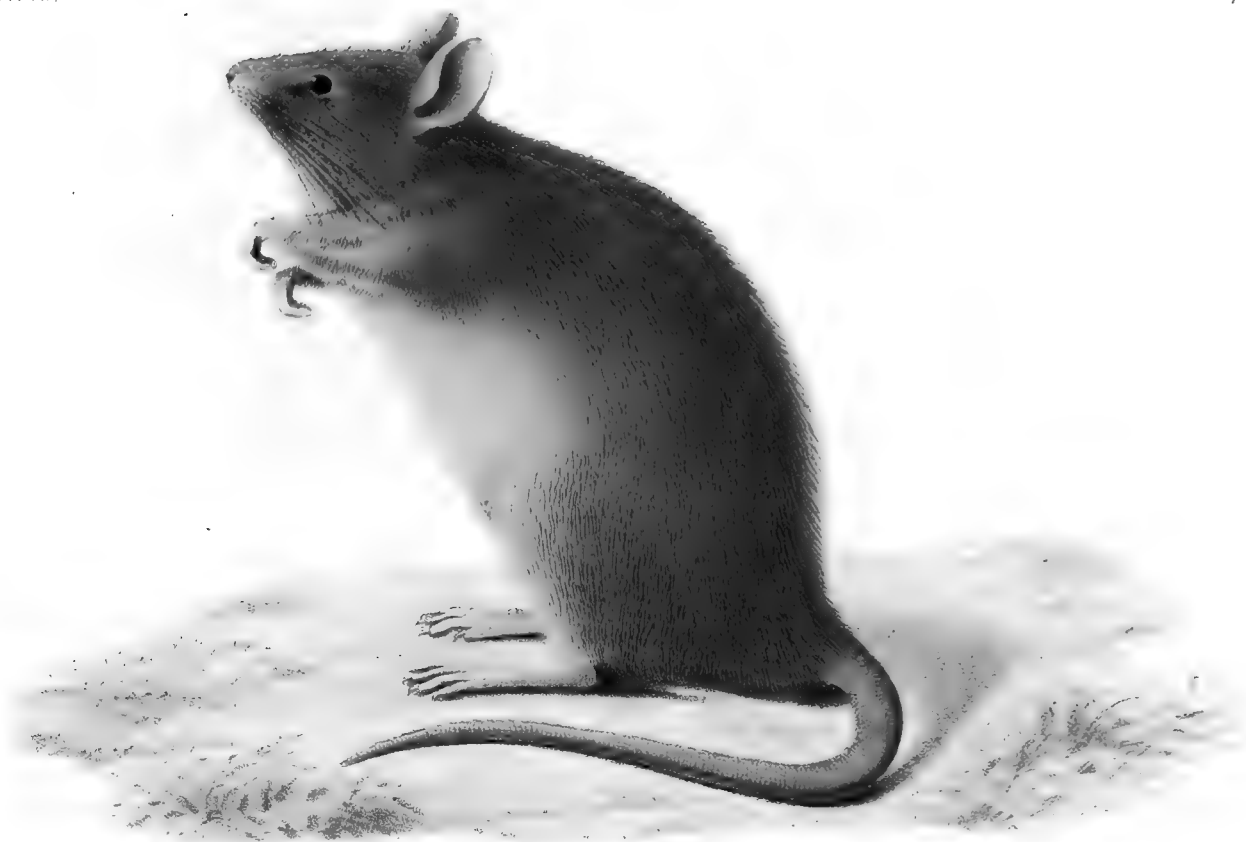
PLANCHE 42.

FIG. 1. — **Mus flavipectus** (A. Milne Edwards). Rat à ventre jaune, trouvé par M. l'abbé A. David dans les environs de Moupin.

(Cette figure est réduite d'un quart.)

FIG. 2. — **Mus grisipectus** (A. Milne Edwards). Rat à ventre gris, provenant du Sé-tchouan et faisant partie des collections recueillies par M. l'abbé A. David.

(Cette figure est réduite d'un quart.)



1



2

PLANCHE 43.

FIG. 1. — **Mus pygmaeus** (A. Milne Edwards). Rat pygmée, provenant de la principauté de Moupin, et faisant partie des collections de M. l'abbé A. David.

(De grandeur naturelle.)

FIG. 2. — **Mus plumbeus** (A. Milne Edwards). Rat trouvé par M. l'abbé A. David à Suen-hoa-fou, dans la partie occidentale du Tchély.

(Cette figure est réduite d'un cinquième.)



PLANCHE 44.

FIG. 1. — **Arvicola melanogaster** (A. Milne Edwards). Campagnol à ventre noir
trouvé par M. l'abbé A. David dans la principauté de Moupin et dans
le Se-tchouan.

(De grandeur naturelle.)

FIG. 2. — Variété brune de la même espèce et provenant des mêmes localités.



PLANCHE 45.

Pteromys albo-rufus (A. Milne Edwards). Écureuil volant adulte provenant des montagnes méridionales de la principauté de Moupin, et faisant partie des collections formées par M. l'abbé A. David.

(Cette figure est réduite de moitié.)



PLANCHE 46.

Rhizomys vestitus (A. Milne Edwards). Individu adulte trouvé par M. l'abbé
A. David sur les confins du Kokonoor.

(Cette figure est réduite d'un tiers.)



PLANCHE 46^A.

FIG. 1. — Tête osseuse de l'**Arvicola melanogaster** (A. Milne Edwards). Campagnol provenant du Sé-tchouan et du Moupin. (Cette figure est représentée de grandeur naturelle.)

FIG. 1^a. — Face inférieure de la tête.

FIG. 1^b. — La même, grossie et vue en dessus.

FIG. 1^c. — Série des molaires supérieures, très-grossies.

FIG. 1^d. — Série des molaires inférieures, très-grossies.

FIG. 2. — Tête osseuse du **Rhyzomys vestitus** (A. Milne Edwards), espèce de Rat-taupe vivant au Khokhonor. (Cette figure est de grandeur naturelle.)

FIG. 2^a. — Tête de la même espèce vue en dessus.

FIG. 2^b. — Face inférieure de la même.

FIG. 2^c. — Tête vue en avant et montrant les incisives.

FIG. 2^d. — Mâchoire inférieure vue en dessus.

FIG. 2^e. — Molaires inférieures, grossies.

FIG. 2^f. — Molaires supérieures, grossies.

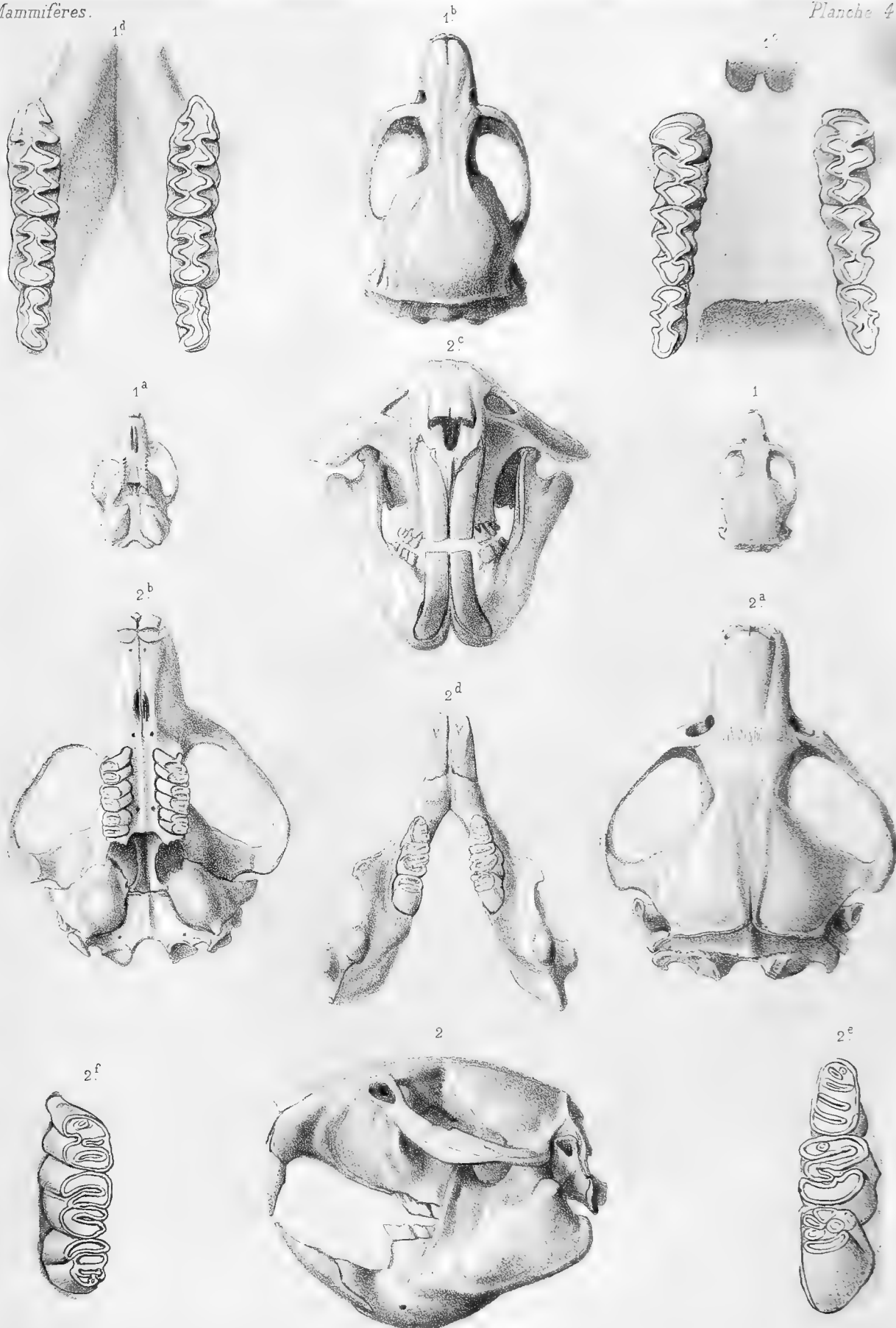




PLANCHE 47.

Arctomys robustus (A. Milne Edwards). Femelle adulte provenant des hautes montagnes du Tibet oriental et rapportée par M. l'abbé A. David.

(Cette figure est considérablement réduite.)



PLANCHE 48.

Lagomys tibetanus (A. Milne Edwards), adulte provenant des montagnes de la principauté de Moupin et rapporté au Muséum par M. l'abbé A. David.

(L'animal est figuré de grandeur naturelle.)



PLANCHE 49.

FIG. 1. — Tête osseuse de grandeur naturelle du **Lagomys tibetanus** (A. Milne Edwards), espèce provenant des montagnes de la principauté de Moupin.

FIG. 1^a. — Face supérieure de la tête.

FIG. 1^b. — La même vue par sa face inférieure.

FIG. 1^c. — Face occipitale de la tête.

FIG. 1^d. — Série des molaires supérieures grossies.

FIG. 1^e. — Série des molaires inférieures grossies.

FIG. 1^f. — Incisives supérieures vues par leur face antérieure.

FIG. 1^g. — Incisives supérieures vues en arrière.

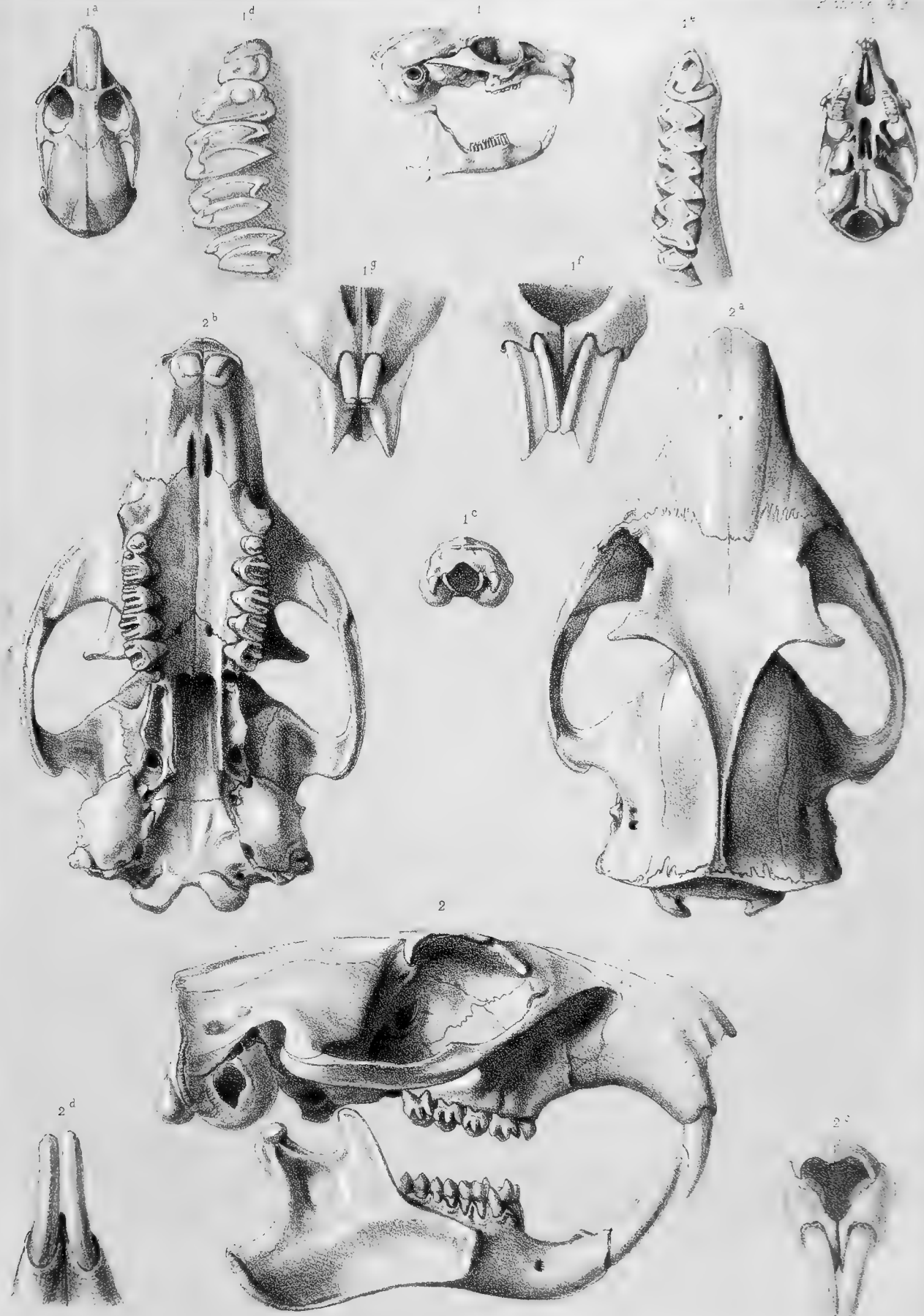
FIG. 2. — Tête osseuse de grandeur naturelle d'un **Arctomys robustus** (A. Milne Edwards), faisant partie, ainsi que la précédente, des collections formées par M. l'abbé David.

FIG. 2^a. — Face supérieure de la tête.

FIG. 2^b. — Tête vue en dessous.

FIG. 2^c. Incisives supérieures.

FIG. 2^d. — Incisives inférieures.



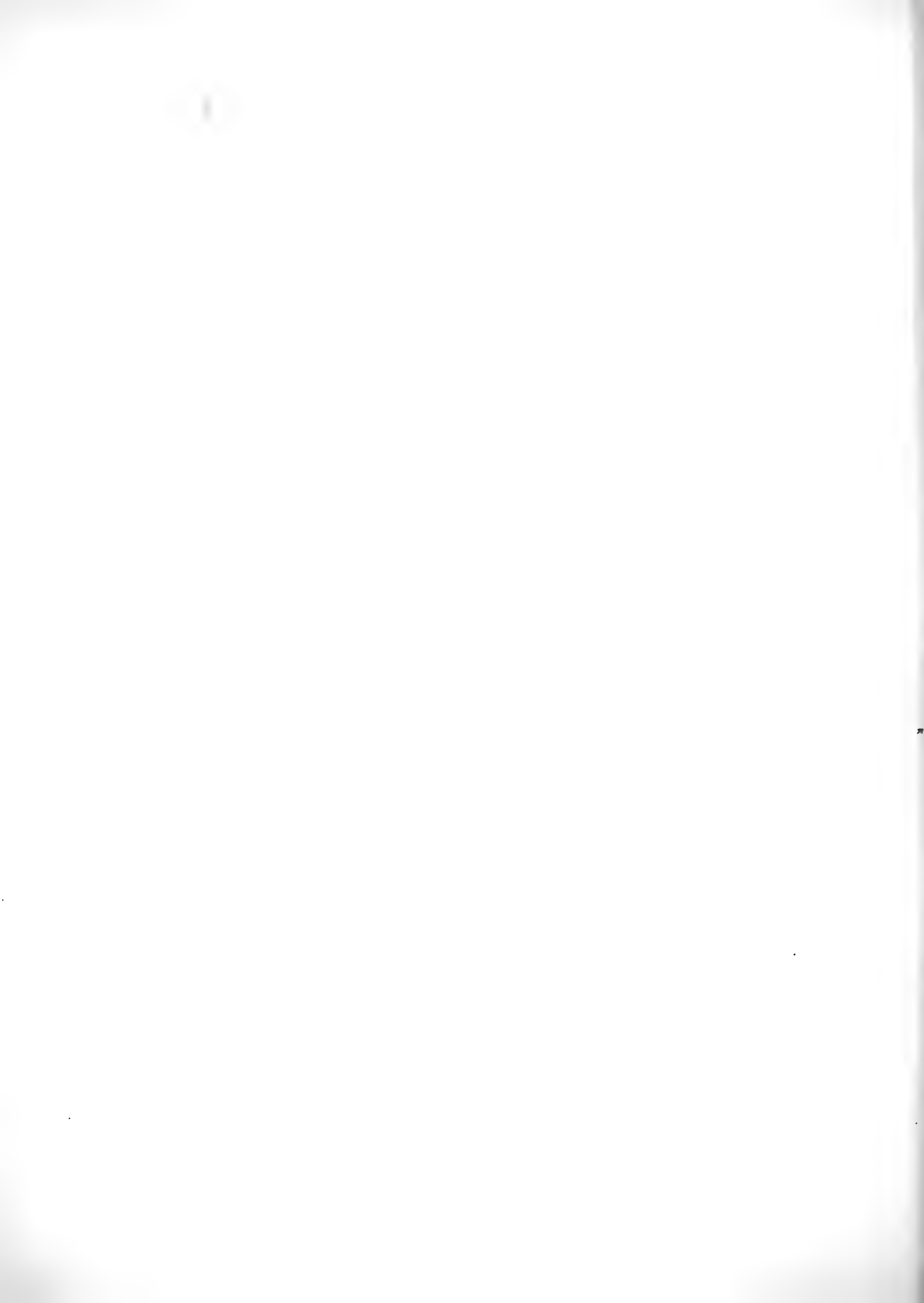


PLANCHE 30.

Ailuropus Melanoleucus (A. Milne Edwards) ou **Ursus Melanoleucus** (A. David),
individu femelle provenant des montagnes du Thibet oriental, d'où il a été
envoyé au Muséum par M. l'abbé A. David (très-réduit).



PLANCHE 51.

Face inférieure des pieds de l'**Ailuropus Melanoleucus** (A. Milne Edwards),
— *Ursus Melanoleucus* (A. David).

FIG. 1. — Patte antérieure.

FIG. 2. — Patte postérieure.

Ces figures sont réduites de moitié.

1



2

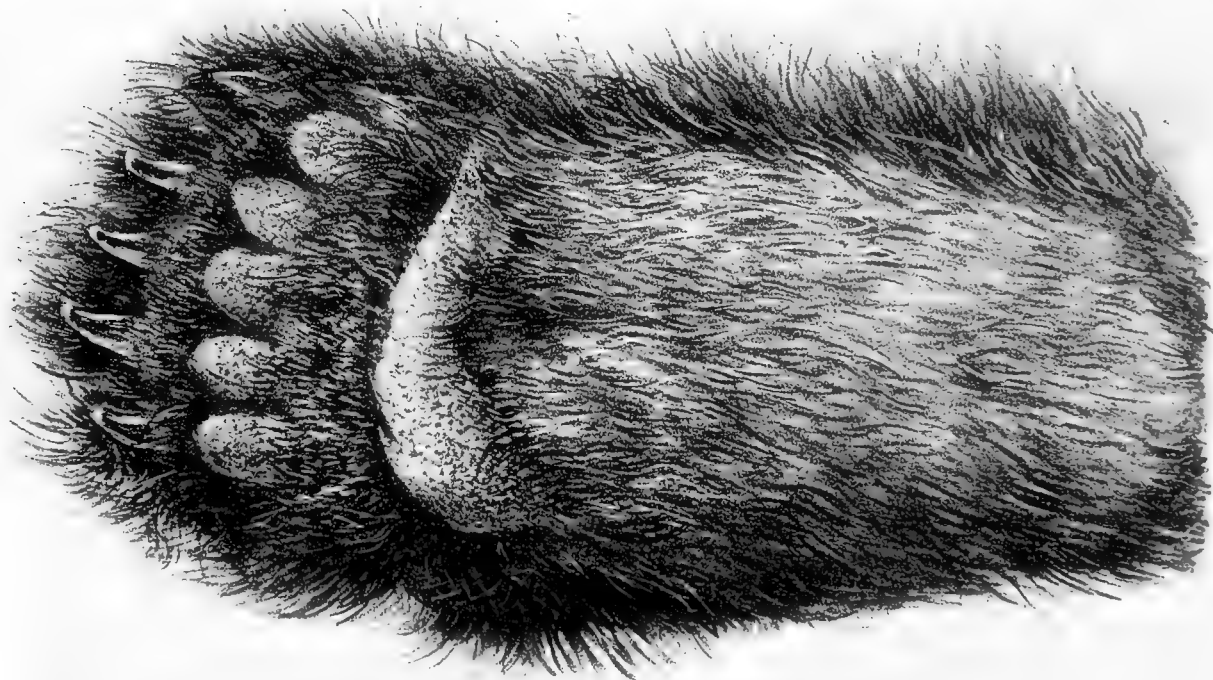


PLANCHE 52.

Tête osseuse de l'**Ailuropus Melanoleucus**, vue par sa face supérieure et réduite d'un sixième.





PLANCHE 53.

Tête osseuse de l'**Ailuropus Melanoleucus**, vue par sa face inférieure et réduite
d'un sixième.

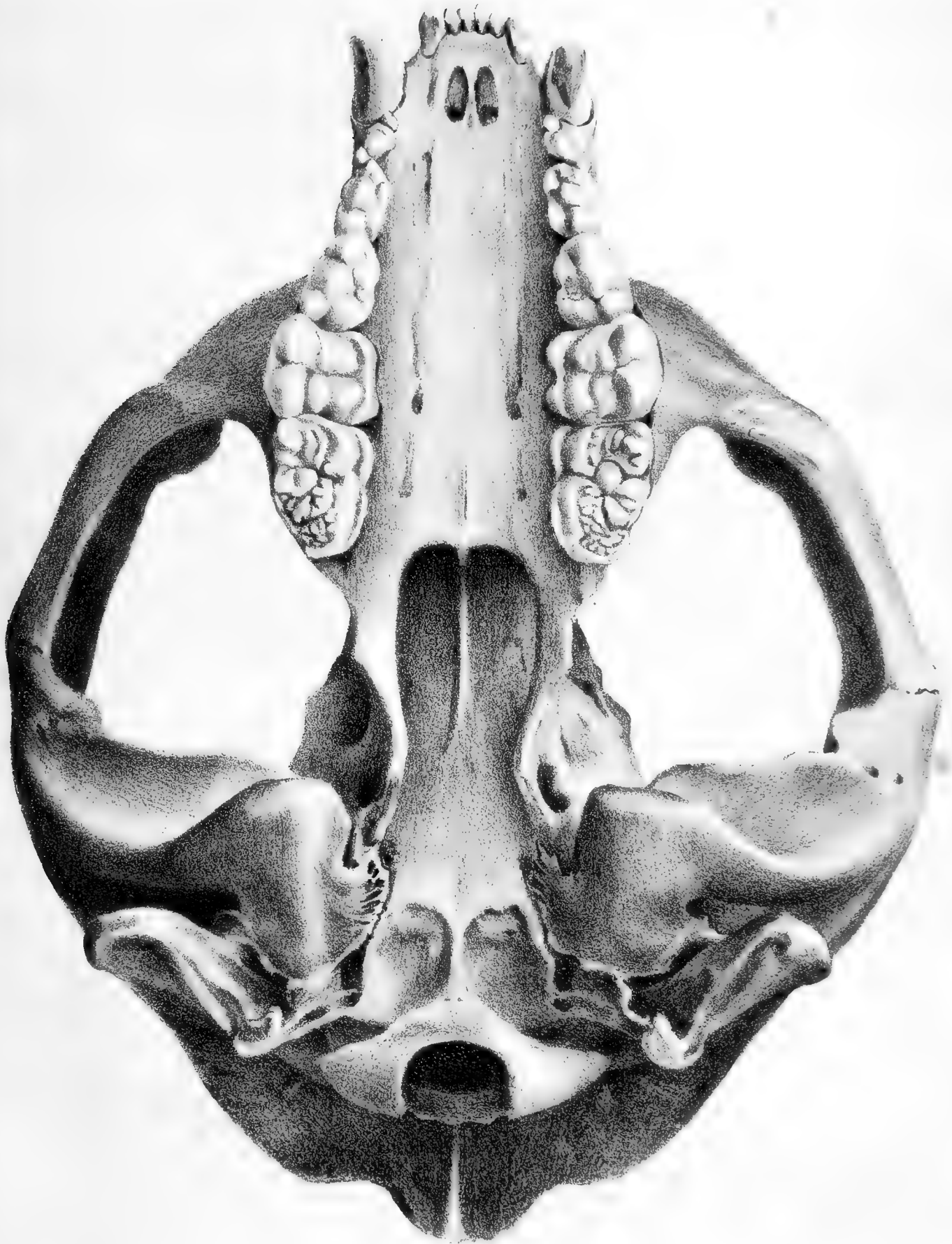


PLANCHE 54.

Tête osseuse de l'**Ailuropus Melanoleucus**, vue de côté et réduite d'un sixième.

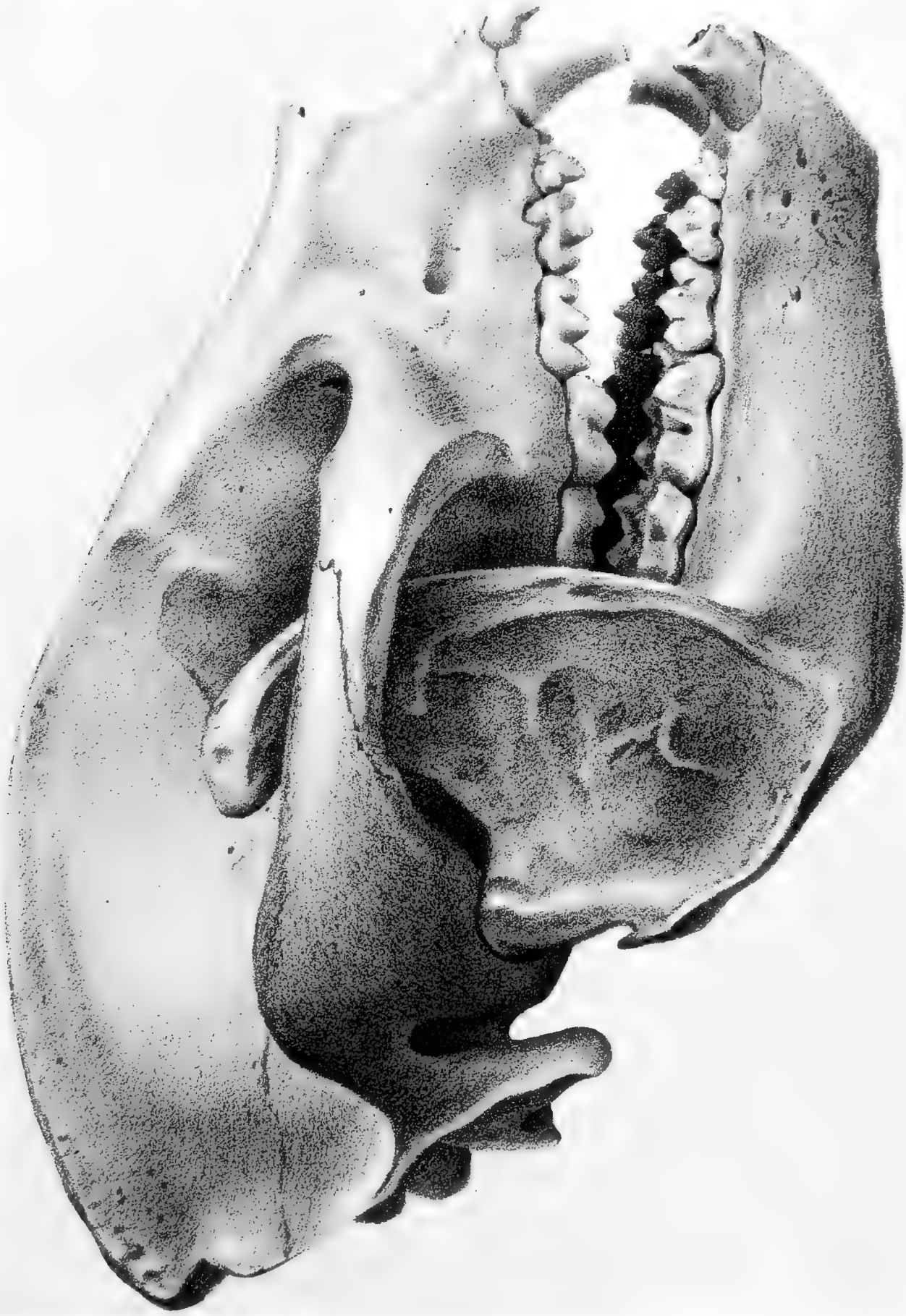




PLANCHE 55.

FIG. 1. — Tête osseuse de l'**Ailuropus Melanolencus**, vue en avant et réduite d'un sixième, comme dans la figure suivante.

FIG. 2. — Face postérieure du crâne de la même espèce.

1



2





PLANCHE 56.

Mâchoire inférieure de l'**Ailuropus Melanoleucus** (A. Milne Edwards). — *Ursus*
Melanoleucus (A. David), vue en dessus. Réduction de 1,6.



PLANCHE 57.

Felis scripta (A. Milne Edwards). Individu adulte, provenant du Tibet oriental
et faisant partie des collections recueillies par M. l'abbé A. David.

(Cette figure est réduite de six dixièmes.)



PLANCHE 58.

FIG. 1. — Crâne de **Felis scripta** du Tibet oriental (représenté de grandeur naturelle).

FIG. 1^a. — Le même, vu en dessous.

FIG. 1^b. — Face vue en avant.

FIG. 1^c. — Mâchoire inférieure vue en dessus.

FIG. 2. — Crâne de l'**Arctonyx** du Chen-si, dont la description a été donnée page 340 (représenté de grandeur naturelle).

FIG. 2^a. — Mâchoire inférieure vue en dessus.

FIG. 2^b. — Portion symphysaire de la même; représentée en dessous.

FIG. 2^c. — Portion antérieure de la mâchoire vue de côté.

FIG. 2^d. — Face vue en avant.

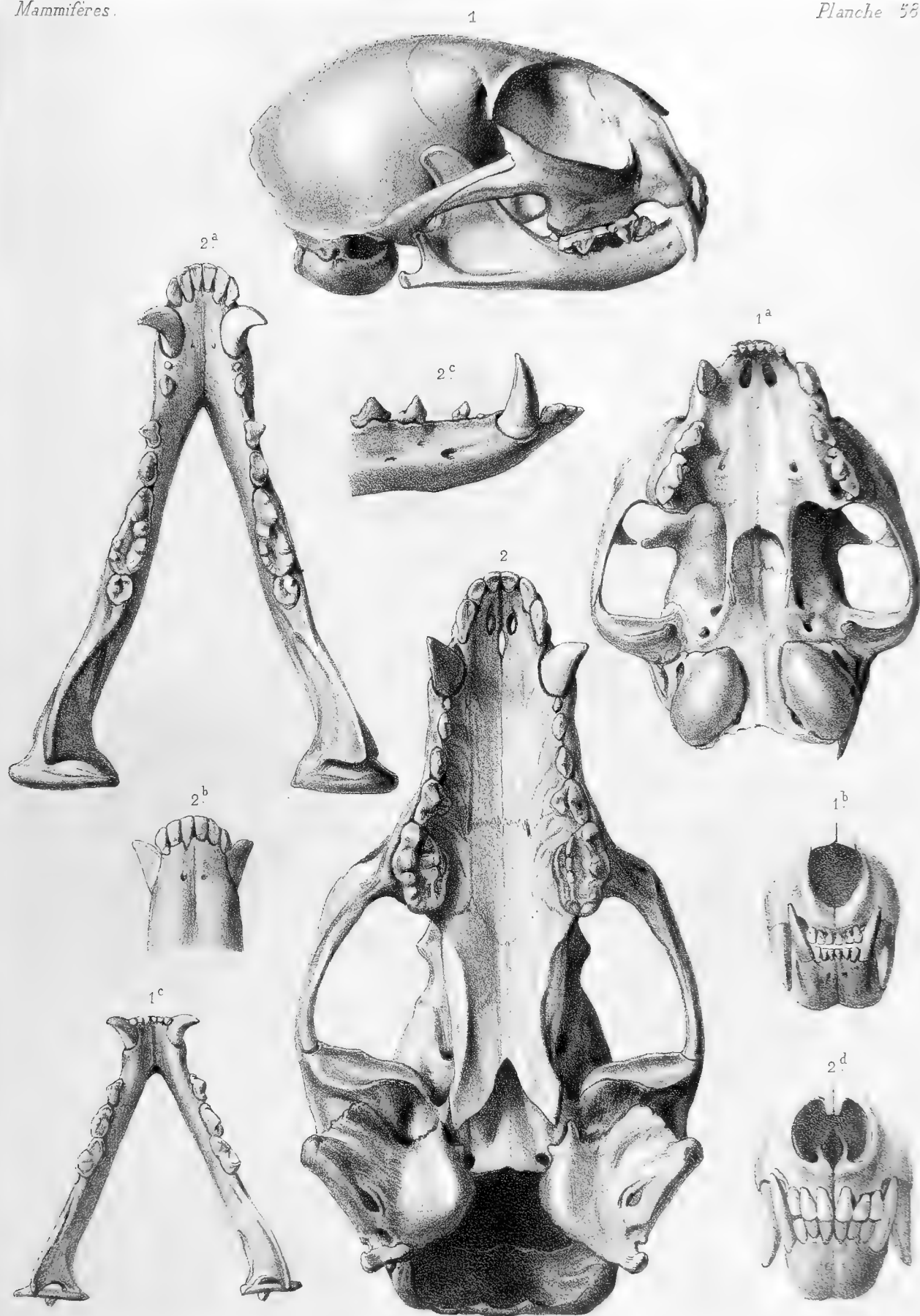




PLANCHE 59.

FIG. 1. — **Putorius Davidianus** (A. Milne Edwards), provenant du Kiang-si
(réduction d'un quart).

FIG. 2. — **Putorius moupinensis** (A. Milne Edwards), provenant de la principauté
de Moupin (réduction d'un quart).

Mammifères.



2



Louveau lith

PLANCHE 60.

- FIG. 1. — Tête osseuse d'un **Putorius sibiricus** (Pallas), adulte provenant de Tché-fou (de grandeur naturelle).
- FIG. 1^a. — Face supérieure de la tête.
- FIG. 1^b. — La même, vue par sa face inférieure.
- FIG. 1^c. — Dents vues de côté et grossies.
- FIG. 2. — Tête osseuse d'un **Putorius Davidianus** (A. Milne Edwards), provenant du Kiang-si (de grandeur naturelle).
- FIG. 2^a. — Face supérieure de la tête.
- FIG. 2^b. — La même, vue par sa face inférieure.
- FIG. 2^c. — Dents vues de côté et grossies.
- FIG. 3. — Tête osseuse d'un **Putorius astutus** (A. Milne Edwards), provenant de la principauté de Moupin (de grandeur naturelle).
- FIG. 3^a. — Face inférieure de la tête.
- FIG. 3^b. — Dents vues de côté et grossies.
- FIG. 4. — Tête osseuse d'un **Putorius moupinensis** (A. Milne Edwards), provenant de la principauté de Moupin (de grandeur naturelle).
- FIG. 4^a. — Face supérieure de la tête.
- FIG. 4^b. — La même, vue par sa face inférieure.
- FIG. 4^c. — Dents vues de côté et grossies.

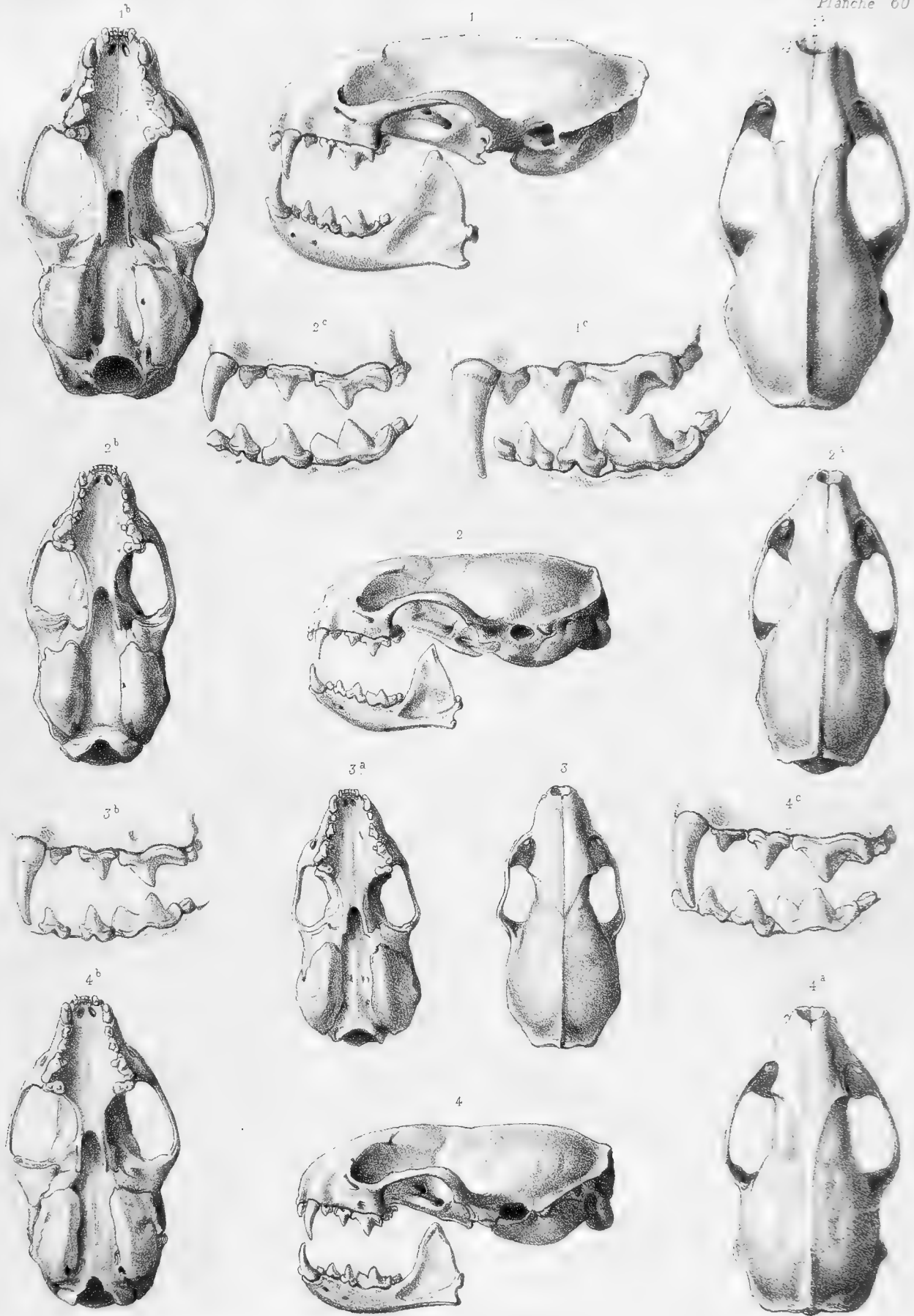


PLANCHE 61.

FIG. 1. — **Putorius Fontanierii** (A. Milne Edwards), individu adulte provenant des environs de Pékin et envoyé au Muséum par les soins de M. Fontanier.

(Cette figure est réduite d'un tiers.)

FIG. 2. — **Putorius astutus** (A. Milne Edwards), individu adulte découvert par M. l'abbé A. David sur les montagnes les plus élevées de la principauté de Moupin.

(Cette figure est réduite d'un tiers.)



2



1

PLANCHE 62.

Meles (Arctonyx) obscurus (A. Milne Edwards). Individu mâle adulte provenant
du Tibet oriental et rapporté par M. l'abbé A. David.



PLANCHE 63.

Cervulus lacrymans (A. Milne Edwards), mâle adulte provenant de la principauté de Moupin et faisant partie des collections recueillies par M. l'abbé A. David.



Plate 1

1875

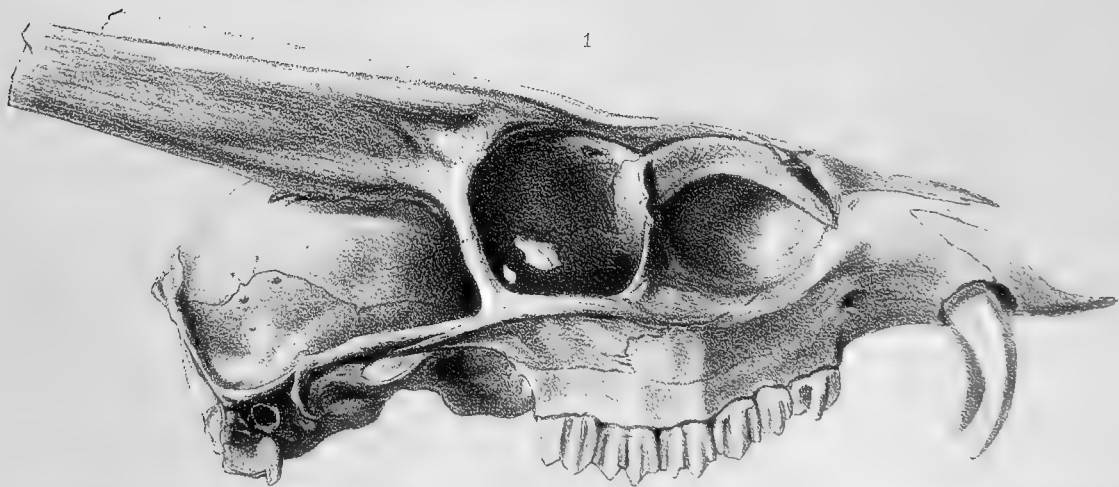
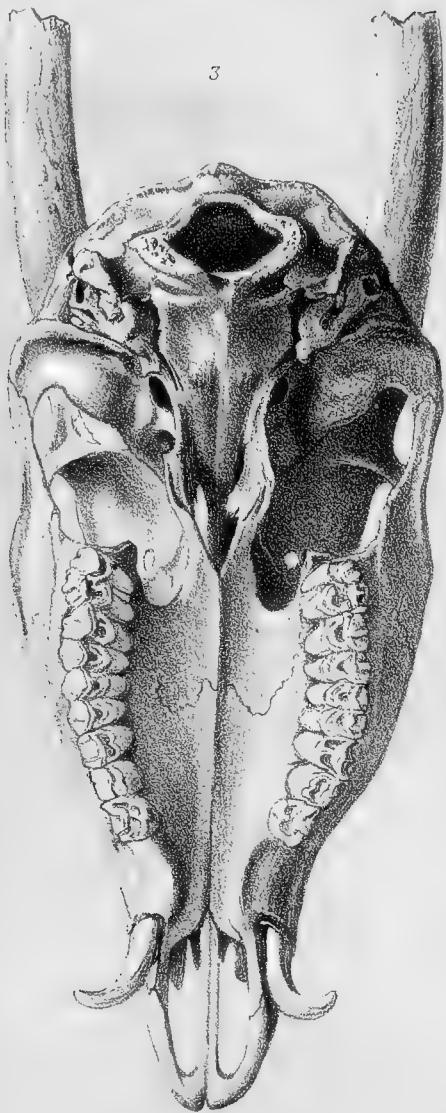
PLANCHE 64.

FIG. 1. — Tête osseuse d'un **Cervulus lacrymans** (A. Milne Edwards), mâle adulte
(les pédoncules frontaux sont incomplets).

FIG. 2. — Tête osseuse vue en dessous.

FIG. 3. — Face inférieure de la même.

(Ces figures sont réduites d'un quart.)



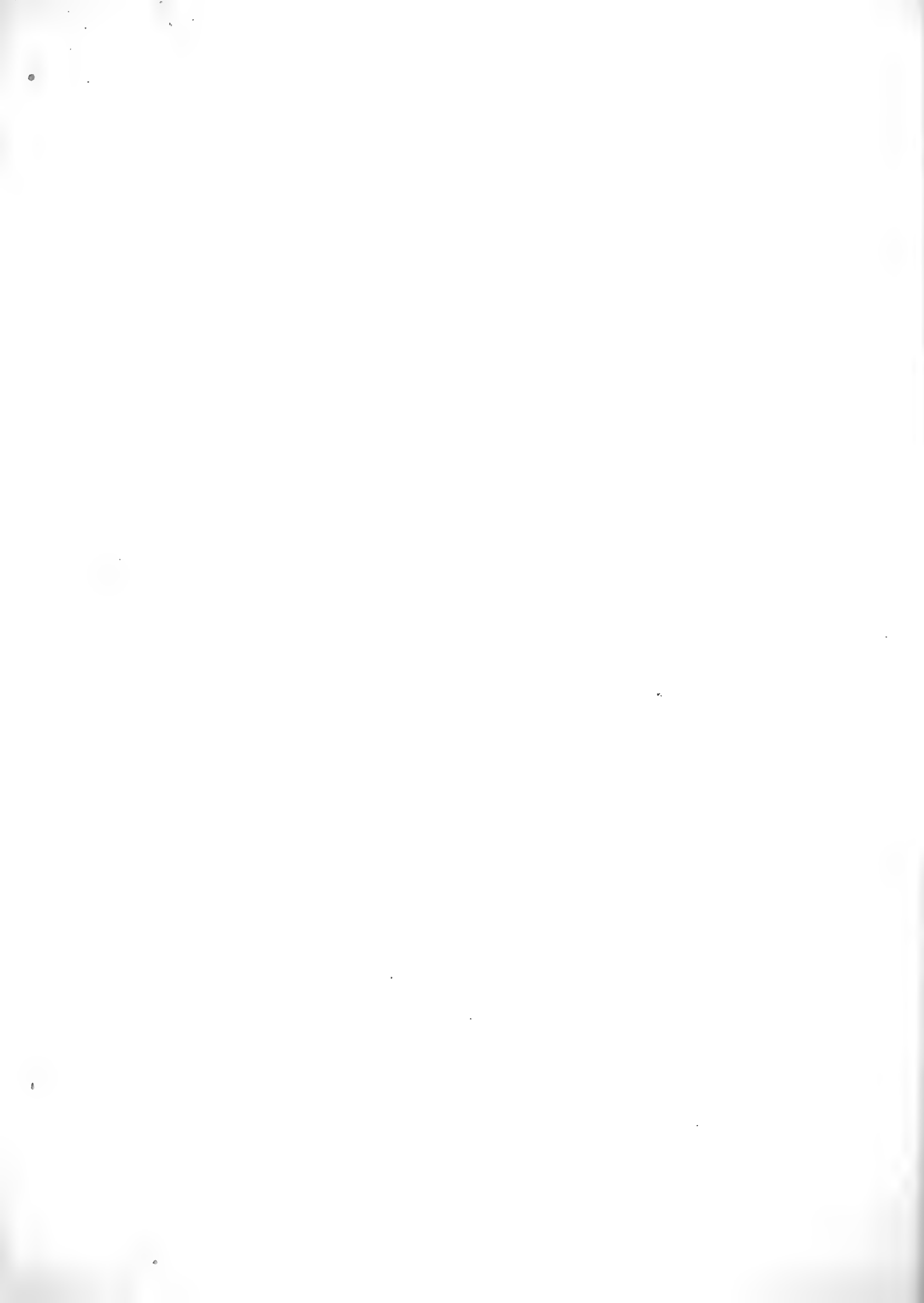


PLANCHE 65

FIG. 1. — **Cervus** (*Elaphodus*) **cephalophus** (A. Milne Edwards), femelle adulte
provenant des montagnes de la principauté de Moupin.

FIG. 2. — Tête d'un mâle adulte.



PLANCHE 66.

Tête osseuse du **Cervus** (*Elaphodus*) **cephalophus** (A. Milne Edwards), provenant d'un individu mâle adulte tué dans les montagnes de la principauté de Moupin.

(De grandeur naturelle.)



PLANCHE 67.

Tête osseuse du **Cervus** (*Elaphodus*) **cephalophus** (A. Milne Edwards), provenant d'un individu mâle adulte tué dans les montagnes de la principauté de Moupin.

(Cette tête est vue de côté et représentée de grandeur naturelle.)

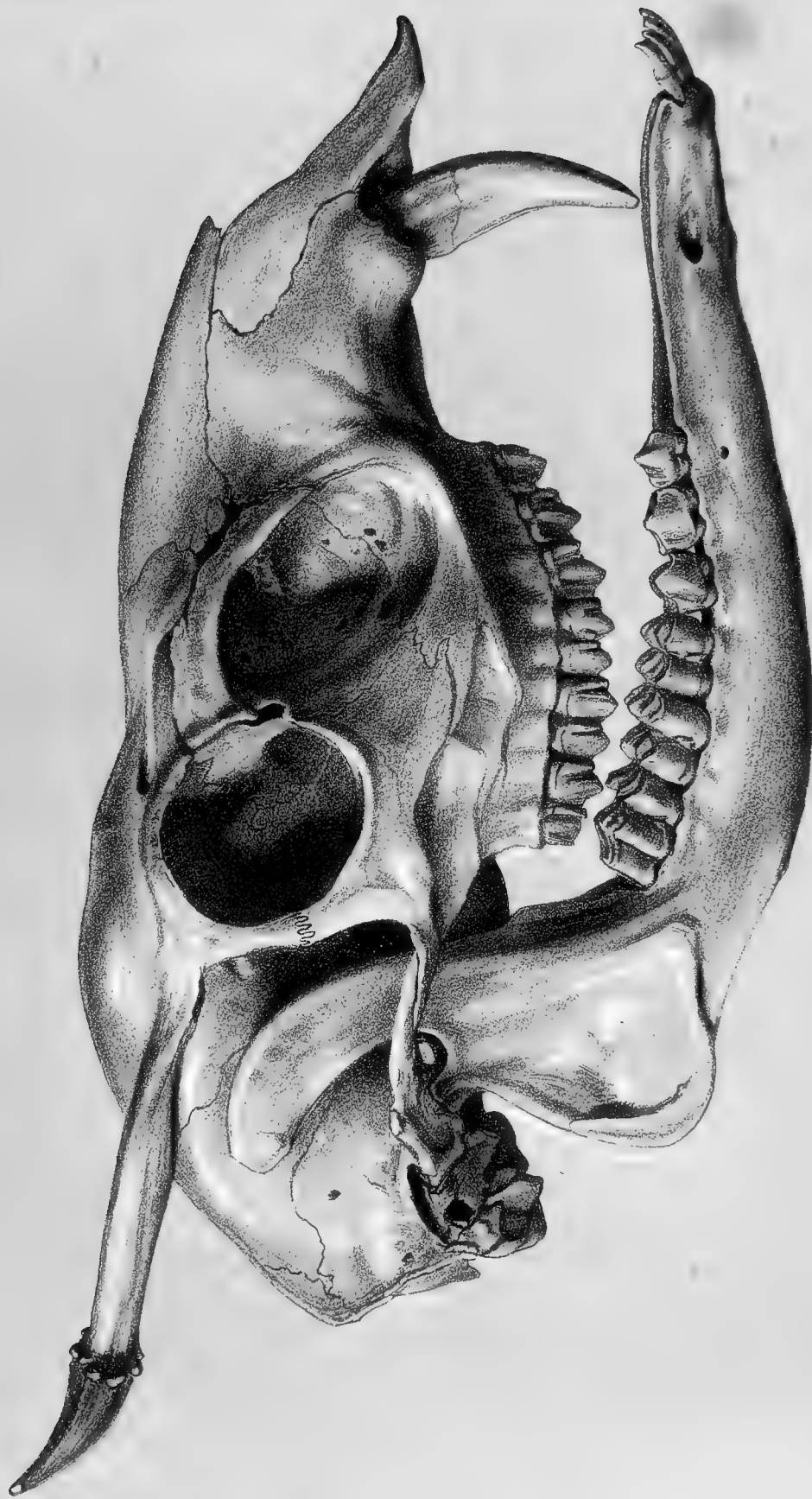




PLANCHE 68.

Ovis Nahoer (Hodgson). Individu mâle provenant de la principauté de Moupin
et rapporté par M. l'abbé A. David.





PLANCHE 69.

- FIG. 1. — Tête osseuse d'un **Ovis Nahoar**, mâle; réduite au $\frac{3}{5}$ de la grandeur naturelle.
- FIG. 1^a. — Série des molaires supérieures, vues par leur face triturante et de grandeur naturelle.
- FIG. 1^b. — Partie antérieure de la tête vue en dessous et un peu réduite.
- FIG. 1^c. — Molaires inférieures et supérieures, vues de côté et de grandeur naturelle.
- FIG. 1^d. — Molaires inférieures, vues en dessus et de grandeur naturelle.



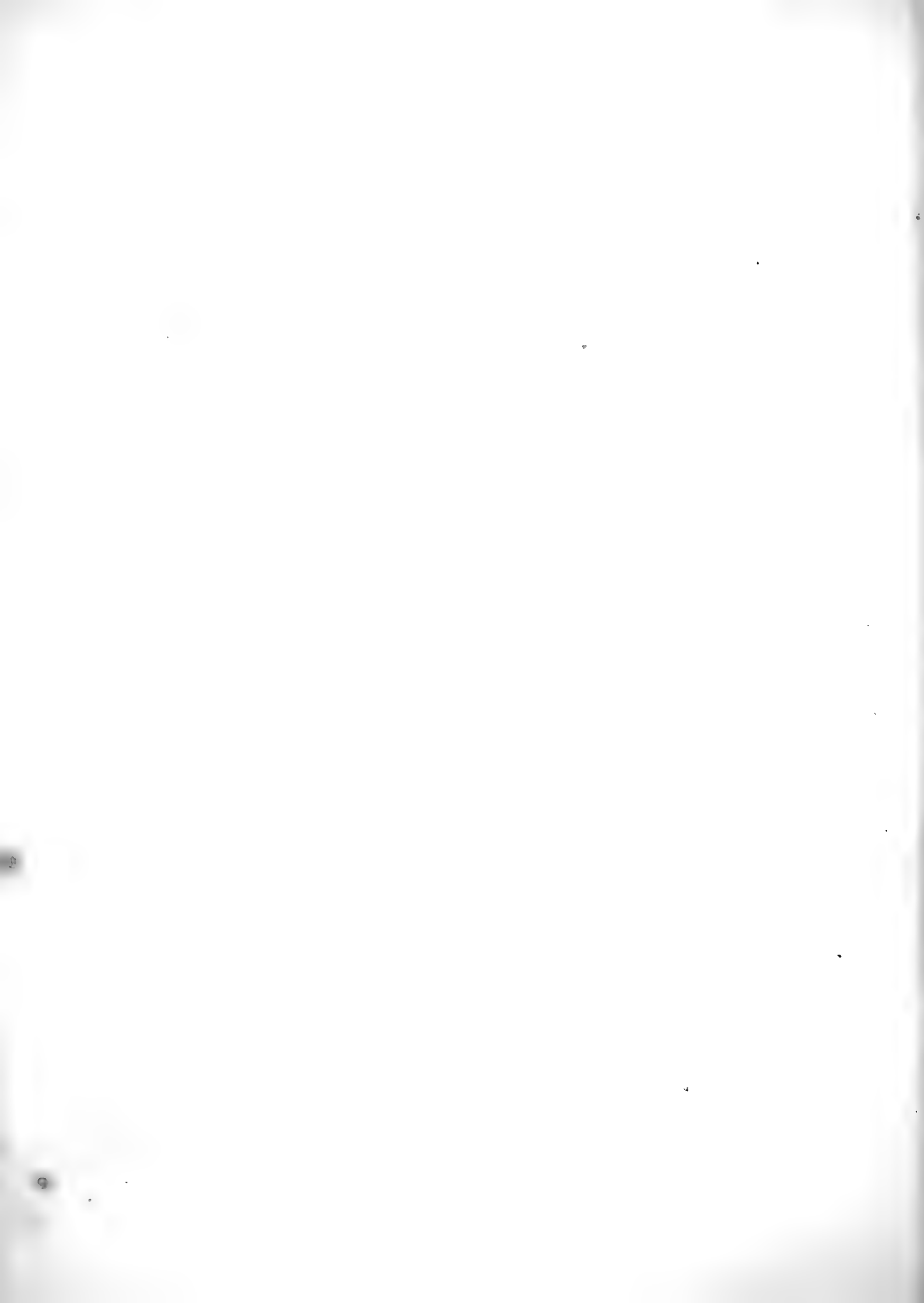


PLANCHE 70.

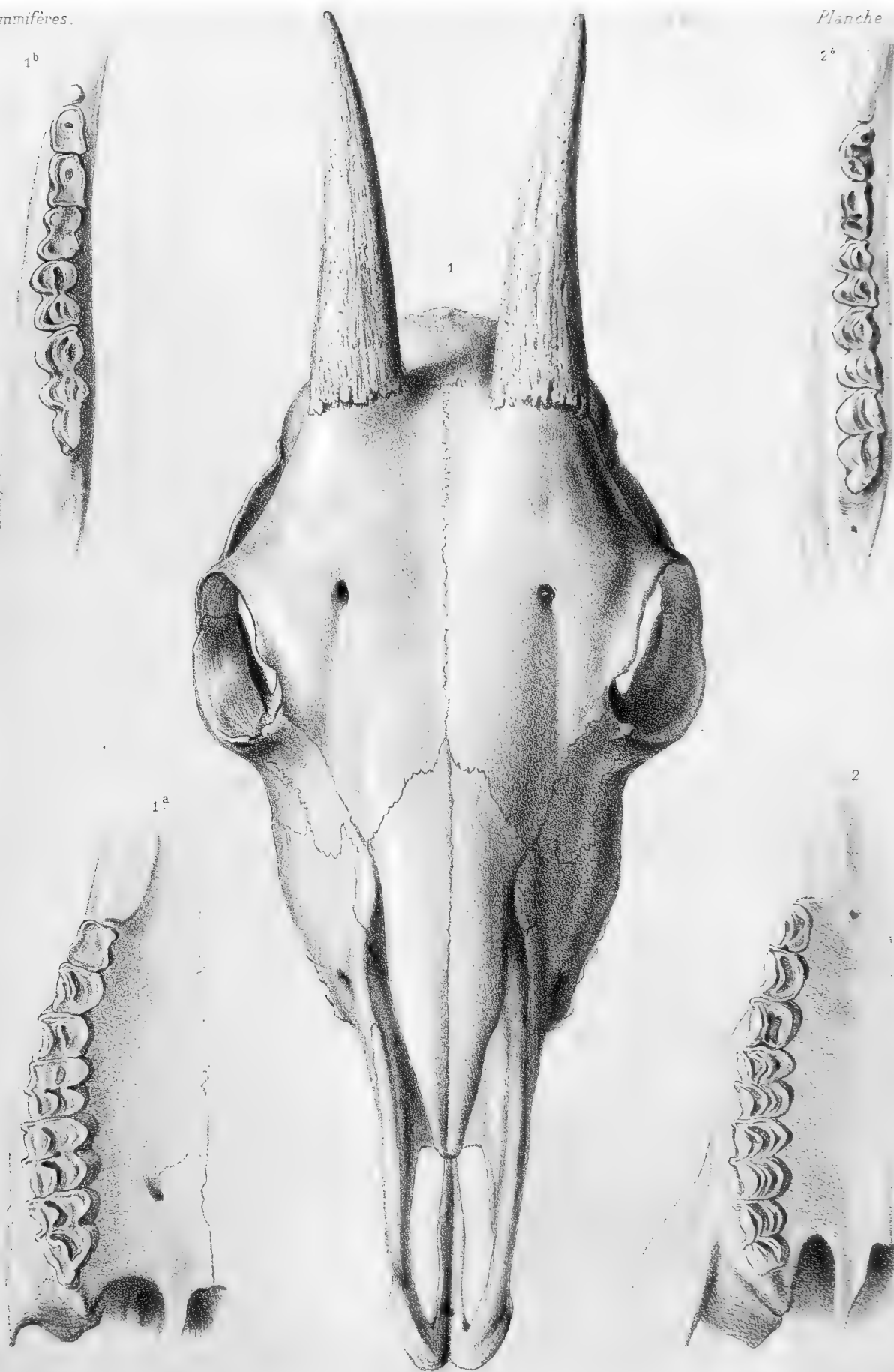
Antilope (*Næmorhedus*) **cinerea** (A. Milne Edwards). **Femelle** provenant
du Tibet oriental, et rapportée par M. l'abbé A. David.





PLANCHE 71.

- FIG. 1. — Tête osseuse de l'**Antilope** (**Næmorhedus**) **cinerea** (A. Milne Edwards),
vue en dessus et réduite d'un sixième.
- FIG. 1^a. — Série des molaires supérieures, de grandeur naturelle, ainsi que les figures
suivantes.
- FIG. 1^b. — Série des molaires inférieures.
- FIG. 2. — Série des molaires supérieures de l'**Antilope** (**Næmorhedus**) **grisea**
(A. Milne Edwards).
- FIG. 2^b. — Série des molaires inférieures de la même espèce.



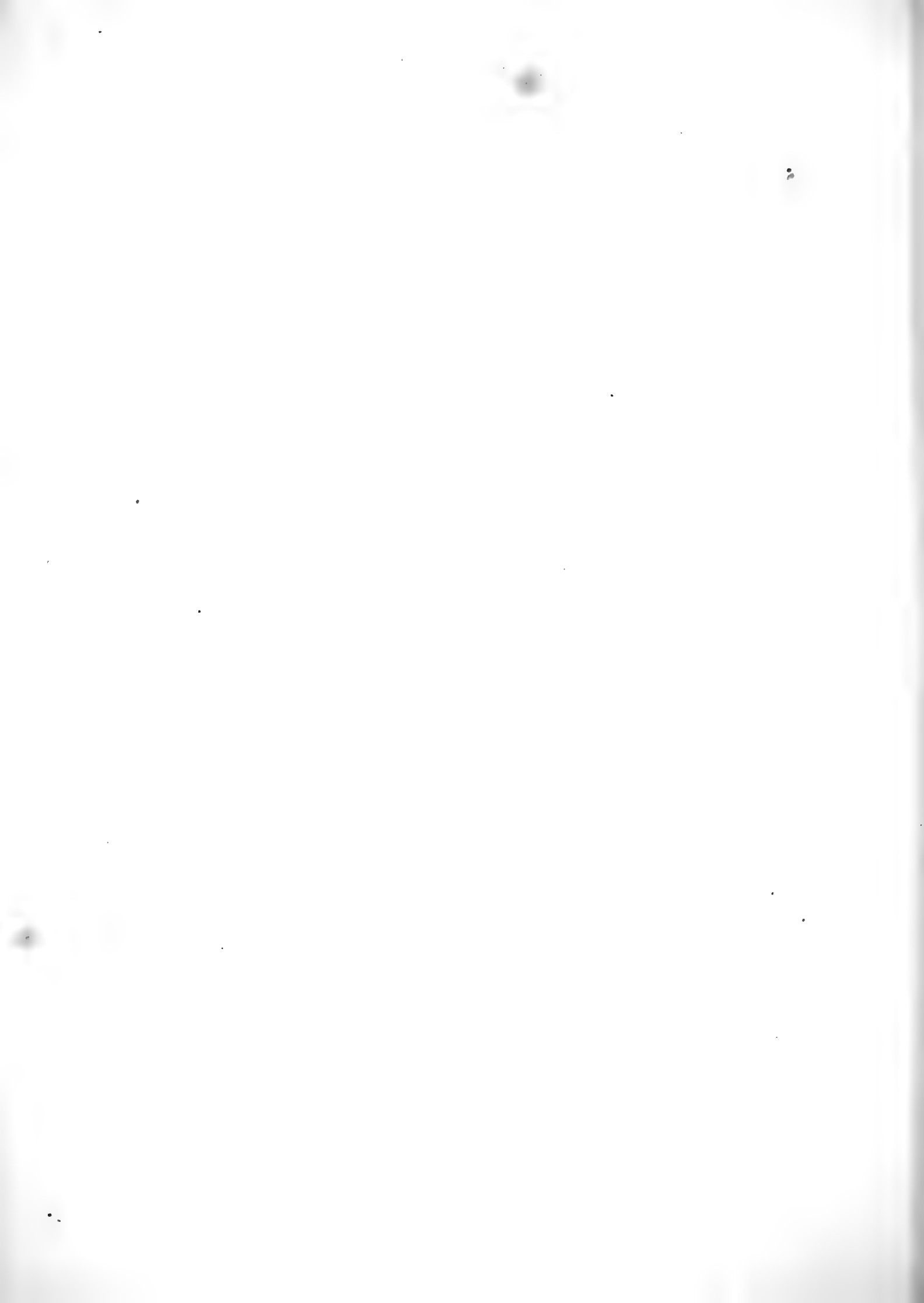


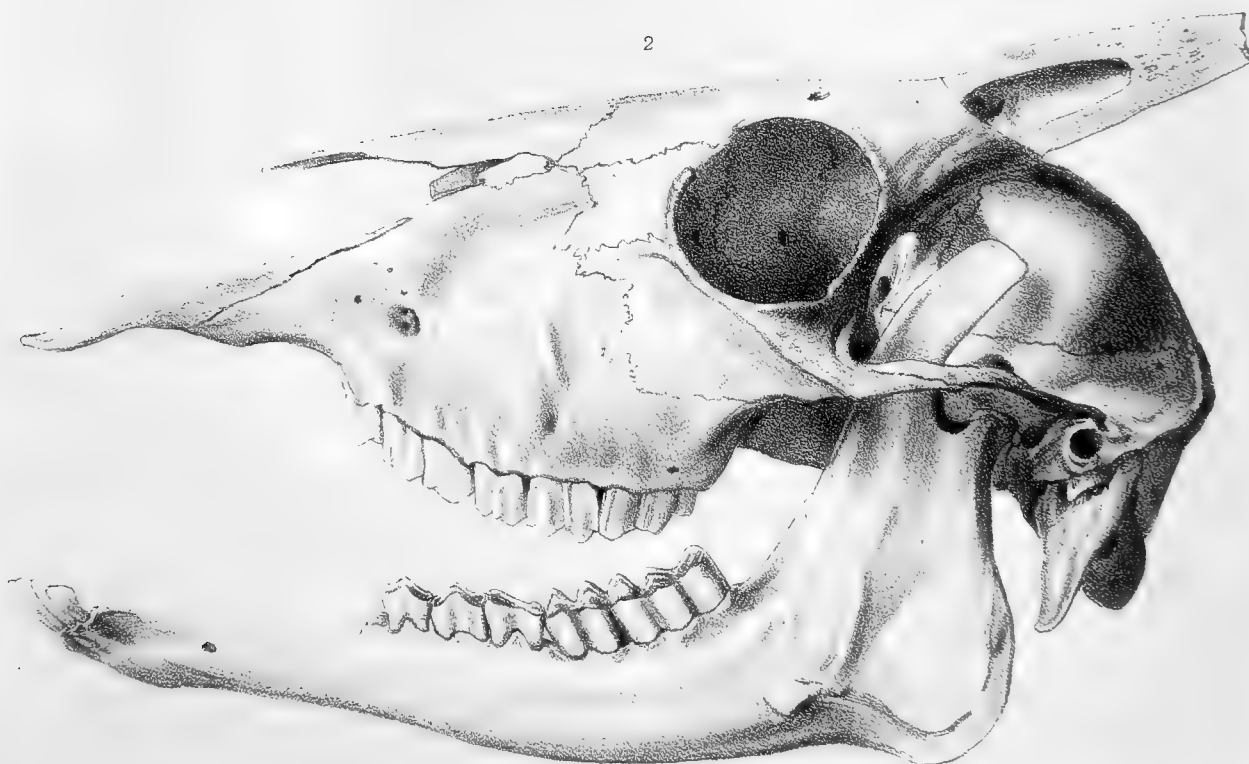
PLANCHE 71^A.

- FIG. 1. — Tête osseuse de l'**Antilope** (**Næmorhedus**) **grisea** (A. Milne Edwards).
Individu femelle provenant du Tibet oriental. (Cette figure est réduite
d'un tiers.)
- FIG. 2. — Tête osseuse de l'**Antilope** (**Næmorhedus**) **cinerea** (A. Milne Edwards).
Individu femelle provenant du Tibet oriental. (Cette figure est réduite
d'un tiers.)

1



2



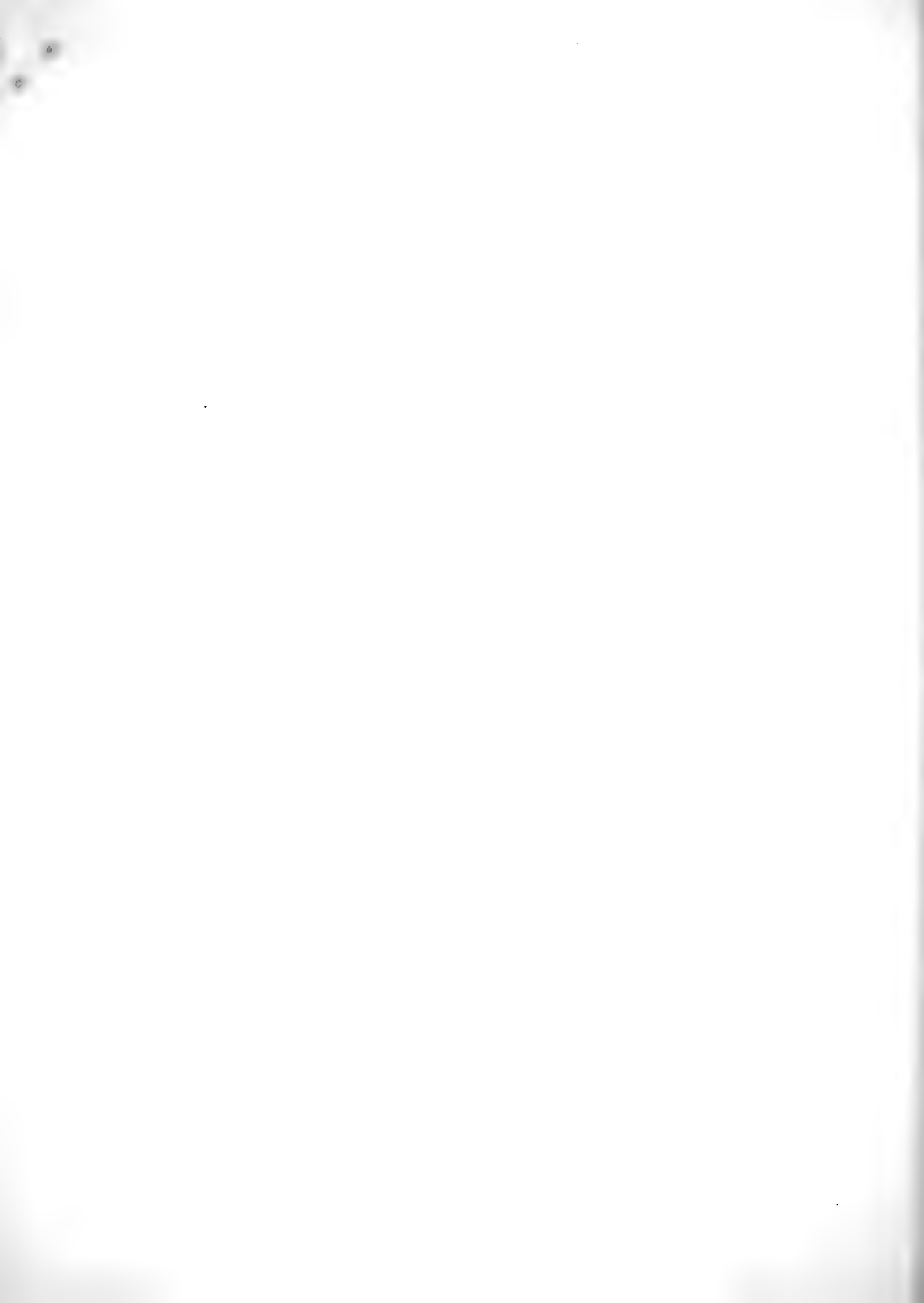


PLANCHE 72.

Antilope (*Næmorhedus*) **Edwardsi** (A. David). Individu mâle provenant des montagnes du Tibet oriental et rapporté par M. l'abbé A. David.





PLANCHE 73.

Tête osseuse de l'**Antilope Næmorhedus Edwardsii** (A. David), vue de côté.

Cette espèce provient des montagnes du Tibet oriental, et y a été découverte
par M. l'abbé A. David.

(Cette figure est réduite d'un tiers.)

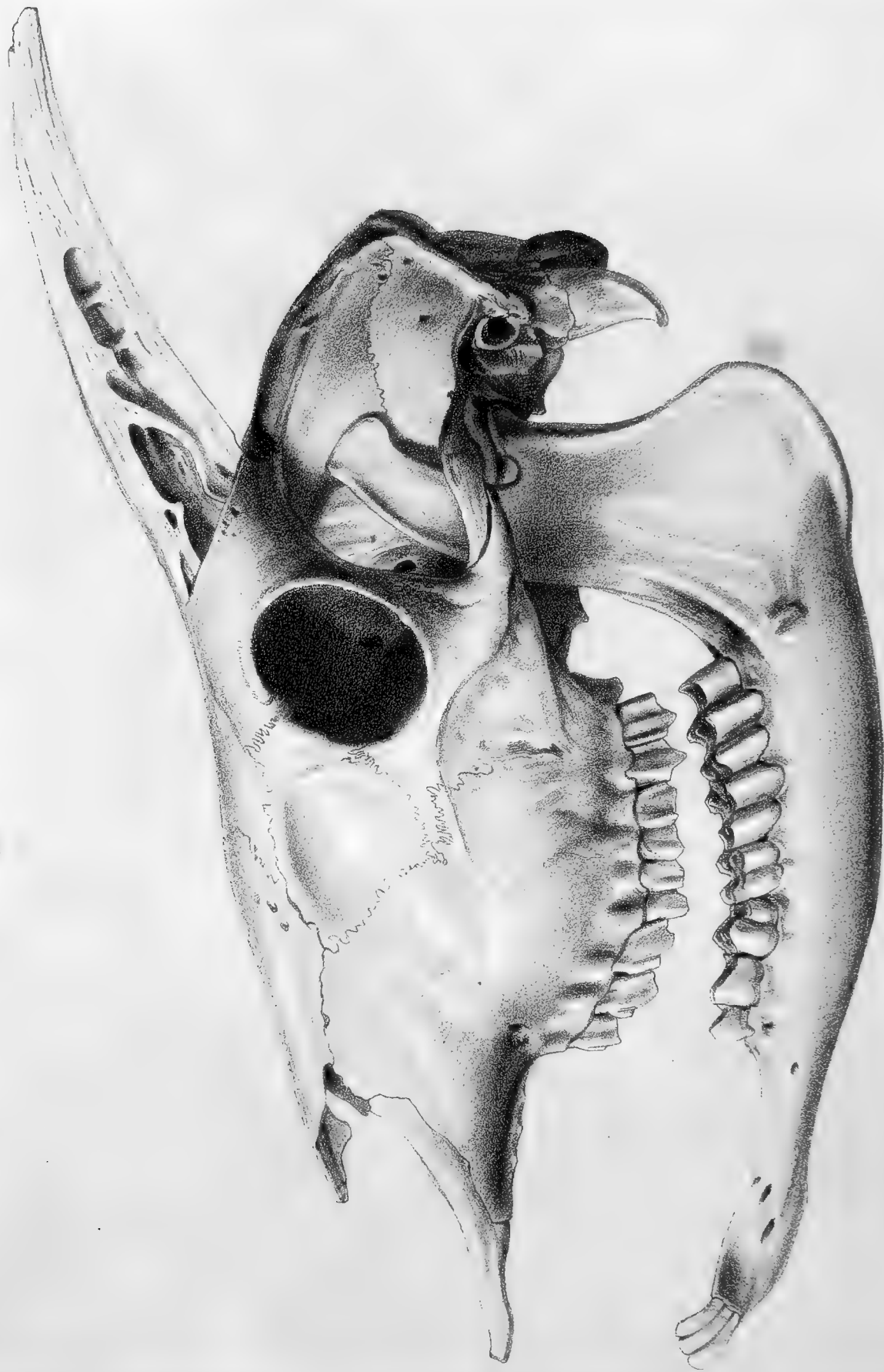




PLANCHE 74.

Budorcas toxicola tibetana. Un mâle adulte et un jeune provenant des montagnes
du Tibet oriental.



1/2

PLANCHE 75.

Tête osseuse du **Budorcas taxicola tibetana**, provenant d'un mâle adulte tue dans
les montagnes de la principauté de Moupin.

(Cette tête est réduite de moitié et vue de côté.)





PLANCHE 76.

Portion frontale de la tête du **Budorcas taxicola tibetana**. L'un des axes osseux des cornes a été scié pour montrer la disposition des sinus.

(Cette figure est réduite de moitié.)



PLANCHE 77.

Tête osseuse du **Budorcas taxicola tibetana**, provenant d'un individu mâle adulte
tué dans les montagnes de la principauté de Moupin.

(Cette figure est réduite de moitié)

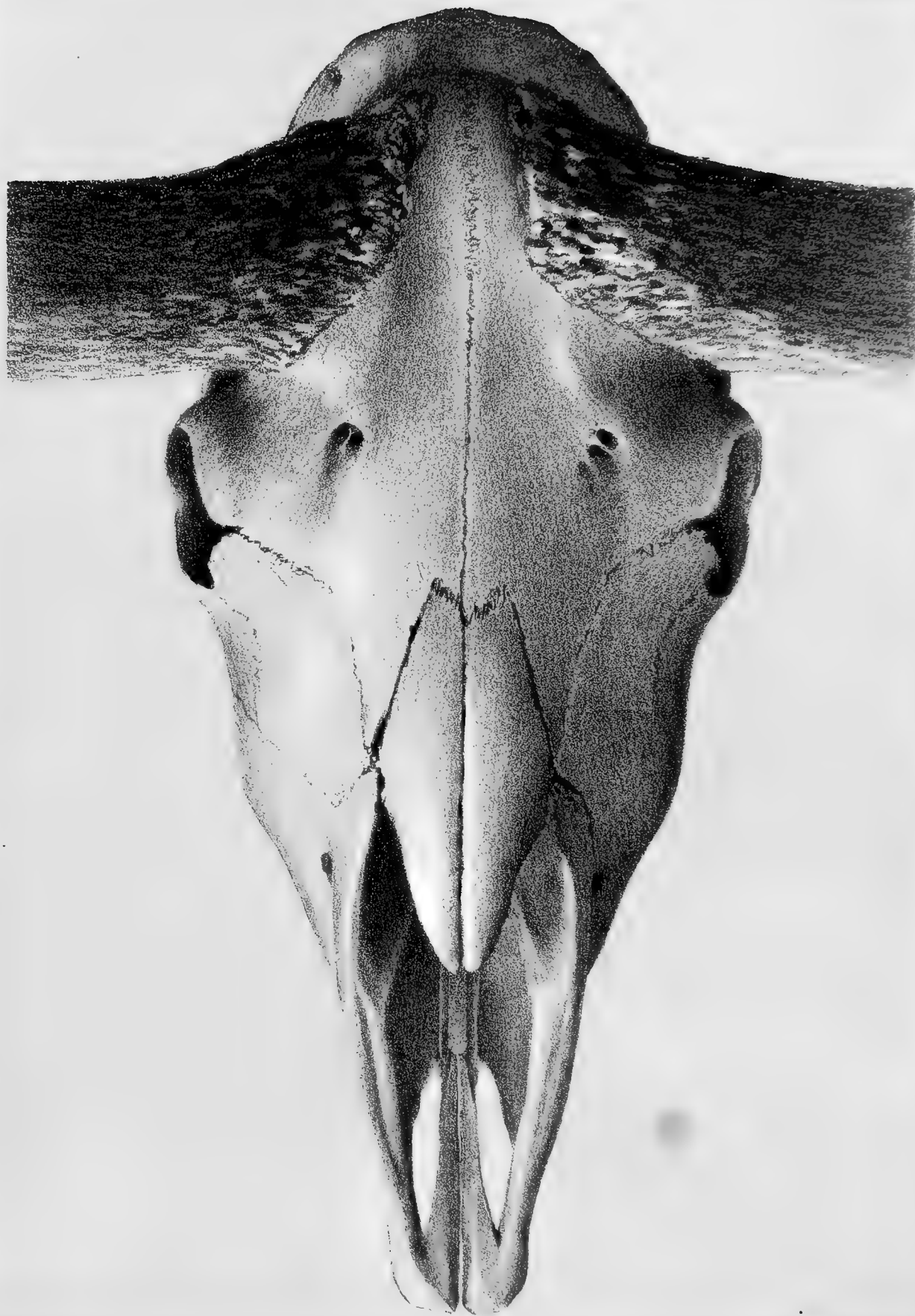


PLANCHE 78.

Face inférieure de la tête osseuse d'un **Budorcas taxicola tibetana**, mâle adulte
provenant des montagnes de la principauté de Moupin.

(Cette figure est réduite de moitié.)

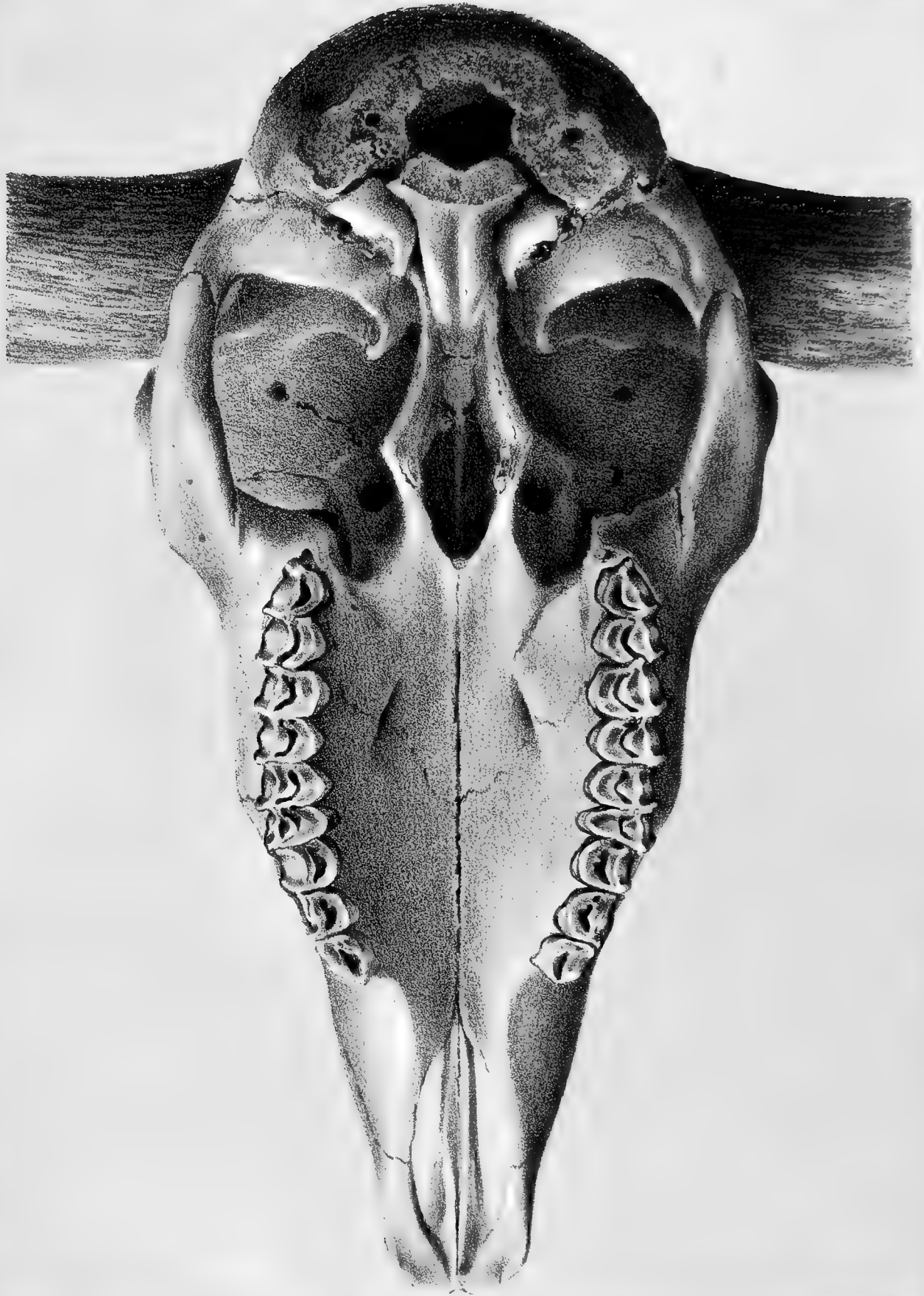




PLANCHE 79.

Os des membres du **Budorcas taxicola** var. **tibetana**.

- FIG. 1. — **Humérus** vu en avant. Cette figure, de même que les suivantes, est réduite des deux tiers.
- FIG. 2. — Le même os, vu de côté.
- FIG. 3. — **Fémur** montrant sa face antérieure.
- FIG. 4. — **Canon** antérieur vu en avant.
- FIG. 5. — Face postérieure du même.
- FIG. 6. — Surface articulaire supérieure.
- FIG. 7. — **Canon** postérieur vu en avant.
- FIG. 8. — Face postérieure du même os.
- FIG. 9. — Extrémité articulaire supérieure.
- FIG. 10. — **Calcaneum** vu en avant (ou en dessus).
- FIG. 11. — **Astragale** vu par sa face antérieure.

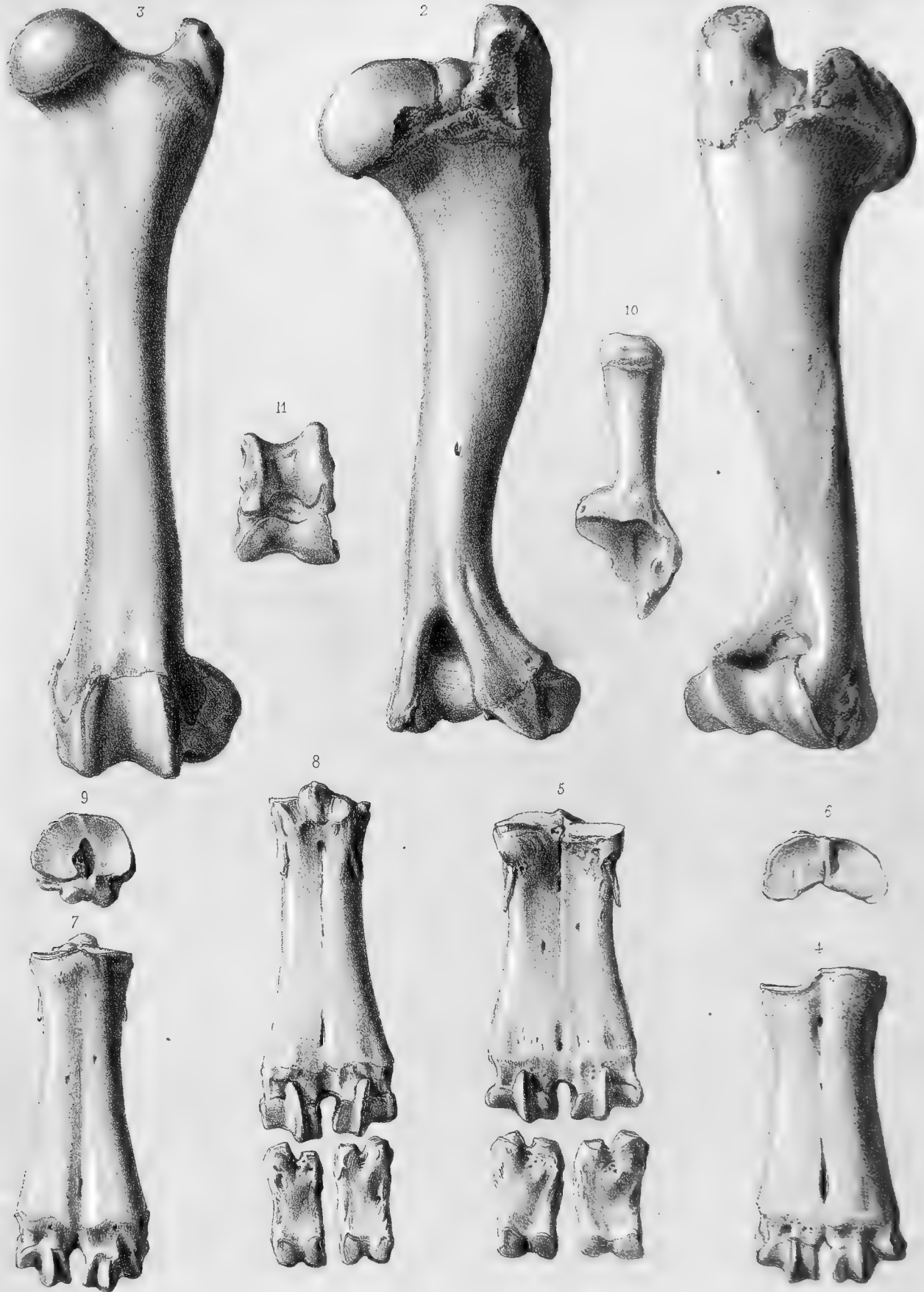




PLANCHE 80.

Sus moupinensis (A. Milne Edwards). Mâle très-adulte, provenant des montagnes de la principauté de Moupin.

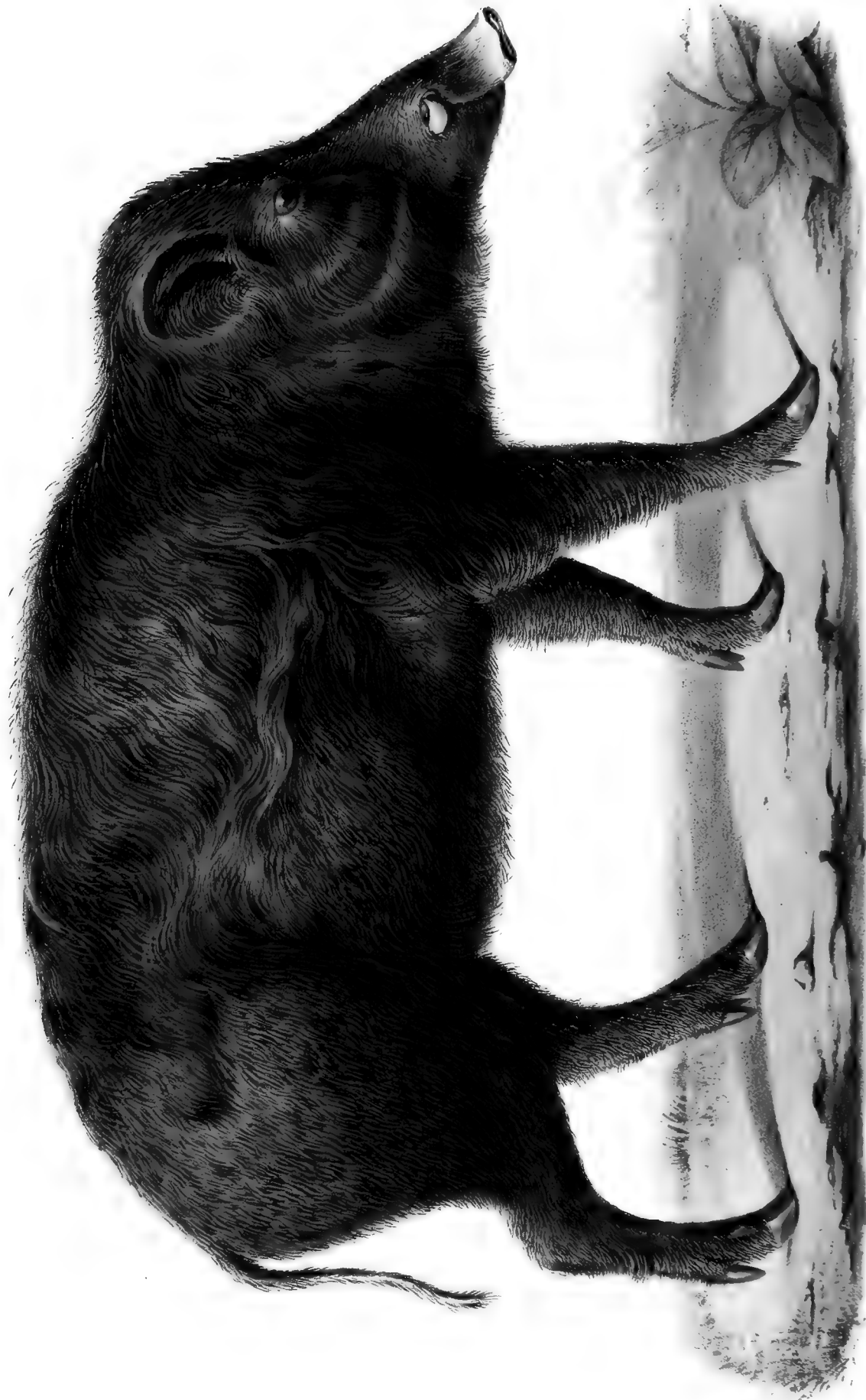


PLANCHE 81.

Tête osseuse du **Sus moupinensis** (A. Milne Edwards), Sanglier provenant
des montagnes de la principauté de Moupin.









